

Fakultät für Physik und Astronomie

Ruprecht-Karls-Universität Heidelberg

Masterarbeit

Im Studiengang Physik

vorgelegt von

Daniel Hollain

geboren in Heidelberg

2014

Vermessung vom hochgeladenen Iridium mithilfe eines neuen Kontrollsystems

Die Masterarbeit wurde von Daniel Hollain

ausgeführt am

Max-Planck-Institut für Kernphysik

unter der Betreuung von

Priv.-Doz. Dr. José Ramón Crespo López-Urrutia

Vermessung vom hochgeladenen Iridium mithilfe eines neuen Kontrollsystems

Im Rahmen dieser Arbeit wurde ein Kontrollsystem für die Heidelberg-Elektronenstrahl-Ionenfalle auf der Grundlage von EPICS entworfen. Mit Hilfe dieses Kontrollsystems wurden Rekombinations- und Anregungsenergien von hochgeladenen Iridiumionen (Ordnungszahl = 77) untersucht. Diese wurden in der Falle mittels energiereicher Elektronen sequentiell erzeugt. Simultan dabei rekombinieren freie Elektronen mit den Ionen sowohl resonant als auch nicht resonant. Die bei diesen Prozessen emittierten Photonen wurden für den Nachweis registriert, und ihre Energie bestimmt. Mit Hilfe der Röntgen-Absorptionskanten von Metallfolien wurden die radiative Rekombinationsenergien und Ionisationspotentiale ebenso bestimmt. Zusätzlich wurden von den dielektronischen KLL-Resonanzen der Helium- bis Sauerstoffartigen Iridiumionen die Photonen- und die jeweilige Anregungsenergie vermessen. Die Ergebnisse wurden mit theoretischen Vorhersagen verglichen. Die Photonenenergien liegen bei ungefähr 65 keV mit einer typischen Unsicherheit von 85 eV. Die Anregungsenergien um 45 keV zeigen dank eines hochpräzisen Spannungsteilers statistische Fehler von nur wenigen eV, aber eine systematische Verschiebung gegenüber der Theorie von etwa 20 bis 30 eV. Bei einigen Resonanzen sind asymmetrische Fano-Linienprofile erkennbar, die auf die Quanteninterferenz von radiativen und dielektronischen Prozessen zurückführbar sind.

Measurement of highly charged Iridium with a new control system

During the course of this thesis a control system based on EPICS was developed for the Heidelberg electron beam ion trap. This system was employed to investigate recombination and excitation processes in highly charged iridium (atomic number = 77) ions. Iridium atoms were ionized sequentially in the trap by high energy electrons. Free electrons simultaneously recombine with the ions via resonant and non-resonant channels. These recombination processes were observed by registering the emitted photons and measuring their energies. By exploiting the x-ray absorption edges of metal foils recombination energies and ionization potentials were obtained by observing the radiative recombination. Furthermore, dielectronic KLL resonances from helium-like to oxygen-like ions were observed and their photon and excitation energies determined. These energies were compared with theoretical predictions. The photon energies are in magnitude of 65 keV with a typical uncertainty of 85 eV. The excitation energy determination at ca. 45 keV has uncertainties of only a few eV due to a highly precise voltage divider, and a systematic shift with respect to theory of 20 to 30 eV. Some resonances show asymmetric Fano profiles originating from interferences of radiative and dielectronic processes.

Inhaltsverzeichnis

1	Einführung	1
2	Theoretische Grundlagen	3
2.1	Struktur von Atome und Ionen	3
2.2	Stoßprozesse	4
2.3	Radiative und dielektronische Rekombination	5
3	Experimenteller Aufbau	8
3.1	Die Elektronenstrahl-Ionenfalle	8
3.1.1	Grundlegendes zur Elektronenstrahl Ionenfalle	8
3.1.2	Funktionsprinzip	8
3.1.3	Energie des Elektronenstrahl in der Falle	10
3.2	Die Heidelberg-Elektronenstrahl-Ionenfalle	13
3.2.1	Historisches zur Heidelberg-Elektronenstrahl-Ionenfalle	13
3.2.2	Der Weg der Ionen	13
3.2.3	Die Elektronenkanone	14
3.2.4	Der Fallenbereich	15
3.2.5	Der Kollektor	19
3.3	Der Röntgendetektor	20
3.4	Das Datenaufnahmesystem	23
3.4.1	Datenaufnahme des Röntgensetektors	23
3.4.2	Datenaufnahme vom EBIT Kontrollsystem	24
4	Das Kontrollsystem	25
4.1	Motivation	25
4.2	Architektur	25
4.3	Server und Clienten	28
4.4	Implementierung der Server	31
4.4.1	Labboxserver	31
4.4.2	Deviceserver	31
4.5	Graphische Benutzeroberflächen	32
5	Messung	34
5.1	Vermessung Radiativer und Dielektronischer Rekombination von Iridium	34
5.2	Messparameter	35

5.3	Kalibration	35
5.3.1	Kalibration der Photonenenergie	35
5.3.2	Kalibration der Elektronenstrahlenergie	35
5.4	Radiative Rekombination	47
5.5	Dielektronische Rekombination	50
5.5.1	Qualitative Untersuchung	56
5.5.2	Vermessung der Resonanzen	56
5.6	Diskussion der Ergebnisse	67
6	Zusammenfassung / Ausblick	71
I	Anhang	72
A	sonstiges Material	73
B	Programmskripte	76
B.1	Python-Skript für NI-PCI Ansteuerung	76
B.2	Python-Skript für NI-GPIB Ansteuerung (für Keithley 2002 Multi- meter)	83
B.3	Python-Basisskript Labboxserver	86
B.4	Python-Basisskript Konfiguration für Labboxserver	100
B.5	Python-Basisskript Konfiguration für Deviceserver	125
C	Liste	128
C.1	Abbildungsverzeichnis	128
C.2	Tabellenverzeichnis	133
D	Literaturverzeichnis	137

1 Einführung

Spektroskopie ist ein Hauptpfeiler der modernen Physik. Sie zielt darauf hin, charakteristische Energiemuster einer Probe zu untersuchen die Aufschlüsse über ihr Innenleben enthält. Mithilfe der Theorie lassen sich solche Spektren näherungsweise berechnen, jedoch tauchen mit steigender Genauigkeit und Präzision immer neue Effekte auf, wie Feinstrukturaufspaltung, Hyperfeinstrukturaufspaltung oder Lamb-Verschiebung. Die Wissenschaftler Kirchhoff und Bunsen haben in 19. Jahrhundert charakteristische Spektren über ein Prisma in einem Fernrohr mit einer Skala abgelesen, während im 21. Jahrhundert optische Uhren imstande sind, mit 17 Dezimalstellen Genauigkeit die zeitliche Stabilität der Naturkonstanten zu testen. Für ausreichende Präzision werden entsprechend lange Messzeiten sowie komplexe Abläufe benötigt. Zur Realisierung solcher Experimente benötigt man immer leistungsfähigere und flexiblere Kontrollsysteme. Die zur Verfügung stehende Zeit muss dabei ebenso berücksichtigt werden.

In dieser Arbeit werden Rekombinations- und Anregungsenergien hochgeladenes Iridium, welches eine Ordnungszahl von 77 hat, untersucht. Bei dieser Ordnungszahl beträgt die Feinstrukturaufspaltung zwischen den $2p_{1/2}$ und $2p_{3/2}$ Niveaus etwa 2 keV. Durch die vorliegende Messung wurden Ionisationspotentiale für Li- bis Ne-artige Ladungszustände bestimmt, sowie die Anregungsenergien der wichtigsten dielektronischen KLL Resonanzen. Durch die Größe dieser Effekte ist es möglich, mit einem Elektronenstrahl bekannter Energie einige neue Datenpunkte für diese bisher wenig untersuchte Ionenspezies zu gewinnen.

Zur Realisierung wird die Heidelberg-Elektronenstrahl-Ionenfalle des Max-Planck-Instituts für Kernphysik in Heidelberg verwendet, kurz HD-EBIT. Die theoretischen Grundlagen dazu werden in Kapitel 2 übermittelt. Kapitel 3 beschäftigt sich mit der HD-EBIT und wie sie das Energiespektrum der Ionen aufnimmt.

Die Softwareplattform EPICS (*Experimental Physics and Industrial Control System*) hat eine breite Anwendung in Großforschungseinrichtungen gefunden, die sie die Möglichkeit bietet, Kontroll- und Messaufgaben hoher Komplexität zu integrieren. In dieser Arbeit wurde Software entwickelt, die auf EPICS basiert, um Messaufgaben in der HD-EBIT zu erleichtern und bessere Messungen zu ermöglichen. Ein großer Vorteil ist der, dass sich Aufgaben auf mehrere Computer verteilen lassen, welche über das lokale Netzwerk miteinander kommunizieren. Mehrere Programme auf unterschiedlichen Standorten können die HD-EBIT überwachen und sämtliche Parameter mitprotokollieren. Der Gefahr des Datenverlustes kann somit reduziert werden. Dass sich EPICS nicht nur auf eine Programmiersprache beschränkt, ist ebenfalls von Vorteil. In dieser Arbeit wird Python2 verwendet.

Für die Architektur des Kontrollsystems werden verschiedene Serverebenen ge-

nutzt, um Aufgaben auf diversen Abstraktionsniveaus angehen zu können. Dies erleichtert ebenfalls die Handhabung des Experiments, vor allem in Test- und Konfigurationsphasen.

Eine Messung von Rekombinationsenergien von hochgeladenen Iridium mit Auswertung steht in Kapitel 5, Kapitel 6 enthält noch eine kurze Zusammenfassung dieser Arbeit mit Ausblick. Im Anhang sind hauptsächlich Programmskripte zum Kontrollsystem zu finden.

2 Theoretische Grundlagen

2.1 Struktur von Atome und Ionen

Die experimentelle Grundlage der Atomphysik ist die Spektroskopie. Mit ihr lassen sich Atomstrukturen herleiten. Zuerst wurde Sie für chemische Elemente von Kirchhoff und Bunsen im Jahr 1859 angewandt. Die klassischen Theorien reichten mit zunehmender Präzision bald nicht mehr aus, um die beobachteten Phänomene zu beschreiben. Beim Bohrschen Atommodell ist die Kreisbahn der Elektronen um den Kern durch die De Broglie Wellenlänge beschränkt, in der Quantenmechanik sind die klassischen Observablen, wie Ort oder Impuls, durch Operatoren für sogenannte Wellenfunktionen, deren Betragsquadrat die Wahrscheinlichkeitsdichte des Systems entspricht, ersetzt.

Im folgenden wird das Wasserstoffatom beschrieben, da es das einfachste Atom, relativ leicht lösbar ist und der Rechenweg sich auf weitere Atome störungstheoretisch übertragen lässt. Ausgangspunkt ist die Schrödingergleichung [I. V. Hertel, C.-P. Schulz, 2008]:

$$\hat{H}\Psi(\vec{r}, t) = i\hbar\partial_t\Psi(\vec{r}, t) \quad (2.1)$$

mit dem Hamiltonian $\hat{H} = \frac{\hat{p}^2}{2m} + V$, Impulsoperator $\hat{p} = -i\hbar\nabla$, Elektronenmasse $m \approx 9.11 \times 10^{-31} \text{kg}$, Abstand vom Kern r , Ladung des baren Kerns $Z \times e$, Elementarladung $e \approx 1.6 \times 10^{-19} \text{C}$, Dielektrizitätskonstante $\epsilon_0 \approx 8.85 \times 10^{-12} \frac{\text{As}}{\text{Vm}}$ und Coulombpotential des Kerns $V = -\frac{1}{4\pi\epsilon_0} \frac{Ze^2}{r}$ wird daraus:

$$\hat{H} = \frac{-\hbar^2}{2m} - \frac{1}{4\pi\epsilon_0} \frac{Ze^2}{r} \quad (2.2)$$

Mit den Separationsansatz $\Psi(\vec{r}, t) = h(\vec{r})g(t)$ lässt sich die Gleichung in zeit- und ortsabhängigen Teil auflösen:

$$\frac{\hat{H}h(\vec{r})}{h(\vec{r})} = \frac{i\hbar\partial_t g(t)}{g(t)} = W \quad (2.3)$$

wobei W konstant, da Ort und Zeit jeweils auf der linken und rechten Seite der Gleichung stehen und unabhängig voneinander gewählt werden können, und die Energie des Systems ist. Daraus ergeben sich die Gleichungen:

$$\hat{H}h(\vec{r}) = Wh(\vec{r}) \quad (2.4)$$

und

$$i\hbar\partial_t g(t) = Wg(t) \quad (2.5)$$

Ihre Lösungen lauten:

$$g(t) = C \times \exp\left(\frac{W}{i\hbar}t\right) \quad (2.6)$$

und

$$h_{nlm}(\vec{r}) = h_{nlm}(r, \theta, \varphi) = R_{nl}(r)Y_{lm}(\theta, \varphi) \quad (2.7)$$

mit der Radialfunktionen

$$R_{nl} = C_{nl}e^{-\rho/2}\rho^l L_{n+l}^{2l+1}(\rho) \quad (2.8)$$

$$C_{nl} = -\left(\frac{Z}{a_0}\right)^{3/2} \frac{2}{n^2} \sqrt{\frac{(n-l-1)!}{((n+l)!)^3}} \quad (2.9)$$

und $\rho = \frac{2Z}{n} \frac{r}{a_0}$, $a_0 = \frac{\varepsilon_0 \hbar^2}{e^2 m \pi} \approx 0.529 \times 10^{-10} m$ als Länge für atomare Einheiten (Bohrscher Radius) und $\hbar \approx 6.61261 \times 10^{-34} Js$ als Planck'sches Wirkungsquantum. $L_{n+l}^{2l+1}(\rho)$ bezeichnet die assoziierten Laguerre-Polynome, $Y_{lm}(\theta, \varphi)$ die Kugelflächenfunktionen. Die Konstanten n , l und m sind die Quantenzahlen des Systems. $h_{nlm}(\vec{r})$ erfüllt die Eigenwertgleichung

$$\hat{H}h_{nlm}(\vec{r}) = W_{nlm}h_{nlm}(\vec{r}) \quad (2.10)$$

ist somit eine Eigenfunktion vom Hamiltonian mit diskreten Eigenenergiewerte

$$W = W_{nlm} = -\frac{Z^2}{2n^2} \frac{me^4}{4\varepsilon_0^2 \hbar^2} \quad (2.11)$$

Wie beim Wasserstoffatom sind auch die Energiewerte der gefangenen Elektronen von anderen Atomen oder Ionen diskret. Zudem kommen noch weitere Effekte und Quantenzahlen, welche die Niveaus verschieben oder aufspalten. Zur Ionisation muss dem gebundenen Elektron mindestens seine Bindungsenergie hinzugefügt werden, damit es das Atom verlassen kann. Andererseits gibt ein freies Elektron Energie ab, wenn es eingefangen wird. In dieser Arbeit betrachten wir die Photonen, die von Elektronen abgesendet werden, welche eingefangen werden.

2.2 Stoßprozesse

Atome und Ionen können Energie auf- bzw. abgeben. Dies geschieht durch Stoßprozesse mit anderen Teilchen, wie Photonen oder Elektronen. Bei der Anregung wird einem gebundenen Elektron durch einen Stoß Energie zugefügt, sodass es in ein höheres Niveau angehoben wird, aber immer noch gebunden bleibt. Fällt es danach in ein niedrigeres Niveau, sendet es dabei ein Photon ab oder regt ein anderes Elektron an. Bei der Ionisation hingegen bekommt das gestoßene Elektron mehr Energie als dessen Bindungsenergie ab, so dass es nicht mehr gebunden ist und frei wird. Die resultierende kinetische Energie entspricht der Differenz aus Stoßenergie und Bindungsenergie des Niveaus, aus den das Elektron gestoßen wurde.

Prozess	Formel
Photoionisation	$X^{q+} + \gamma \rightarrow X^{(q+1)+} + e$
Photo- oder Radiative Rekombination (RR)	$X^{(q+1)+} + e \rightarrow X^{q+} + \gamma$
Multielektronen Photoionisation	$X^{q+} + \gamma \rightarrow X^{(q+k)+} + ke, k \geq 1$
Bremsstrahlung	$X^{q+} + e \rightarrow X^{q+} + e + \gamma$
Dielektronische Rekombination (DR)	$X^{q+} + e \rightarrow X^{(q-1)+**} \rightarrow \begin{cases} X^{(q-1)+*} + \gamma \\ X^{q+} + e \end{cases}$

Tabelle 2.1: Diverse Stoßprozesse [H. F. Beyer, H.-J. Kluge, V. P. Shevelko, 1997]
(X: Atomkern, q: Ladung, e: freies Elektron, γ : Photon)

Zur Ionisation gibt es noch reverse Prozesse, die Rekombination. Ein freies Elektron wird eingefangen, somit gebunden, und strahlt Energie in Form eines Photons ab oder regt andere Elektronen an. Bei der radiativen Rekombination (RR) fällt ein freies Elektron in ein Energieniveau des Ions und strahlt ein Photon ab, dessen Energie der kinetischen Energie plus der Bindungsenergie entspricht. Sie ist nicht resonant. Die dielektronische Rekombination (DR) hingegen beschreibt ein Prozess, bei der auch ein freies Elektron eingefangen wird, dessen abgegebene Energie jedoch ein schon gebundenes Elektron in ein höheres Niveau anregt. Dieses angeregte Elektron fällt kurz danach (lange bevor ein weiteres freies Elektron eintrifft [Crespo14]) in ein tieferes Niveau und strahlt ein Photon mit bestimmter Energie ab, sie entspricht der Differenz der Niveaus. Dieser Prozess ist resonant, Gleichung 2.12 zeigt die Resonanzbedingung, und der Wirkungsquerschnitt dafür steigt im dem Bereich gegenüber der RR an. Die Energie des abgestrahlten Photons entspricht der Bindungsenergie (positiv, Bindungspotential wäre vom gleichen Betrag jedoch negativ) vom Niveau, in der das freie Elektron rekombiniert ist plus der kinetischen Energie des freien Elektrons. Diese Resonanzpunkte sind, wie auch die RR-Linien, mit Breiten versehen, welche aus natürlicher und experimenteller Linienbreite stammen. Tabelle 2.1 listet einige Stoßprozesse auf.

$$\text{kinetische Energie} = \text{Photonenenergie} - \text{Bindungsenergie} \quad (2.12)$$

2.3 Radiative und dielektronische Rekombination

Die radiativen und dielektronischen Rekombinationen sind anhand von Linien bzw. Punkte in einem Photonenenergie-Elektronenstrahlenergie-Diagramm erkennbar. Die Steigung radiativer Linien sollte sich zu 1.0 ergeben, da für jedes keV kinetische Energie mehr das Photon ebenfalls 1keV mehr bekommt. Wird diese Gerade auf eine Elektronenstrahlenergie von 0 keV extrapoliert, bleibt die Bindungsenergie auf den Achsenabschnitt zurück. Da einige Linien mit gleichen Drehimpuls J nahe beieinander liegen und sich durch ihre Breiten überlappen, entstehen je nach Drehimpuls des

Ions ($=J$) verschieden erkennbare radiative Rekombinationsbänder. In Abbildung 2.1 sind die Bänder $J=1/2$ (oberes) und $J=3/2$ (unteres) zu sehen. Die Bindungsenergie von $J=1/2$ ist größer, dieses Band eine höhere Photonenenergie als mit $J=3/2$.

Die dielektronischen Resonanzen sind vor allem bei der oben beschriebenen Resonanzbedingung aktiv. In Abbildung 2.1 sind diverse *Blobs*, engl. für Blasen, zu sehen. Hier werden nur KLL Resonanzen betrachtet. Die Bezeichnung hat drei Buchstaben, repräsentativ für Schalen. Das gebundene Elektron befindet sich anfangs in der ersten Schale (K-Schale) und wird in die zweite Schale (L-Schale) angeregt. Die dritte beschreibt die Schale (L-Schale), in der das freie Elektron rekombiniert [Bernitt, 2009]. Für KLL Resonanzen müssen somit zwei Löcher in der L-Schale, in der das freie Elektron fällt und das gebundene angeregt wird, und mindestens ein gebundenes Elektron in der K-Schale vorhanden sein. Die Ladungszustand der Ionen für KLL Prozesse reicht somit von He- bis O-artig. In der Abbildung sind drei KLL-Bereiche dargestellt ($KL_{1/2}L_{1/2}$, $KL_{1/2}L_3$, KL_3L_3). Sie folgen der Nomenklatur von [D. A. Knapp, P. Beiersdorfer, M. H. Chen, J. H. Scofield, and D. Schneider, 1995]. In $KL_{1/2}L_{1/2}$ geht alles von $J=1/2$ aus, und mit mindestens zwei Löcher sind daher nur He- bis Be-artige Resonanzen möglich. Das Element bezeichnet den Ausgangsladungszustand des Ions. Bei einer He-artigen Resonanz rekombiniert ein freies Elektron in ein He-artiges Ion zu einem angeregten Li-artigen Ion. Bei den anderen KLL-Bereichen vollzieht sich die Rekombination in das $J=3/2$ Niveau. Dabei gibt es zwei mögliche Abregungswege: ein gebundenes Elektron fällt entweder aus $L_{1/2}$ oder $L_{3/2}$ in die K-Schale. In Abbildung 2.1 sind in den letzten zwei KLL-Bereichen stets zwei horizontal übereinander liegende DR-Reihen zu sehen.

Unter einigen DRs sind *droplines*, engl. für Falllinien, zu sehen. Sie entstehen aus Zwei-Photonen Zerfälle [Martínez, 2005] und werden in dieser Arbeit nicht weiter behandelt.

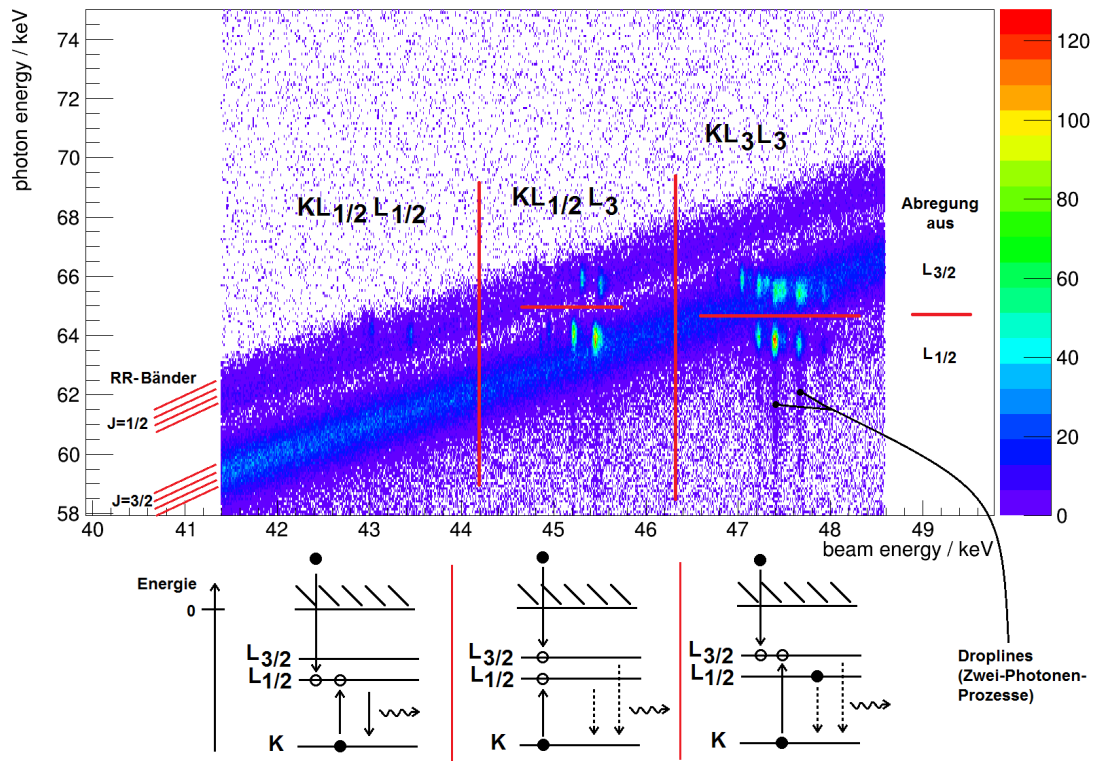


Abbildung 2.1: Radiative und dielektronische Rekombination - Diagramm. Die Elektronenstrahlenergie ist gegen die Photonenenergie aufgetragen. Die Anzahl der Ereignisse ist farbig entsprechend der rechten Skala markiert. Die steigenden Geraden entsprechen den radiativen Rekombinationsbändern und enthalten jeweils 4 einzelne radiativen Rekombinationslinien mit gleichem Drehimpuls J . Die Punkte, in denen auffällig viele Ereignisse zu sehen sind entsprechen dielektronischen Resonanzen. Sie sind in 3 Bereiche ($KL_{1/2}L_{1/2}$, $KL_{1/2}L_3$, KL_3L_3) nach der Nomenklatur von [D. A. Knapp, P. Beiersdorfer, M. H. Chen, J. H. Scofield, and D. Schneider, 1995] eingeteilt. Bei den letzten beiden Bereichen hat das angeregte Elektron zwei verschiedene Abregungswege (aus $L_{3/2}$ und $L_{1/2}$ Schale), daher sind zwei Reihen horizontaler Resonanzen übereinander. Dabei steht L für die Schale (Hauptquantenzahl=2) und der Indize (1/2 oder 3/2) für den Drehimpuls J . Unterhalb einiger starker Resonanzen sind Falllinien (Droplines) zu sehen, was auf Zwei-Photonen-Prozesse zurückzuführen ist. Die unteren Skizzen zeigen die Rekombinations- und Abregungswege der obigen Bereiche mit gleicher Reihenfolge, dabei sind unskaliert die Energieniveaus des Ions zu sehen. Von oben rekombiniert ein freies Elektron in eine L-Schale und regt ein gebundenes Elektron aus der K-Schale an. Der Zustand zerfällt nach kurzer Zeit (lange bevor ein weiteres freies Elektron eintrifft [Crespo14]) und setzt ein Photon frei, dessen Energie der Differenz der Niveaus entspricht

3 Experimenteller Aufbau

3.1 Die Elektronenstrahl-Ionenfalle

3.1.1 Grundlegendes zur Elektronenstrahl Ionenfalle

Eine Elektronenstrahl Ionenfalle, englisch *electron beam ion trap*, kurz EBIT, erzeugt und fängt Ionen. Das Kernstück ist der Elektronenstrahl, der die Falle durchquert. Er erzeugt Ionen, hält sie fest und regt sie an. Somit lässt sich Spektroskopie in der Falle betreiben.

Zuerst wurde die Elektronenstrahl-Ionenquelle, englisch *electron beam ion source* (EBIS), um 1965 von *Donets* in Dubna entwickelt, um hochgeladene Ionen zu erzeugen. 1989 wurde die erste Elektronenstrahl-Ionenfalle von Levine *et al.* am Lawrence Livermore National Laboratory gebaut [Martínez, 2005].

3.1.2 Funktionsprinzip

Hochgeladene Ionen werden aus neutralen Atomen gewonnen. Dafür kann man Edelgase oder Molekülverbindungen nehmen. Ein hochenergetischer Elektronenstrahl dissoziiert Moleküle und ionisiert Atome mittels Stoßionisation (Kap. 2) zu Ionen, je nach Energie und Strom zu hochgeladenen Ionen. Freien Elektronen werden auch zur Rekombination genutzt. Es stellt sich nach bestimmter Zeit je nach Falleneinstellung eine zeitlich gemittelt konstante Ladungszustandsverteilung.

Die Ionen werden mit elektrischen Feldern in der Falle gehalten. Abbildung 3.1 zeigt das Funktionsprinzip der Elektronenstrahl Ionenfalle. Der Elektronenstrahl hat eine negative Raumladung und zieht die positiv geladenen Ionen zu ihm, sodass sie in radialer Richtung gefangen werden. Für die longitudinale Falle sorgen Driftröhren, auf denen elektrische Spannung gelegt wird. Geladene Teilchen in unterschiedlich geladenen Driftröhren haben somit auch unterschiedliches Potential. Aus diesem Prinzip lassen sich Barrieren erzeugen, die die Ionen, abgesehen vom Tunneleffekt, nicht überwinden können (siehe Abb. 3.2).

Die Temperatur der Ionenwolke lässt sich durch hauptsächlich durch den Elektronenstrahlstrom und -Energie sowie durch die Fallentiefe regulieren. In einer kühlen Ionenwolke sind die Ionen langsamer als in einer heißeren, somit ist der Dopplereffekt, der Linien verbreitert, geringer. Eine weitere Kühlmethode ist die evaporative Kühlung. Hierbei können schnellere Ionen der Falle entkommen und kühlen sie somit. Dazu muss die Fallentiefe entsprechend seicht gewählt werden. Ein Nachteil dieser Methode ist dass ein Teil der Ionen verschwindet und die Signalstärke der Ionenwolke sinkt, d.h. man bekommt weniger Statistik und muss z.B. länger messen.

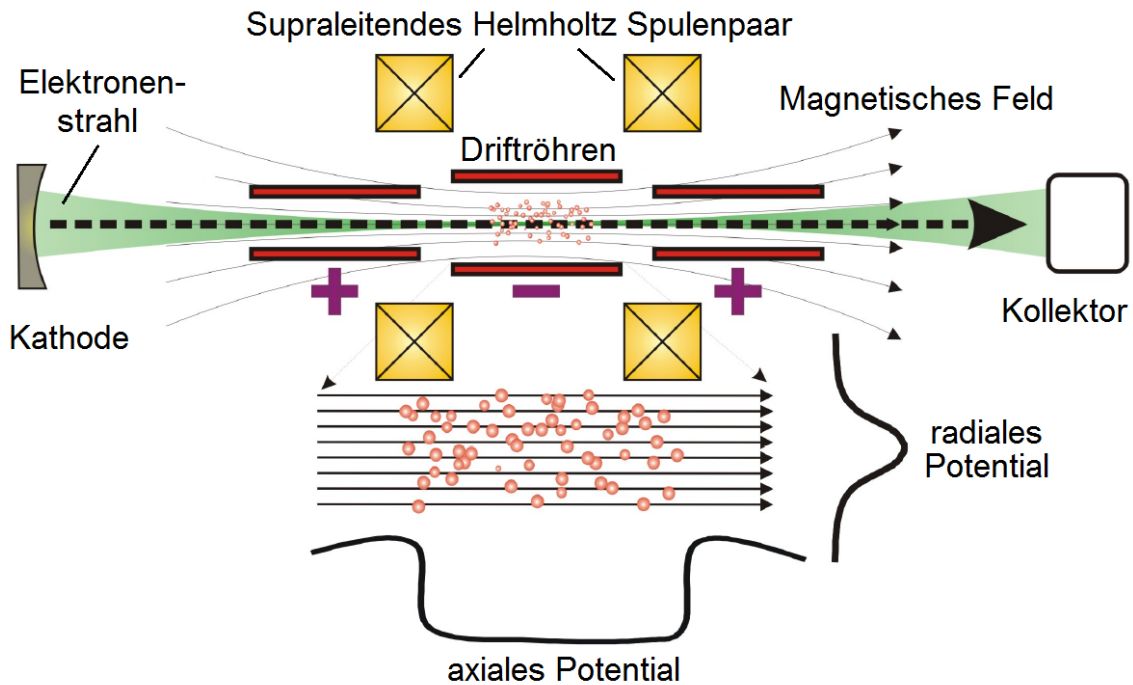


Abbildung 3.1: Funktionsprinzip der Elektronenstrahl Ionenfalle [Martínez, 2005]. Die Kathode sendet ein Elektronenstrahl aus, der die Falle durchquert und im Kollektor eintrifft. Im Fallenbereich wird er durch ein Magnetfeld, erzeugt von einem (hier supraleitenden) Helmholtz Spulenpaar, komprimiert, um möglichst hohe Stromdichten zu erreichen. Die negative Raumladung hält die positive geladenen Ionen in axialer Richtung fest. In longitudinaler Richtung werden sie durch Driftröhren festgehalten, auf denen elektrische Spannung gelegt wird und Potentialverlauf derart beeinflussen, dass ein Potentialtopf entsteht. Die Ionen stammen von neutralen Atomen, die in die Falle initiiert und sequentiell durch Stoßprozesse mit den energiereichen Elektronen des Strahls ionisiert werden.

Der Elektronenstrahl wird in einer Elektronenkanone erzeugt. Dafür wird eine spezielle Elektrode, die Kathode, mit einem Heizelement temperiert, sodass die thermische Elektronen austreten können. Die freien Elektronen werden in Richtung der Anode beschleunigt, auf der positive Spannung liegt und die Elektronen somit anzieht. Dazwischen befindet sich noch eine Fokussierelektrode, mit der man den Strom des Elektronenstrahles genauer kontrolliert, bzw. fokussiert (und nicht den Radius des Strahles). Zudem gibt es noch Bucking- und Trimmsspule eingebaut; zwei Magnetspulen die äußere Magnetfelder aufheben sollen. Der Elektronenstrahl wird nach der Falle vom Kollektor aufgesammelt. Der Kollektor liegt auf dem selben Potential wie die Kanone. Die Extraktorelektrode wird auf negatives Potential höher als die Kathode gebracht, sodass die Elektronen sie nicht durchdringen können, Ionen aber schon. Die Elektronen werden somit abgebremst und treffen auf die Kollektorelektrode. Die Kollektormagnetspule schirmt auch hier äußere Magnetfelder ab. Das ganze Elektronenstrahlsystem kann noch auf Hochspannung gelegt werden um höhere kinetische Energien der Elektronen zu erreichen, ohne dass das Hochspannungsnetzteil den Elektronenstrahlstrom aufbringen muss.

Um den Radius des Elektronenstrahles im Fallenbereich bei den Driftröhren möglichst gering zu halten, befindet sich dieser im Zentrum eines Helmholtz-Spulenpaares. Dieser Magnet erzeugt in der Falle ein nahezu homogenes Magnetfeld entlang der Strahlenachse des Strahles. Die Elektronen führen eine Larmorpräzession aus. Je stärker das Magnetfeld, desto geringer ist ihr Präzisionsradius. Mit dem Herrmann-Radius lässt sich der Radius des Elektronenstrahlstromes errechnen, der 80% der Elektronen enthält.

3.1.3 Energie des Elektronenstrahl in der Falle

Die Energie des Elektronenstrahls im Fallenbereich wird hauptsächlich durch die Summe aller Beschleunigungsspannungen bestimmt (siehe Abb. 5.10). Sie ergibt sich in der Regel durch Addition der Einzelspannungen von Start- und Zielelektrode. Abbildung 3.2 illustriert den axialen Potentialverlauf von der Kanone bis zum Kollektor.

Die gesamte Beschleunigungsspannung der Elektronen im Fallenbereich ergibt sich aus der Summe von negativer Kathodenspannung, Driftröhrenplattform und Fallendriftröhre (DT9). Gleichung 3.1 zeigt die resultierende Beschleunigungsspannung U_{acc} für die Elektronen im Fallenbereich.

$$U_{acc} = U_{EGun} + U_C + U_{DTs} + U_{DT9} \quad (3.1)$$

Dabei stehen U_{EGun} für die Elektronenkanonenplattform, U_C für den Betrag der Kathodenspannung und U_{DT9} für die Spannung der Fallendriftröhre.

Der Elektronenstrahl und die Ionenwolke verursachen durch ihre Ladung noch Raumladungseffekte. In guter Näherung kann der Elektronenstrahl als zylinderförmig betrachtet werden. Nähere Beschreibungen des Elektronenstrahlradius finden sich in [Martínez, 2005]. Der Effekt der Ionenwolke wird zur Vereinfachung derart ange-

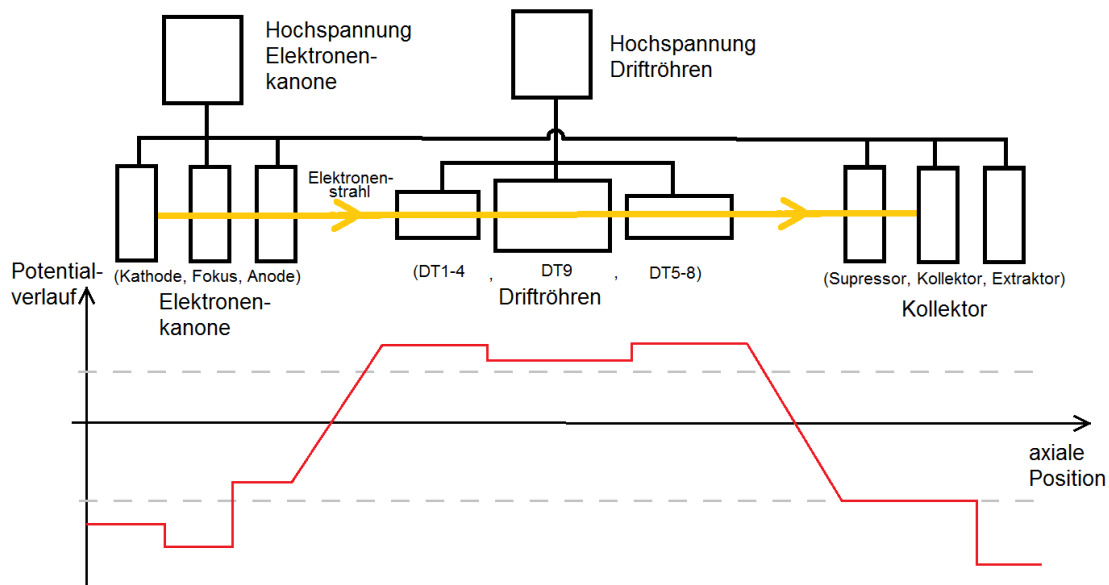


Abbildung 3.2: Axialer Potentialverlauf der Heidelberg-EBIT. Die obige Skizze zeigt die wichtigsten Komponenten für den Elektronenstrahl. Sie erzeugen durch Anlegen einer Spannung ein Potential, das sich mit der axialen Position ändert (unteres Diagramm zeigt Potentialverlauf rot). Suppressor- und Kollektorelektrode haben kein eigenes Netzteil. Die obige gestrichelte Linie zeigt das Potential der Elektronenkanonenplattform, die untere die der Driftröhren. Driftröhre 9 (DT9) entspricht der Driftröhre im Fallenbereich. Mit Hilfe der nebenstehenden Driftröhren (DT1-4 und DT5-8) kann ein Potentialtopf geformt werden, der die Ionen in axialer Richtung fängt. Der Extraktor hat ein etwas niedrigeres Potentialverlauf als die Kathode, somit lässt er keine Elektronen durch, Sie werden von der davorstehenden Kollektorelektrode eingesammelt.

nommen, dass der Raumladungseffekt des Elektronenstrahles um einen bestimmten Faktor unterdrückt wird, da sie positiv und der Elektronenstrahl negativ geladen ist. Die Raumladung Φ des Elektronenstrahls ist vereinfacht zur seiner Elektronendichte ρ proportional, die wiederum propaotional zum Strom I und Antiproportional zur Geschwindigkeit v_e der Elektronen ist.

$$\Phi \propto \rho_e \propto \frac{I}{v_e} \quad (3.2)$$

$$v_e = c \times \sqrt{1 - \left(\frac{E_e}{m_e c^2} + 1\right)^{-2}} \quad (3.3)$$

Gleichung 3.3 gibt die relativistische Geschwindigkeit-Energie-Beziehung wieder, mit $c = 299792458 \frac{m}{s}$ als Lichtgeschwindigkeit und E_e als Elektronenenergie. Die Ionenwolke schrumpft die effektive Raumladung Φ_{eff} um den Faktor f_W . Die Ruheenergie $m_e c^2$ des Elektrons beträgt ungefähr 511 keV.

$$\Phi_{eff} = \frac{\Phi}{f_W} \quad (3.4)$$

Die Elektronenstrahlenergie lässt sich somit schreiben als:

$$E_e = e \times U_{acc} - \Phi_{eff}. \quad (3.5)$$

Das negavite Vorzeichen vor Φ_{eff} in Gleichung 3.5 lässt sich dadurch erklären, dass die negative Ladung des Elektronenstrahls ankommende Elektronen abbremst, somit verringert sich ihre Energie im Fallenbereich. Die effektive Raumladung Φ_{eff} hängt jedoch von der sämtlichen EBIT Parametern ab und ist unbekannt. Daher wird sie am besten experimentell bestimmt, indem Resonanzschwerpunkte bei gleichen Beschleunigungsspannungen und unterschiedlichen Strömen gemessen wird. Dadurch ergibt sich ein annähernd linearer Zusammenhang:

$$\Phi_{eff} = S_{sp}(E_e) \times I. \quad (3.6)$$

Die Steigung S_{sp} kann somit ermittelt werden, die noch von der Elektronenstrahlenergie E_e abhängt. Wird die Steigung S_{sp} bei einer bestimmten Energie E_{sp} ermittelt, ergibt sich für die effektive Raumladung:

$$\Phi_{eff}(I, E_e) = S_{sp} \times \sqrt{\frac{1 - \left(\frac{E_{sp}}{m_e c^2} + 1\right)^{-2}}{1 - \left(\frac{E_e}{m_e c^2} + 1\right)^{-2}}} \times I. \quad (3.7)$$

Da der Raumladungseffekt klein gegenüber der Beschleunigungsspannung mal Elementarladung ist (siehe Abb. 5.10), kann im rechten Term von Gleichung 3.7 in guter Näherung E_e durch $e \times U_B$ ersetzt werden. Gleichung 3.7 vereinfacht sich somit zu:

$$\Phi_{eff}(I, U_{acc}) = S_{sp} \times \sqrt{\frac{1 - \left(\frac{E_{sp}}{m_e c^2} + 1\right)^{-2}}{1 - \left(\frac{U_{acc}}{m_e c^2} + 1\right)^{-2}}} \times I. \quad (3.8)$$

3.2 Die Heidelberg-Elektronenstrahl-Ionenfalle

3.2.1 Historisches zur Heidelberg-Elektronenstrahl-Ionenfalle

Die Heidelberg-Elektronenstrahl-Ionenfalle, abgekürzt HD-EBIT, war zuerst die Freiburger-EBIT, die dort 1999 in Betrieb genommen wurde. 2001 wurde sie nach Heidelberg zum Max-Planck-Institut für Kernphysik überführt und heißt seit dem Heiderberg-EBIT. Seit dem wurde an ihr zahlreiche Papers und Arbeiten verrichtet (siehe Tab. A.4). Eine Besonderheit der HD-EBIT ist die horizontale Lage des Ionenstrahls. Somit lassen sich relativ einfach, bzgl. vertikale Ionenstrahlen, weitere Experimente, wie das PENTATRAP-Experiment, anbauen.

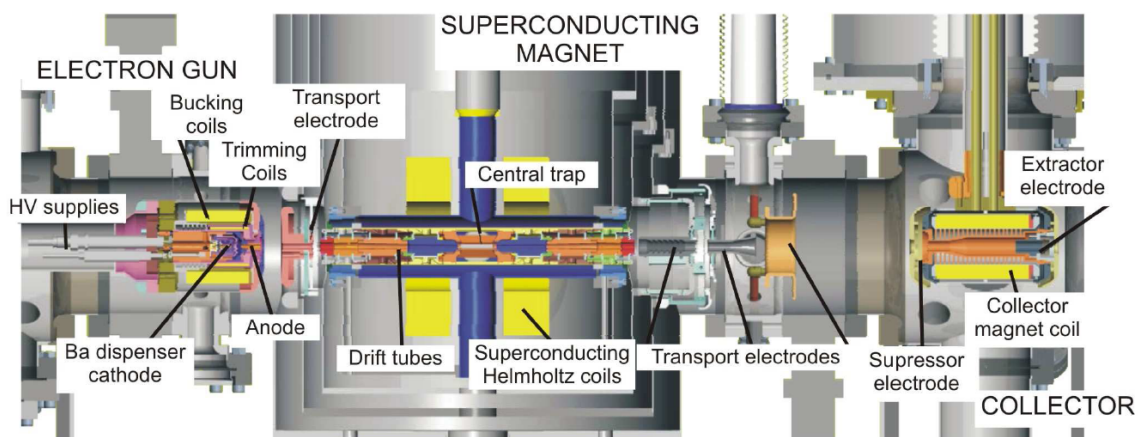


Abbildung 3.3: Schematischer Aufbau der Heidelberg-EBIT [Martínez, 2005]. Links befindet sich die Elektronenkanone, in der Mitte die Driftrohre (Fallenzentrum) und rechts der Kollektor.

3.2.2 Der Weg der Ionen

In dieser Arbeit werden Iridiumionen untersucht. Hierfür wird (Methylcyclopentadienyl) (1,5-cyclooctadiene) iridium(i), kurz $(C_6H_7)(C_8H_{12})Ir$, in die Falle durch Sublimation initiiert. Der Injektionsdruck kann mit einem Nadelventil reguliert werden. Die elektrisch neutralen Moleküle treten in die Falle ein und werden vom hochenergetischen Elektronenstrahl dissoziiert. Anschließend ionisieren die einzelnen Atome durch Stoßprozesse zu Ionen, je nach Elektronenstrahlenergie- bzw. Strom zu hochgeladenen Ionen, welche ebenso angeregt werden und charakteristische Photonen abstrahlen, die teilweise vom Röntgendetektor detektiert werden. Bei einem Dump oder Extraktion werden die Ionen aus der Falle zum Kollektor geführt, der den Elektronenstrahl einsammelt aber die Ionen durchlässt. Weiter geht es durch ein Linsensystem das den Ionenstrahl fokussiert. Danach ändert ein Ablenkmagnet seine Flugbahn um 90° und fächert ihn auf. Dabei werden Teilchen mit unterschiedlichen Masse- zu Ladungsverhältnis örtlich voneinander getrennt. Dieser Ionenstrahl trifft



Abbildung 3.4: Die Heidelberg-EBIT. Rechts ist der Faradaysche Käfig der Elektronenkanone zu sehen. Die gelb farbigen Bleiplatten umhüllen das Fallenzentrum der EBIT. Der beige Tank in der Mitte enthält flüssigen Stickstoff, der den Röntgendetektor, der zur Falle hin herausragt, kühlt.

entweder auf ein MPC (steht für engl. *micro channel plate* und ist ein Detektor für Teilchen, die beim Auftreffen eine Elektronenlawine auflösen und so ihre Position verraten), oder gehen zu dem PENTATRAP-Experiment weiter, das nebenan aufgebaut ist. Im PENTATRAP-Experiment werden hochpräzise Massenmessungen mit relativen Genauigkeiten unter 10^{-11} mit einer neuartigen Penningfalle durchgeführt.

3.2.3 Die Elektronenkanone

Die Elektronenkanone erzeugt einen Elektronenstrahl. Abbildung 3.6 zeigt den schematischen Aufbau. Sie besteht aus einem Heizelement, einer Kathode, Fokussierelektrode, Anode, Bucking- und Trimmsspule. Dazu befindet sie sich noch auf einer vom Boden isolierte Plattform, die auf Hochspannungen bis zu 125 kV angelegt werden kann. Diese Spannung wird mit einem Spannungsteiler gemessen, welcher in der Dissertation von *F. A. J. González Martínez* [Martínez, 2005] genauestens beschrieben und getestet ist. Abbildung 3.7 zeigt die Plattform der Elektronenkanone inklusive Netzteile. Um einen Elektronenstrahl zu erzeugen, werden freie Elektronen benötigt. Dazu wird die Kathode mit einem Heizelement soweit erhitzt, dass thermische Elektronen austreten. Die Kathode besteht aus Barium und Wolfram, beides hitzebeständige Materialien. Die Austrittsarbeit der Elektronen beträgt nur ca. 2 eV [Martínez, 2005]. Um die Elektronen zu beschleunigen, liegt zwischen der Kathode (negatives potential) und der Anode (positives Potential) ein elektrisches

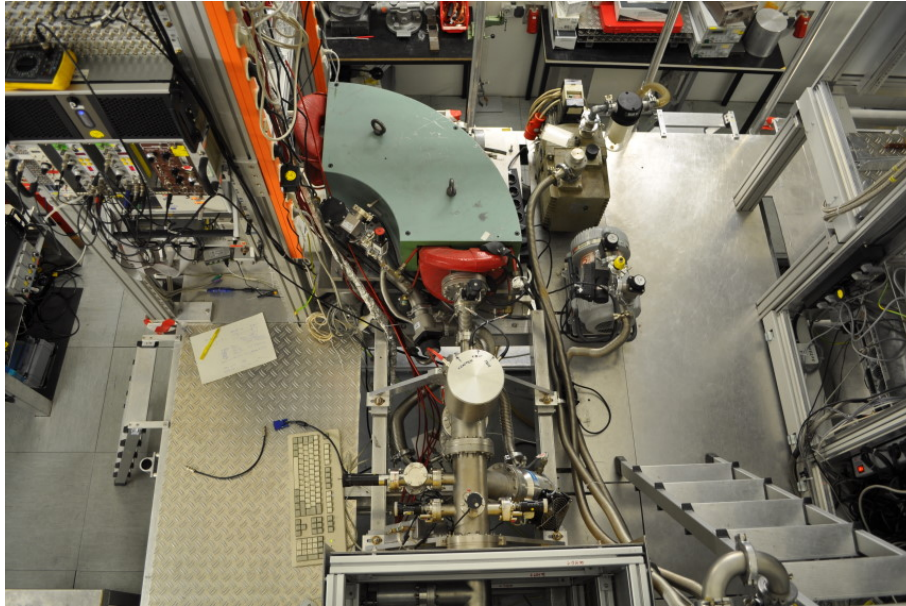


Abbildung 3.5: Extraktionssystem der Heidelberg-EBIT. Die extrahierten Ionen schießen vom unteren Bildrand zum oberen und werden durch den Ablenkmagneten (grünfarbig, nach links gebogen) abgelenkt und aufgefächert.

Feld an. Die dazwischen liegende Fokuselektrode erzeugt durch anlegen von Spannungen ebenfalls ein Potential, mit dem sich der Elektronenstrahlstrom regulieren lässt. Ist das Potential der Fokuselektrode niedrig genug (zur Erinnerung: Elektronen sind negativ geladen), können die Elektronen diese Barriere nicht mehr überwinden und der Strom verschwindet. Die Position und Lage der Elektronenkanone lässt sich manuell mit Justierschrauben verstellen. Dies hat sich vor allem beim Wechsel von Spannungsbereichen der Elektronenkanone oder längeren Wartezeiten als hilfreich erwiesen, damit die EBIT stabil läuft, d.h. dass nicht zu hohe Ströme bzw. Stromschwankungen auf der Anode, dem Suppressor oder dem Extraktor vorhanden sind. Tabelle 3.1 zeigt die für die Elektronenkanone verwendeten Geräte. Das dazugehörige Rack ist in Abbildung 3.7 zu sehen.

3.2.4 Der Fallenbereich

Der Fallenbereich befindet sich in den Driftröhren, siehe Abbildung 3.9. Sie befinden sich ebenfalls auf einer isolierten Plattform, die der bis zu 30 kV angelegt werden kann. Zusätzlich kann auf jede einzelne Driftröhre eine bestimmten Spannung angelegt werden, um ein Fallenpotential zu erzeugen und die Ionen zu fangen, zu dumpen oder kontinuierlich zu extrahieren. Abbildung 3.8 zeigt ein Fallenpotential.

Die mittlere Driftröhre besitzt Beobachtungsschlitze, sodass sich daraus Photonen untersuchen lassen. Ein Teil dieser Photonen entwischt über ein Berylliumfenster zum Röntgendetektor, der ein Spektrum der Ionenwolke aufnimmt.

Bauteil	Netzteil
Heizelement	GW Laboratory DC Power Supply, Model GPS-1830
Kathode	fug MCA 750-1500
Fokus	Trek Model 609E-6, High Voltage Amplifier
Anode	fug HCN 35-12500
Kollektor Magnet	Sorensen DLM 8-75
Trimmspule A	Knürr-Heinzinger Economy Line LNG 32-3
Spannungsteiler Voltmeter	Keithley 2002 Multimeter
Hochspannung der Plattform	Glasman High Voltage, Inc., Series WR
Horizontaler Ablenkmagnet	Hewlett Packard 6268 DC Power Supply
Vertikaler Ablenkmagnet	Electro-Automatic GmbH & Co. KG ES-PS 3065-03B
Ventilatorversorgung Spannungsteiler	Laboratory Power Supply GW Model: GPR-1810HD
Extraktor	fug HCN 7E-6500
Supressor	geerdeter (bzgl. Plattform) Widerstand 1 kOhm zum Auslesen
Kollektor	geerdeter (bzgl. Plattform) Widerstand 10 Ohm zum Auslesen

Tabelle 3.1: Verwendete Geräte der Elektronenkanone

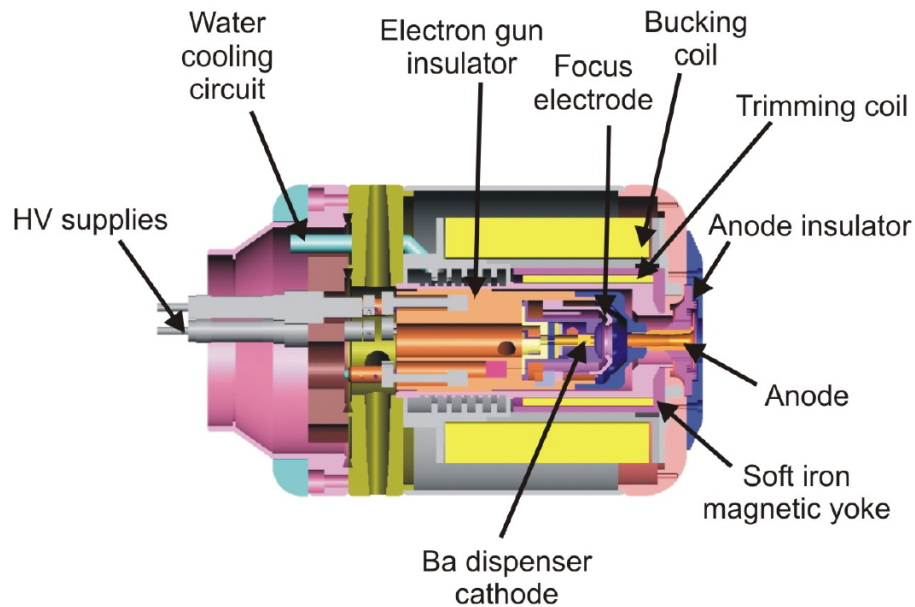


Abbildung 3.6: Schematischer Aufbau der Elektronenkanone [Martínez, 2005]. Die Kathode wird auf Temperatur gebracht, sodass thermische Elektronen austreten. Zwischen Kathode und Anode legt eine Spannung an die die Elektronen zur Anode beschleunigt. Mit der Fokuselektrode zwischen Anode und Kathode lässt sich durch anlegen bestimmter Spannungen der austretende Strom regulieren.

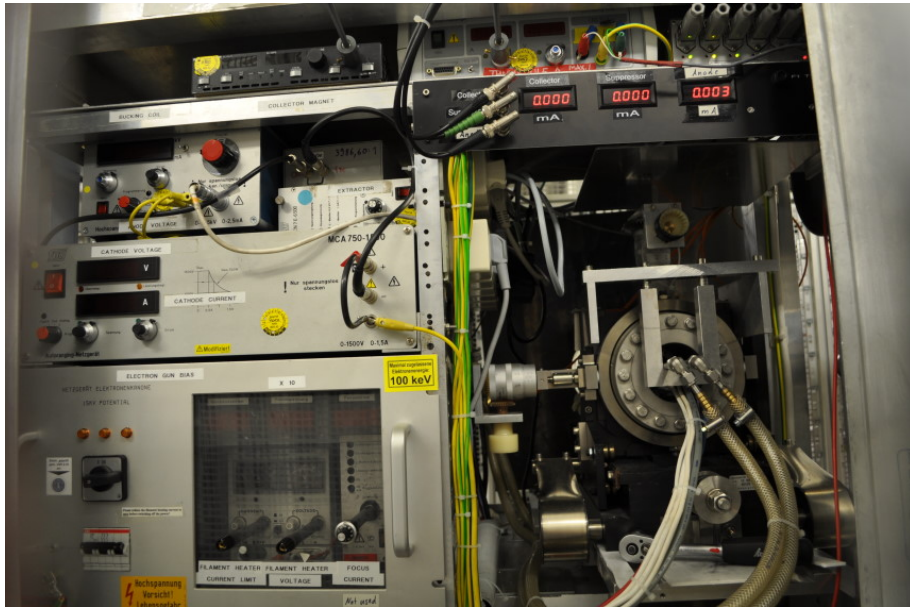


Abbildung 3.7: Rack der Elektronenkanone. Links sind Netzteile für Elektroden wie Anode, Extraktor, Kathode und um linken unteren Kasten das Netzteil für das Heizelement, das auf Kathodenspannung anliegt. Rechts ist die Halterung der Elektronenkanone.

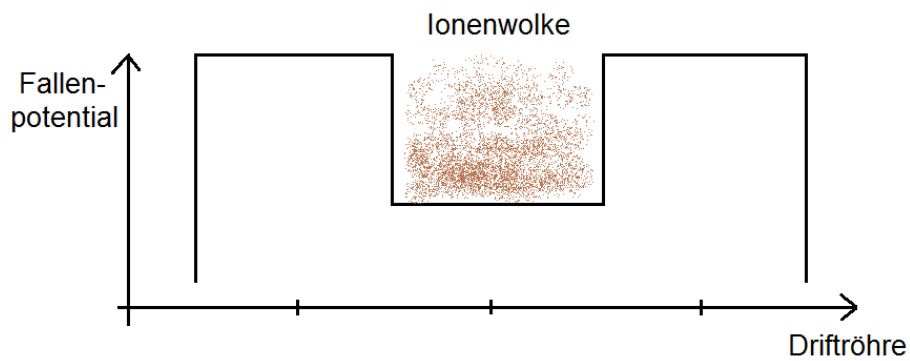


Abbildung 3.8: schematisches Fallenpotential für Driftröhren; Das Elektron kann sich in der Mitte frei bewegen (Potentialtopf in axialer Richtung). Die Ionenwolke ist braun dargestellt.

Im Fallenbereich befindet sich ein nahezu homogenes Magnetfeld, das von einem supraleitenden Helmholtz-Spulenpaar erzeugt wird. Es erreicht eine magnetische Flussdichte von ca. 8 Tesla bei einem Strom von 76.24 A. Um überhaupt Supraleitfähigkeit zu erreichen, dürfen Temperaturen von maximal 4.2 K herrschen. Dies lässt sich mit flüssigen Helium realisieren, das einmal pro Woche nachgefüllt werden muss. Tabelle 3.2 listet die verwendeten Geräte für die Driftröhren auf.

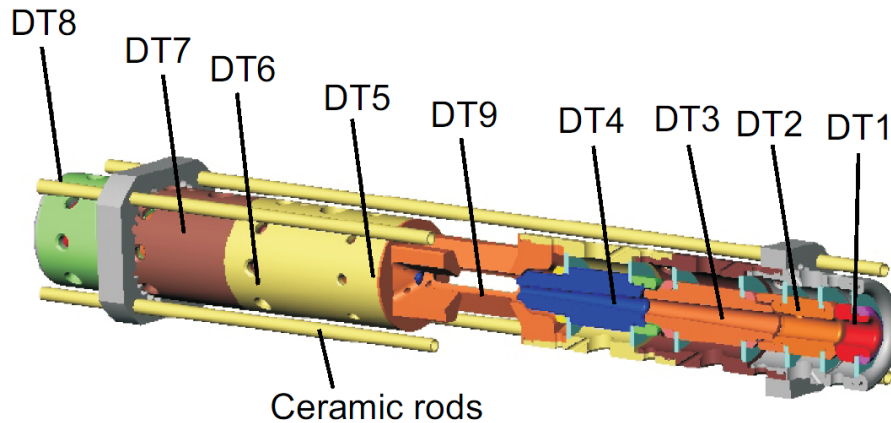


Abbildung 3.9: Schematischer Aufbau der Driftröhren [Martínez, 2005]. Der Elektronenstrahl geht in Driftröhre 1 rein und kommt bei Driftröhre 8 raus. Driftröhre 9 ist die Fallenelektrode.

Bauteil	Netzteil
DT1	fug HCN 7E-3500
Trompete	fug HCN 7E-3500
DT2-DT8	Eigenbau
Hochspannung für DT-Plattform	Heinzinger HCN 30.000 - 5 pos.
Spannungsteiler Voltmeter	Keithley 2002 Multimeter

Tabelle 3.2: Verwendete Geräte der Driftröhren

3.2.5 Der Kollektor

Nachdem der Elektronenstrahl die Falle durchquert hat, muss er kontrolliert eingesammelt werden. Das hat zum einen den Grund, dass er von möglich extrahierten Ionen getrennt und nachfolgende Experimente nicht behindert soll, dass er nicht unkontrolliert auf sonstige Bauteile trifft und sie sogar beschädigen kann und den Hochspannungsbetrieb vereinfacht, da der Kollektor auf den selben Potential wie die Elektronenkanone liegt und das Hochspannungsnetzteil dafür deutlich weniger Strom bereitstellen muss (ca. 1mA statt bis zu 300 mA). Der Elektronenstrahlstrom ist also ein geschlossener Stromkreis auf der Hochspannungsplattform. Wenn

der Elektronenstrahl aus der Falle zum Kollektor fliegt, wird er somit abgebremst. Der Kollektor besteht aus einer Kollektorelektrode, einem Supressor, Extraktor und einem Kollektor-Magnetspule. Der Elektronenstrahl geht durch eine Öffnung der kreisförmigen Supressorelektrode und wird in der Kollektorelektrode aufgefächert und eingesammelt. Die Extraktorelektrode verhindert durch ein positiv angelegtes Potential, dass der Elektronenstrahl mit den Ionen durchwandert. Dabei muss das Potential höher als das der Kathode sein. In diesem Experiment liegen auf der Suppressor- und Kollektorelektrode keine Spannung an. Ihre Ströme werden mit Hilfe von Spannungsteilern gemessen. Abbildung 3.10 zeigt den schematischen Aufbau des Kollektors.

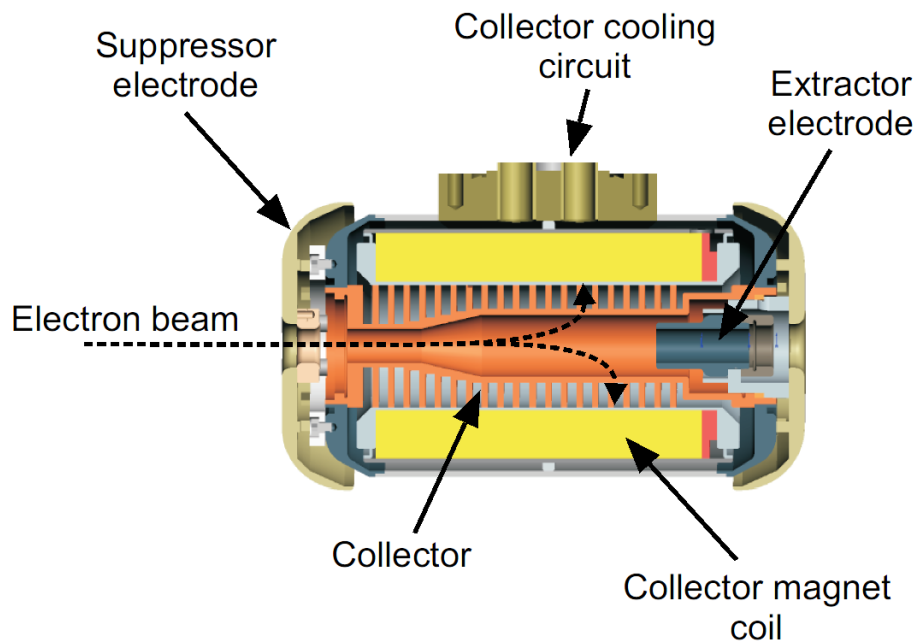


Abbildung 3.10: Schematischer Aufbau des Kollektors [Martínez, 2005]. Der Elektronenstrahl kommt von links. Auf dem Extraktor liegt eine Spannung, die eine axiale Potentialbarriere erzeugt, sodass die Elektronen nicht durchgelangen, abgebremst und von der Kollektorelektrode eingesammelt werden. In dieser Arbeit liegen an Suppressor- und Kollektorelektrode keine Spannung an, sondern sind über einen Messwiderstand, mit dem ihre Strom gemessen werden, mit der Elektronenkanonenplattform verbunden.

3.3 Der Röntgendetektor

Der Röntgendetektor nimmt Photonen, die aus der Falle austreten, auf. Er befindet sich in einem eigenen Vakuumbehälter, ist mit Blei und Messung abgeschirmt und wird mit flüssigen Stickstoff gekühlt (Siedepunkt 77.15K), dass sich in einem dazu

montierten Tank befindet. Abbildung 3.11 zeigt den Detektor. Er wird durch das Gewicht der Blei- und Messingabschirmung, siehe Abbildung 3.12, zusätzlich gestützt. Im Tank befindet sich flüssiger Stickstoff der ca. einmal in der Woche nachgefüllt werden muss. Im Detektor wird an einem dotierten Germaniumkristall, der als Diode fungiert, eine elektrische Spannung in Sperrrichtung angelegt. Durchquert ihn ein hochenergetisches Teilchen, löst es freie Ladungsträger heraus, die einen Stromimpuls auslösen. Die Pulshöhe gibt dabei Aufschluss über die Energie des Teilchens. Die hierfür verwendeten Geräte sind in Tabelle 3.3 zu finden.



Abbildung 3.11: Röntgendetektor GLP Serie von *ORTEC*. Er ist direkt vor dem Berylliumfenster der HD-EBIT positioniert und mit Blei und Messing ummantelt. Der Tank enthält flüssigen Stickstoff, der den Detektor kühlt.

Sowohl die EBIT als auch der Detektor haben Berylliumfenster (siehe Abb. 3.13). Sie haben die Eigenschaft auch als dünne Folie große Druckdifferenzen stand zu halten, sind jedoch giftig und können bei unvorsichtigen Wartungsarbeiten leicht zerstört werden.

Bauteil	Netzteil
Germanium Detektor	ORTEC Model GLP-36360/13-P
Hochspannung Detektor	NHQ 215M N24
Signalwandler Detektor	Ortec Model 463 constant
Analog-Digital Wandler	Dual TADC 7072T

Tabelle 3.3: Verwendete Geräte für Detektor

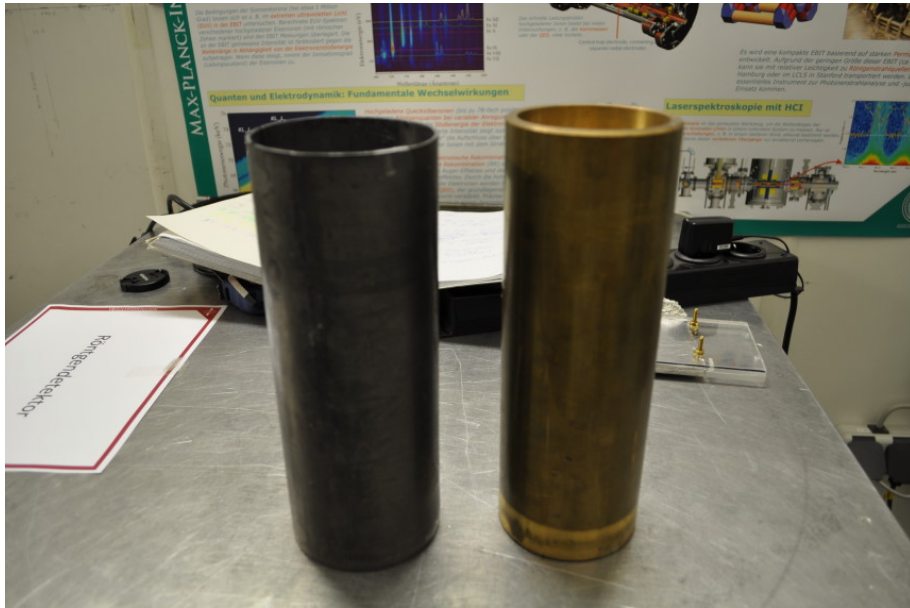


Abbildung 3.12: Abschirmungen des Röntgendetektors. Die Rohre bestehen aus Blei und Messing und werden beide über den Detektor gestülpt.



Abbildung 3.13: Berylliumfenster der HD-EBIT. Eine dünne Berylliumfolie trennt das Vakuum der Falle von der Atmosphäre, lässt aber Röntgenphotonen zu Beobachtungszwecke durch.

3.4 Das Datenaufnahmesystem

3.4.1 Datenaufnahme des Röntgenspektrometers

Die Signale aus dem Detektor gelangen mittels eines analog-digital-Wandlers und einem speziellem GPIB-Interface zu einem PC. Dieser besitzt ein MPA Datenaufnahmesystem der Firma *ComTec Communication Technology GmbH*, das die Signale speichert, verarbeitet und darstellt. Das Signal für die Elektronenstrahlenergie wird ähnlich verarbeitet, nur dass das Analogsignal nicht von einem Detektor kommt stattdessen von einer *National Instruments* Karte generiert wird. Diese wird vom Kontrollsystem der EBIT angesteuert, welches im nächsten Kapitel ausführlich besprochen wird. Das System löst eine Messgröße in 8192 Kanälen auf, die Kalibriert werden müssen. Das Singal vom Detektor, welches der Photonenenergie entspricht, ist mit einer Am²⁴¹-Quelle kalibriert (Abb. 3.14). Diese wird für eine bestimmte Zeit vor dem Detektor positioniert und bestrahlt ihn, sodass eine charakteristisches Spektrum aufgenommen werden kann, mit dem die Kanäle kalibriert werden können.



Abbildung 3.14: Kalibrationsquelle des Röntgendetektors, der rote Pfeil zeigt darauf. Material: Am²⁴¹, Aktivität: 3.7 kBq am 6.2.64, physikalische Halbwärtszeit: 432 Jahre, Aktivität Juli'14 ca. 3.4 kBq

Neben der Photonenenergie wird noch die Elektronenstrahlenergie mitgemessen. Dazu gelangt ein analoges Signal, dass von einer *National Instruments* Karte generiert wird, in ein Signalwandler, der auch vom Detektorsignal getriggert wird. Das analoge Signal wird mit einem speziellen Server (*task_server_source_to_target_linear_02.py*) erstellt, der zum Kontrollsystem gehört (siehe Kapitel 4). Auch hier können charakteristische Schaubilder für die Kalibration erstellt werden.

3.4.2 Datenaufnahme vom EBIT Kontrollsystem

Das EBIT Kontrollsystem umfasst Loggingprogramme, welche sämtliche Daten der EBIT über das lokale Netzwerk aufnehmen und speichern. Während einige Programme einen Satz von Daten in regelmäßigen zeitlichen Abständen aufnehmen (zeitgesteuerte Logs), nehmen andere Programme vereinzelt Daten auf, falls sie sich ändern (ereignisgesteuerte Logs). Daneben gibt es noch graphische Benutzeroberflächen, die Daten nur temporär aufnehmen und graphisch darstellen. Ihr Zweck umfasst hauptsächlich die Überwachung.

4 Das Kontrollsystem

4.1 Motivation

Beim den bisherigen Kontrollsysteme der HD-EBIT konnte nur auf dem PC gesteuert werden, bei dem die Kontrollsoftware lief. Zugriffe über das Netzwerk war nur über *Remote Desktop Verbindung* möglich, was die Anzahl der Benutzer zur selben Zeit auf eins beschränkt. Ziel war es, von jedem PC aus im Netzwerk Zugriff und Kontrolle auf das Experiment zu bekommen. Zudem sollten möglichst einheitliche Programme verwendet werden, um Einarbeitungszeiten zu drosseln. Programme wurden zuvor mit LabView graphisch erstellt, anstatt Zeilen zu schreiben [NI]. Für das Kontrollsystem soll Python2 verwendet werden, eine Programmiersprache die zwar textbasiert ist, aber mit denen die meisten von unserem Team vertraut waren, und von ihnen als leicht erlernbar und übersichtlich betrachtet wird. Ein weiteres Ziel ist die Abstraktion des Experiments. Der Laborant soll während des Experiments möglichst mit physikalischen Größen konfrontiert werden anstatt mit Geräteparametern. Ein weiterer wichtiger Punkt sind Loggingprogramme, die auf diversen PCs laufen und unabhängig voneinander agieren können.

4.2 Architektur

Das Kontrollsystem wird von Computern verwaltet, die über das lokale Netzwerk miteinander verbunden sind und untereinander interagieren. Die Prinzip basiert auf den Client-Server-Modell; auf diversen Computer laufen Server Programme, die Datenbanken über die EBIT bereitstellen. Diese werden von anderen Server oder Klienten genutzt. Zur Realisierung benutzen wir EPICS [EPICS]. Es steht für *Experimental Physics and Industrial Control System* und ist nicht nur eine Software-sammlung, sondern auch eine Kontrollsystem-Architektur und eine Kollaboration. Es nutzt das Channel Access Protokoll, das auf dem Internetprotokoll IP basiert und arbeitet mit sogenannten Prozessvariablen, eine Sammlung von Informationen wie z.B. Spannung, Zeitstempel und Einheit. Der Zugriff erfolgt durch den Namen der Prozessvariable. Somit brauch sich der Nutzer nicht um den Standort des Computers zu kümmern. Der Typ einer Prozessvariablen ist entweder Fließkommazahl, Ganzzahl, Zeichenkette oder Aufzählung (*enum*). Dabei können sie auch als Feld (engl. *array*, eine Ansammlung gleicher Typen) auftreten. Die hier beschriebene Architektur bezieht sich nicht auf die interne EPICS Verfahrensweise, sondern dessen Anwendung.

Der Name der Prozessvariablen sind in der Regel in Großbuchstaben und setzen sich aus verschiedenen Präfixen und dessen Zuordnung wie Gerät oder Physikali-

sche Größe, alle durch Doppelpunkt getrennt, zusammen. Der erste Prefix ist dabei immer *HDEBIT*, während der zweite durch den Server festgelegt ist, wie z.B. beim Elektronenkanonenserver: *HDEBIT:EGUN:CATHODE:VOLTAGE:IST.VAL*. Einige Prozessvariablen gleichen sich bis zu einem Punkt, danach folgen einheitliche Bezeichnungen wie *VAL* oder *INTERLOCK:HIGH*. Sie bilden ein sogenanntes Rekord, eine Ansammlung von Prozessvariablen für eine Bestimmte Aufgabe. Die Bezeichnung nach dem Punkt bildet das Attribut zum Rekord. Tabelle 4.1 zeigt einige Attribute und ihre Aufgabe. Die her verwendeten Rekords gleichen nicht denen von [EPICSRecord], jedoch ähneln sie sich.

Attribut	Aufgabe	Beispiel
VAL	Ist-Wert	5.34
SET	Soll-Wert	600.0
LOW	erreichbares Minimum	0.0
HIGH	erreichbares Maximum	1000.0
EGU	Einheit	'V'

Tabelle 4.1: Einige Attribute

Das Kontrollsystem der HD-EBIT ist derart gestaltet, dass bestimmte Server eine Laborbox verwalten, die am selben PC angeschlossen ist. Andere Server oder Clienten greifen ausschließlich auf dem Server zu, um die Laborbox anzusteuern. Laborboxen sind dabei Geräte wie Boxen, an denen BNC Anschlüsse vorhanden sind, die analoge oder digitale Ein- oder Ausgänge realisieren, oder Multimeter. Sie selbst werden mit speziellen PC Karten angesteuert. Tabelle 4.2 zeigt die verwendeten Karten und deren Laborbox.

Karte	Laborbox	Spezifikationen
NI PCI-6229	Box mit analoge oder digitale BNC Ein- oder Ausgänge	32 analoge I-, 4 analoge O-, 48 digitale I/O-Kanäle, Aufnahme mit 250 kS/s, 16 Bit
NI PCI-6703	Box mit digitale BNC Ein- oder Ausgänge, analoge BNC Ausgänge	16 analoge O-, 8 digitale I/O-Kanäle, 16 Bit
PCI-GPIB	Keithley 2002 Multimeter	1 analoger Eingang, Auflösung bei 20V DC Bereich: 10 nV

Tabelle 4.2: Karten und Laborboxen

In dem hier verwendeten Kontrollsystem gibt es mehrere Ebenen von Servern: Labboxserver, Deviceserver und Taskserver bzw. -Clienten (Abb. 4.1). Die Labboxserver laufen auf dem selben Computern, mit denen auch Laborboxen verbunden sind und steuern diese an bzw. lesen sie aus. Sie kümmern sich nicht was daran an den Laborboxen angeschlossen ist oder wer sie ansteuert. Die Deviceserver hingegen

verwalten die Geräte, die an den Laborboxen angeschlossen sind, wie Netzteile, Spannungsteiler oder Ventile. Sie stellen die physikalischen Größen (Spannung, Strom, ...) im Netzwerk zur Verfügung, mit denen man letztendlich arbeiten will. Dazu nutzen sie die Labboxserver und rechnen die elektrische Spannung an einer oder mehreren Anschlussbuchsen zur gewünschten Größe um. Zuletzt gibt es noch die Taskserver, welche die Deviceserver oder Labboxserver gebrauchen um bestimmte abstrakte Aufgaben zu erledigen, wie ein Dump auf den Driftröhren oder eine Stabilisierung des Elektronenstrahlstromes.

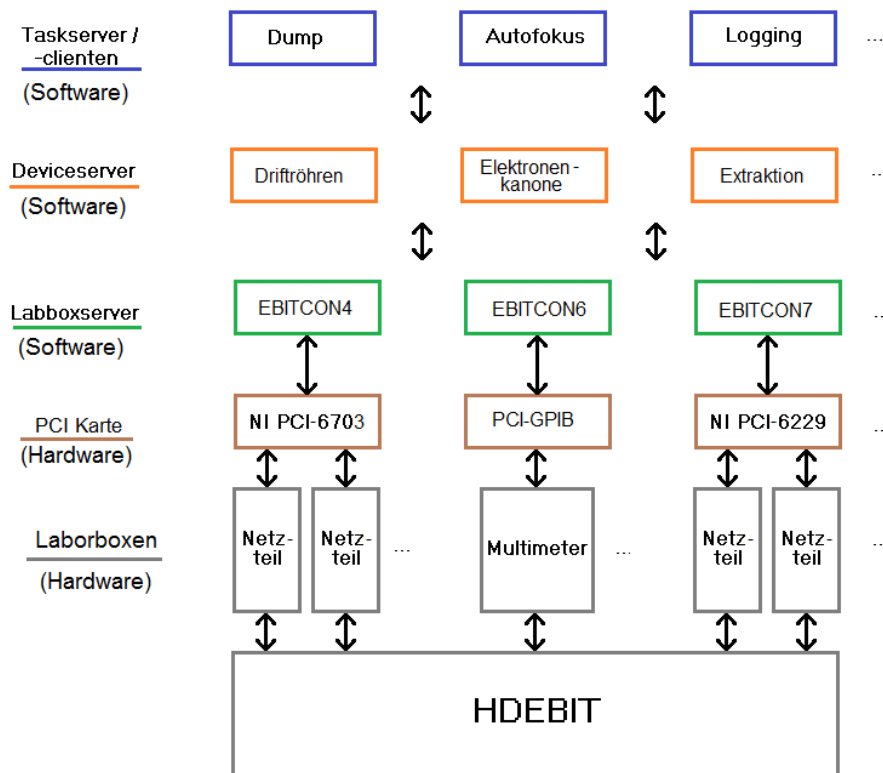


Abbildung 4.1: Verschiedene Serverebenen mit Beispielen

Neben den Servern gibt es auch Clients. Sie können ebenfalls Prozess Variablen lesen oder beschreiben, stellen jedoch keine Datenbank zur Verfügung. Somit haben sie keine eigenen Prozess Variablen. Dennoch können sie auch gewisse Aufgaben erfüllen und sind i.d.R. schneller zu programmieren. Sie können auf alle Server-Ebenen zugreifen. Eine Hauptanwendungen sind graphische Benutzeroberflächen (*graphical user interface*, kurz *GUI*), die einen visuellen Einblick und Kontrolle des Systems erlauben. Ein weiteres wichtiges Beispiel für ein Client wäre ein Logging Programm, das den Verlauf von Prozessvariablen protokolliert. Mehrere Logging Programme auf diversen Computern verringern die Wahrscheinlichkeit eines Datenverlustes, falls einer von ihnen ausfällt (was schließlich die Grundidee des Internets war).

Die Trennung zwischen den einzelnen Server-Ebenen ist nicht strikt und durch die EPICS Software auch nicht garantiert. Es ist vielmehr eine Richtlinie für eine einfache Kontrollstruktur. Ein konfliktfreier Ablauf liegt letztendlich bei den Laborarten, die sich untereinander absprechen und Regeln festlegen sollten.

EPICS beschränkt sich nicht auf eine einzige Programmiersprache, sondern kann in diversen genutzt werden. Hier wird Python2 verwendet, eine Interpretersprache, die zur Ausführung ein Skript benötigt. Zudem muss nur der Interpreter und sonstige benötigte Software auf den Computern installiert werden um ein Skript, das ohne weiteres portiert werden kann, auszuführen. Um EPICS mit Python2 zu benutzen, braucht man zusätzlich noch PyEPICS. Diese Programmbibliothek dient als Schnittstelle zwischen Python und EPICS [PyEPICS]. Des Weiteren wird noch die EPICS-Erweiterung PCASPy, auch eine Programmbibliothek, mit der sich EPICS-Server relativ einfach aufbauen lassen (Module *SimpleServer* und *Driver*) [PCASPy]. Der Programmierstil ist objektorientiert, d. h. es stehen Basisklassen zur Verfügung, die man zur eigenen Klasse ableitet, welche die geforderten Aufgaben erledigen kann. In diesem Fall wird der Standardserver verwendet. Dieser braucht eine Treiberklasse, die abgeleitet wird. Die erstellten Programmskripte zu den Servern beinhalten hauptsächlich die Ableitung der Treiberklasse. Das Hauptprogramm startet lediglich den Server, bindet die Treiberklasse ein und lässt servereigenen Interpreter laufen. Durch diesen Interpreter, der in der Treiberklasse definiert und implementiert ist, kann der Server per Kommandoingabe beeinflusst werden, wie das Lesen oder Beschreiben von Prozessvariablen, Starten oder Stoppen des Servers. Er dient lediglich als Hilfestellung, primär sollten die Server über das Netzwerk gesteuert werden.

4.3 Server und Clienten

Die Labbox- und Deviceserver bestehen grundsätzlich aus einem einheitlichen Skript mit einer Konfigurationsdatei, in der alle Konfigurationsparameter wie Kanalbenennungen drinn stehen, durch die sich die Server hauptsächlich unterscheiden. Die Labboxserver brauchen zusätzlich noch Skripte, um die Laborboxen korrekt anzusteuern. Dennoch sind einige Server-Skripte leicht verändert um ihre Aufgabe gerecht zu werden. Zum Beispiel der Deviceserver für die Elektronenkanone ändert den Umrechnungsfaktor des Spannungsteiler-Messgerätes jedes Mal wenn sich der Spannungsteiler auf einen anderen Wertebereich umschlägt (somit auch das Verhältnis der Widerstände zueinander). Im Deviceserver für die Extraktion sind zusätzliche Kanäle für Fokus, Astigmatismus, Horizontal und Vertikal, welche die Elektroden in der Silker-Linse mit linearen Superpositionen ansteuert. Die Taskserver erledigen spezielle Aufgaben, haben somit kein Einheitsprogramm oder Konfigurationsskript, jedoch wurden diverse Vorlagen geschrieben. Einige von ihnen haben ein internes Loggingprogramm, welches die wichtigsten Veränderungen mit Zeitstempel in eine externe Datei speichert.

Clienten können wie Server Prozessvariablen lesen, überwachen und beschreiben, haben aber keine eigene Datenbank. Sie haben aber den Vorteil, dass sie einfacher

und schneller zu schreiben sind, ein Minimalprogramm braucht nur wenige Codezeilen. Die hier verwendeten Clientprogramme haben keine Konfigurationsskript, alles wird in nur einem Skript, meistens in Großbuchstaben im Anfang, konfiguriert. Um die Fehlersuche zu erleichtern, haben sie in i.d.R. ein internes Loggingprogramm.

Die hier verwendeten Server haben grundsätzlich ein eigenes Rekord: *HDEBIT:(Serverprefix):SERVER.(Attribut)*. Tabelle 4.3 listet die einzelnen Attribute auf.

Serverebene	Attribut	Aufgabe	Beispiel
Beide	RUNNING	Flag ob Server läuft	1
Beide	KEEPER	Zeichenkette für Verantwortlichen	'D.Hollain Tel490'
Beide	SHUTDOWN	Flag um Server in Ausgangszustand zu versetzen	0
Deviceserver	INTERLOCK:BREAK	Flag ob ein Interlock ausgelöst wurde	1
Deviceserver	TIME	Laufzeit in s des Servers	300.6
Deviceserver	TIME:TDELAY	Zeitschritt in s um TIME zu aktualisieren	0.1
Deviceserver	RAMP:ON	Flag für Rampenfunktion (an/aus)	0
Deviceserver	RMAP:TDELAY	Zeitschritt in s für Rampenfunktion	0.01
Deviceserver	RAMP:TRUN	Flag ob Thread für Rampenfunktion noch läuft	1
Deviceserver	RAMP:CHANGE	Flag ob Rampenfunktion gerade an- oder abgeschaltet wird	0

Tabelle 4.3: Servereigene Attribute

Die Deviceserver sind auf Ausfälle der Labboxserver vorbereitet. Falls ein Labboxserver ausfällt, können sämtliche Prozessvariablen mit dem Attribut *VAL*, die damit verknüpft sind, nicht mehr verändert werden. Die mit dem Attribut *SET* dagegen schon. Falls der Labboxserver wieder online ist, werden seine Kanäle entsprechen vom Deviceserver wieder auf die richtigen Werte geladen. Beim Start eines Deviceservers lädt er automatisch sämtliche Kanäle von den Labboxservern, die er benötigt, und beschreibt seine eigenen Prozessvariablen mit den umgerechneten Werten. Der Ausfall eines Deviceservers hingegen kümmert den Labboxserver nicht.

Schicht	Skriptname	Beschreibung
Labboxserver	labbox_server_08.py labbox_server_08_2.py	Steuert NI6229 NI6703 Karten und GPIB Karte für Keithly 2002 Multimeter Steuert nur NI6229 und NI6703 Karten
Deviceserver	device_server_08.egun.py device_server_08.dt.py device_server_08.extraction.py	Steuert Elektronenkanone Steuert Driftröhren Steuert Ionenextraktion
Taskserver	task_server_02.dump_02.py task_server_source_to_target_linear_02.py	Steuert den Dump der Driftröhren Steuert den analogen Eingang für den MPA1C Kanal des Datenaufnahmesystems

Tabelle 4.4: Server diverser Ebenen

Skriptname	Beschreibung
full_dump_01.py	Macht einen speziellen Dump auf den Driftröhren (alle Spannungen nach einander hoch, warten und zurück)
zeitmittelwert_pv_01.py	Zeigt einen bestimmten Mittelwert einer Prozessvariable an
egun_anode_special_interlock_01.py	Spezielles Interlock (löst Interlock aus falls Anodenstrom für bestimmte Zeit außerhalb des erlaubten Bereiches liegt)
egun_extractor_special_interlock_01.py	Spezielles Interlock (löst Interlock aus falls Extraktorstrom für bestimmte Zeit außerhalb des erlaubten Bereiches liegt)

Tabelle 4.5: Client-Skripte

4.4 Implementierung der Server

Dieser Abschnitt handelt von der Implementierung der Labbox- und Deviceserver. Die Programmiersprache ist wie oben erwähnt Python2.7. Auch hier wird nicht auf EPICS-interne Arbeitsweisen eingegangen, sondern deren Anwendung.

4.4.1 Labboxserver

Die Labboxserver benötigen zunächst Skripte, um die PCI-Karten korrekt anzusteuern. Diese Skripte (*labbox_ni_01.py* und *labbox_gpib_01.py*) enthalten Klassen mit Methoden, die für das Initialisieren, Auslesen oder Beschreiben von Kanälen zuständig sind. Bevor der Labboxserver startet, lädt er die Kanalnamen aus der Konfigurationsdatei und initialisiert sie mit Hilfe dieser Klassen. Jede PCI-Karte wird vom einem eigenen Python-Thread behandelt. Er durchläuft permanent eine Schleife wobei Eingänge ausgelesen und Ausgänge beschrieben werden. Lesen und Schreiben erfolgt somit nicht auf Anfrage.

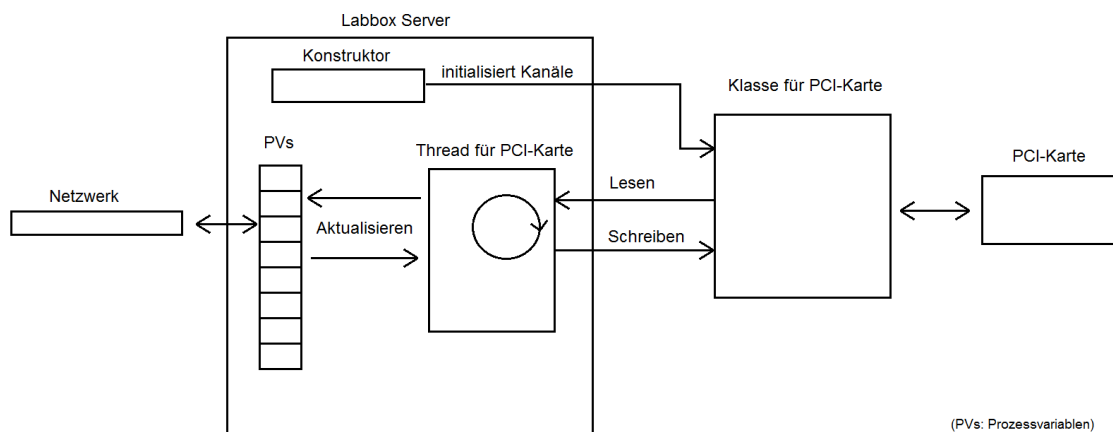


Abbildung 4.2: vereinfachte Darstellung vom Labboxserver

4.4.2 Deviceserver

Deviceserver verwenden *callbacks*, sogenannte Rückruffunktionen, um Labboxserver anzusteuern. Prozessvariablen für Lesekanäle werden ab dem Start des Deviceservers automatisch überwacht (mit der EPICS Funktion *camonitor*). Für jede Änderung am Wert wird die Rückruffunktion gestartet, die die entsprechende Prozessvariable im Deviceserver entsprechend umrechnet (üblicherweise durch Multiplikation mit einem Umrechnungsfaktor) aktualisiert. Umgekehrt funktioniert es mit Prozessvariablen für Schreibkanäle. Hier werden sie vom Deviceserver überwacht und die Rückruffunktion aktualisiert den Labboxserver. Als Sicherung gegen falsche Handhabung werden auch die Prozessvariablen für Schreibkanäle vom Deviceserver aus überwacht und zurückgeändert, falls sie von jemand anders falsch beschrieben werden.

Zudem werden die eigenen Prozessvariablen noch aus Sicherheitsgründen überwacht. Falls der Wert einer Prozessvariablen außerhalb des geeigneten Interlock-Intervalls gerät, wird ein Interlock ausgelöst, d.h. der Server beschreibt seine Prozessvariablen mit ihren Notwerten, blockiert das Beschreiben und schickt eine E-Mail mit entsprechenden Informationen. Ob und bei welcher Prozessvariablen eine derartige Überwachung, Schreibblockade, Reset ausgelöst werden soll oder an wen die EMail geschickt wird, ist der Konfigurationsdatei entnommen. Der Deviceserver besitzt außerdem noch eine interne Rampenfunktion, welche sich vor allem Kalibrations- und Testphasen als hilfreich erwiesen hat. Ist sie aktiv, fährt der VAL-Wert nicht sprunghaft gegen den SET-Wert eines Rekords, sondern mit einer bestimmten Rate.

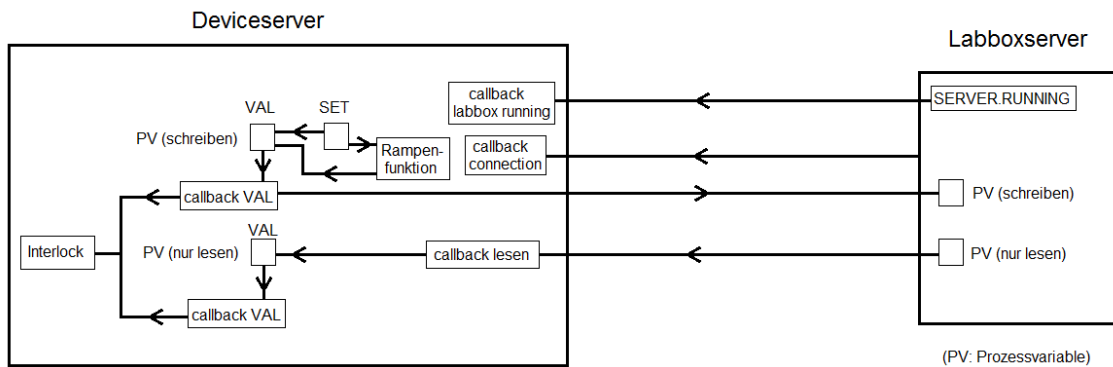


Abbildung 4.3: vereinfachte Darstellung vom Deviceserver

4.5 Graphische Benutzeroberflächen

Graphische Benutzeroberflächen (englisch *graphical user interface* oder GUI) erlauben eine graphische Kontrolle. Sie wurden mit dem Programm caQtDM erstellt, das einen einfachen Design per Drag&Drop, anbietet. Tabelle 4.6 zeigt die verwendeten GUIs. Für jedes wurde noch ein weiteres mit der Endung „-watchonly“ erstellt. Hierfür wurde das Original so umgeändert, dass keine Eingaben mehr möglich sind. Das reduziert die Gefahr unabsichtlich falsche Eingaben weiterzuleiten.

Dateiname	Beschreibung
caqtdm_egun_control_05.ui	GUI für Elektronenkanone
caqtdm_hv_control_03.ui	GUI für Hochspannungskontrolle (Bias für Elektronenkanone und Driftröhren)
caqtdm_dt_control_07.ui	GUI für Driftröhren
caqtdm_extraction_control_03.ui	GUI für Ionenextraktion

Tabelle 4.6: Graphische Benutzeroberflächen, Dateiname (1. Spalte) mit Beschreibung (2. Spalte)



Abbildung 4.4: Screenshot Graphischer Benutzeroberflächen für Historie diverser Ströme für etwa 20 min (links) und Elektronenkanonensteuerung (rechts)

5 Messung

5.1 Vermessung Radiativer und Dielektronischer Rekombination von Iridium

In dieser Arbeit wurden radiative und dielektronische Rekombinationsenergien von hochgeladenen Iridiumionen vermessen. In der HD-EBIT wird eine Wolke von hochgeladenen Iridiumionen erzeugt. In ihr finden diverse Stoßprozesse (siehe Kap. 2) wie radiative und dielektronische Rekombination statt. Die so ausgestrahlten Photonen gelangen zum Röntgendetektor, der ihre Energie misst und sie zum Datenaufnahmesystem weiterleitet. Während den Messungen wurde die Elektronenstrahlenergie variiert. Ihr Signal wird zusammen mit dem Detektorsignal getriggert und zum Datenaufnahmesystem weitergeleitet (Abb. 5.1). Der Elektronenstrahlstrom wurde während einer Messung konstant gehalten.

Die Ereignisse sind in einem Photonenenergie-Elektronenstrahlenergie-Diagramm zusammengefasst. Durch die radiative Rekombination ergeben sich Streifenmuster, ideal mit einer Steigung von eins, da ihre Photonenenergie die Summe von Ionisationsenergie (bleibt konstant) und kinetische Energie (wird variiert) des Elektrons entspricht. Die dielektronische Rekombination hingegen sorgt für ein punkartiges Muster, da sie resonanter Natur ist. Photonen- und Elektronenstrahlenergie sind hierbei fest. Diese Prozesse sind noch mit Breiten behaftet. Diese stammen von der natürlichen Linienbreite und der experimentellen Apparatebreite, welche Doppereffekt und Messungenauigkeit zusammenfasst. Es wird angenommen, dass die Apparatebreite für alle Resonanzen einer Messung gleich bleibt. Zuletzt sind die Messwerte noch mit Rauschen (Streulicht und Dunkelstrom und andere Störeffekte) behaftet.

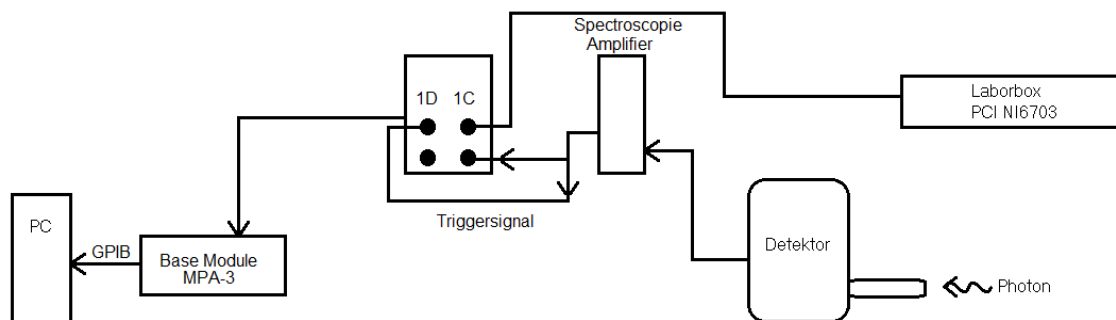


Abbildung 5.1: Schematische Darstellung der Datenaufnahme

5.2 Messparameter

Alle Messungen wurden an der HD-EBIT zwischen 26.06.2014 und 08.07.2014 durchgeführt. Vorherige- und Testmessungen werden bei dieser Arbeit nicht ausgewertet. Die Tabellen 5.1 und 5.2 zeigt alle für die Auswertung relevanten Messungen inklusive sämtliche Parameter.

5.3 Kalibration

5.3.1 Kalibration der Photonenenergie

Der Datenaufnahmesystem klassifiziert Photonen- und Elektronenstrahlenergie in Kanälen, jeweils 8192 Stück. Um sie Energien zuzuordnen, müssen Kalibrationsmessungen vorgenommen werden. Die Photonenenergiekanäle sind mit dem radioaktiven Element ^{241}Am kalibriert. Dazu wurde die Quelle vor dem Detektor positioniert und dieser hat ein Spektrum aufgenommen, welches charakteristische Linien aufweist, die mit Gaußprofilen gefittet wurden (wie in Abb. 5.4). Für einfache Peaks wurde die Fitfunktion $GF(x)$ aus Gleichung 5.1 genommen.

$$GF(x) = \frac{A}{\sqrt{2\pi}\sigma} \times \exp\left(-\frac{(x - \mu)^2}{2\sigma^2}\right) + y_0 \quad (5.1)$$

A entspreche dabei der gesamten Fläche zwischen Graph und Abszisse, μ dem Peaksschwerpunkt, σ der Standardabweichung und y_0 dem Offset, also einem konstanten Hintergrund.

Einige Resonanzen liegen so nahe beieinander, dass die Fitfunktion einem Doppelpack entspricht (siehe Abb. 5.2). Dazu wird zu der Fitfunktion einfach ein weiteres Gaußprofil dazu addiert. Gleichung 5.2 zeigt diese Funktion ($DGF(x)$).

$$DGF(x) = \frac{A1}{\sqrt{2\pi}\sigma1} \times \exp\left(-\frac{(x - \mu1)^2}{2\sigma1^2}\right) + \frac{A2}{\sqrt{2\pi}\sigma2} \times \exp\left(-\frac{(x - \mu2)^2}{2\sigma2^2}\right) + y_0 \quad (5.2)$$

Den Peaksschwerpunkten wurden Linien aus dem bekannten ^{241}Am -Spektrum (Abb. 5.3) zugeordnet.

Die ersten drei Einzelmessungen (D1-D3) sowie die letzten zwei (D4, D5) sind aufaddiert. Die zugeordneten Wertepaare (Peaksschwerpunkt vom aufgenommenen Spektrum, Photonenenergie) sind in Abbildung 5.5 gegeneinander aufgetragen. Ihr Verlauf zeigt ein lineares Verhalten, weshalb auch eine Lineare Funktion angefitet wurde. Die Residuen weisen keinen Trend auf, somit wurde die lineare Kalibration beibehalten. Tabelle 5.5 listet die Kalibrationsfunktionen auf.

5.3.2 Kalibration der Elektronenstrahlenergie

Die Kalibration der Elektronenstrahlenergie ist dagegen aufwändiger. Dielektronische Resonanzen würden sich analog zum ^{241}Am -Spektrum dazu eignen, jedoch wer-

Nr.	Beginn	Ende	t (min)	N	Mess- ziel	Abbruch	Folie	X- Kali	Y- Kali
1	26.06.2014 17:28	27.06.2014 00:43	437	8	DR	Programm abbruch	Al	D1,2,3	C7
2	27.06.2014 00:55	27.06.2014 08:41	466	10	DR	Manuell	Al	D1,2,3	C7
3	27.06.2014 18:06	27.06.2014 22:15	249	6	DR	Manuell	Al	D1,2,3	C7
4	27.06.2014 22:33	28.06.2014 06:05	452	9	DR	Icoll instabil	Al	D1,2,3	C7
5	28.06.2014 10:21	28.06.2014 18:22	480	10	DR	Manuell	Al	D1,2,3	C7
6	28.06.2014 20:46	29.06.2014 17:49	1263	51	Kante, W	Interlock	W	D1,2,3	C8
7	29.06.2014 21:31	29.06.2014 23:34	123	6	Kante, W	Manuell	W	D1,2,3	C8
8	02.07.2014 17:09	02.06.2014 23:30	381	18	Kante, Ta	Interlock	Ta	D4,5	C9
9	03.07.2014 16:12	04.06.2014 08:53	1001	22	DR	Manuell	Al	D4,5	C7
10	04.07.2014 17:41	05.06.2014 14:27	1246	21	DR	Manuell	Al	D4,5	C2
11	05.07.2014 16:10	05.06.2014 17:14	64	3	Kante, Al	Manuell	Al	D4,5	C4
12	06.07.2014 00:22	06.06.2014 06:56	394	17	Kante, Ta	Interlock	Ta	D4,5	C4
13	06.07.2014 14:39	07.06.2014 09:26	1127	49	Kante, Ta	Manuell	Ta	D4,5	C4
14	07.07.2014 18:19	07.06.2014 22:38	295	6	DR, Strom	Manuell	Al	D4,5	C5
15	07.07.2014 22:43	08.06.2014 05:18	395	8	DR, Strom	Manuell	Al	D4,5	C5
16	08.07.2014 05:25	08.06.2014 10:48	323	7	DR, Strom	Manuell	Al	D4,5	C5
17	08.07.2014 10:54	08.06.2014 13:18	144	3	DR, Strom	Manuell	Al	D4,5	C5

Tabelle 5.1: Parameter der Messungen. Nr: allgemeine Mess-Nummer, Beginn/Ende: Datum und Uhrzeit vom Start/Stop der Messung, t: Gesamtmesszeit, N: Anzahl der Einzelmessungen, die aufaddiert werden, Messziel: DR: für DR Messung, Kante: für RR Messungen, Strom: für Raumladungsmessung (Verschiebung des Peakschwerpunktes gegen den Strom), Abbruch: Art des Abbruches der Messung: Programmabbruch: Messprogramm hat selbst abgebrochen (Absturz), Manuell: Abbruch durch Laborant, Interlock: Interlock wurde ausgelöst, nachfolgende Messungen bleiben unbeachtet, bis Problem behoben wurde, Folie: Forlie vor dem Detektor: Aluminium, Wolfram oder Tantal, X-Kali: Nummer der Kalibration für Beschleunigungsspannung, Y.Kali: Nummer der Kalibration für Phtotonenenergie

Nr.	I_{coll} (mA)	U_{eb} (kV)	U_{ee} (kV)	U_c (kV)	U_a (kV)	U_{ex} (kV)	SMIN (kV)	SMAX (kV)
1	250	33	40	1,5	1	2,4	41	49
2	250	33	40	1,5	1	2,4	41	49
3	200	33	40	1,5	1,1	2,4	41	49
4	250	33	40	1,5	1,1	2,4	41	49
5	150	33	40	1,5	1,1	2,4	41	49
6	230	38	41,5	1,5	1,1	2,4	46,5	50,5
7	230	38	41,5	1,5	1,1	2,4	46,5	50,5
8	230	39	42	1,5	1,2	2,4	47	51
9	230	33	40	1,5	1,2	2,4	41	49
10	100	33	40,5	1,5	1,2	2,4	41	49,5
11	230	39	42	1,5	1,2	2,4	47,5	51
12	150	39	42	1	1	1,1	47,5	51
13	150	39	42	1	0,8	1,1	47,5	51
14	80	38	41,5	1	0,8	1,1	46,1	50
15	50	38	41,5	1	0,8	1,1	46,1	50
16	125	38	41,5	1	0,8	1,1	46,1	50
17	175	38	41,5	1	0,8	1,1	46,1	50

Tabelle 5.2: EGUN Parameter der Messungen. Nr: allgemeine Mess-Nummer, I_{coll} : Kollektorstrom, ($U_{eb,ee}$: minimale/maximale Spannung der Elektronenkanonenplattform, U_c : Kathodenspannung, U_a : Anodenspannung, (U_{ex} : Extraktorspannung (der Elektronenkanone), SMIN/SMAX: minimale/-maximale Beschleunigungsspannung für Datenaufnahmesystem

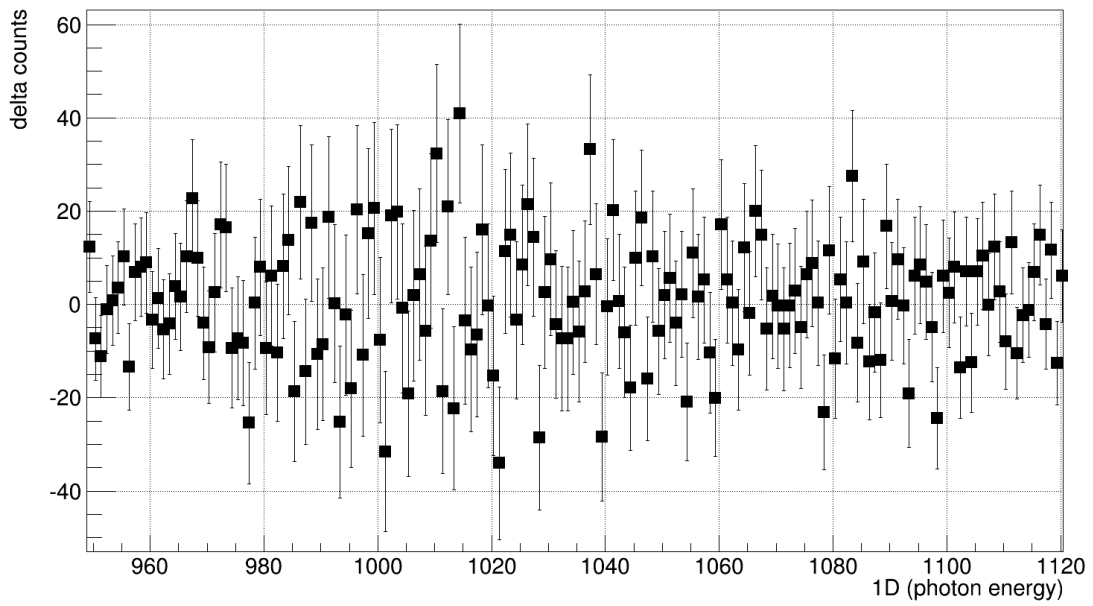
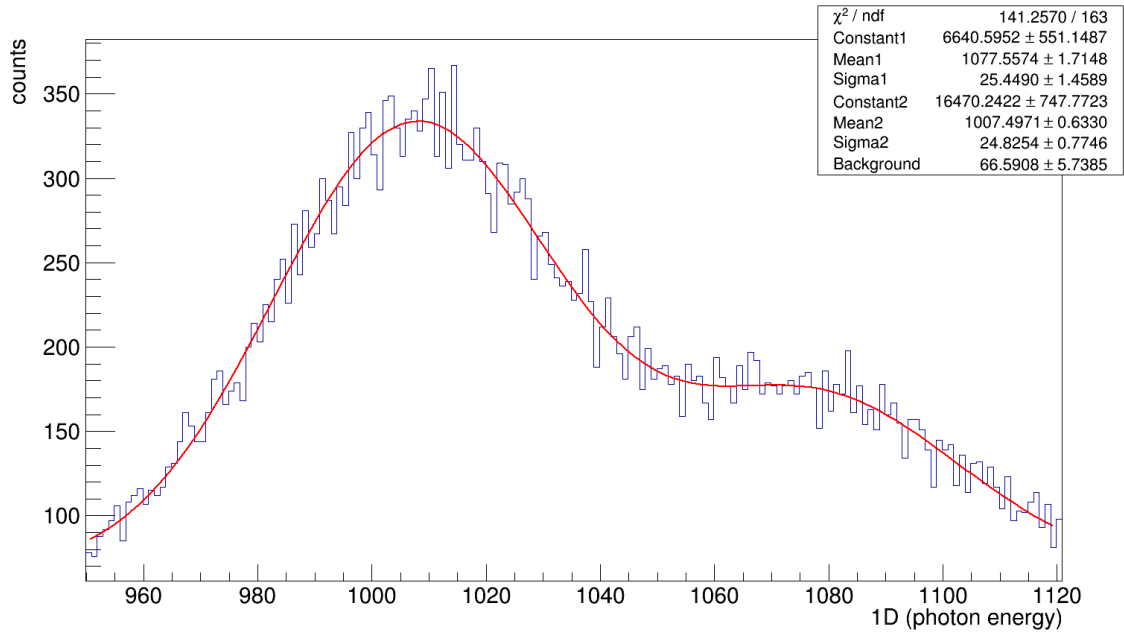


Abbildung 5.2: Doppelfit zweier naheliegender Peaks aus Photonenenergie-Kalibrationsmessung D1,D2,D3 (alle aufaddiert). Die Fitergebnisse sind rechts oben zu sehen: χ^2/NDF ist das Chi-Quadrat / Anzahl der Freiheitsgrade, Constant(i) die totale Peakfläche, $\mu(i)$ der Peaksschwerpunkt, Sigma(i) die Standardabweichung, Background der konstante Hintergrund und (i) die Peaknummer (1 für linken, 2 für rechten Peak)

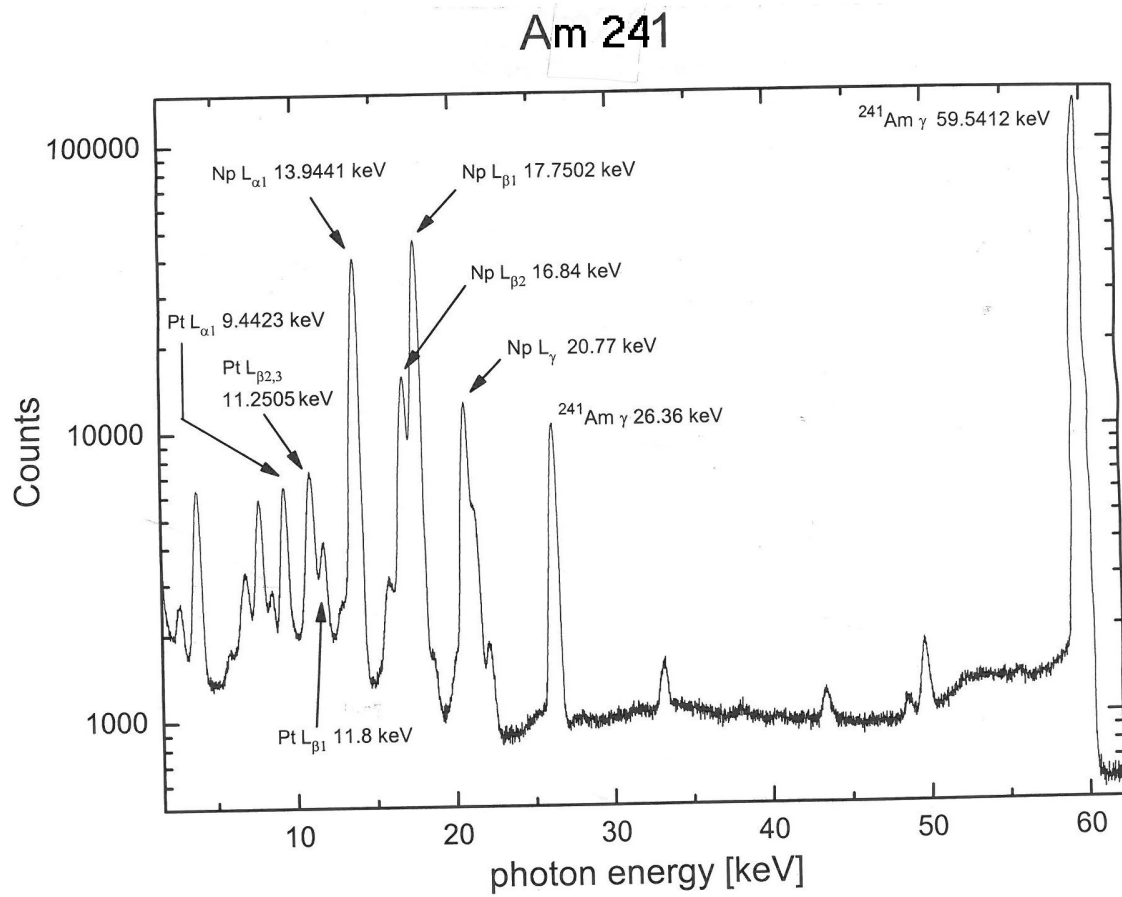


Abbildung 5.3: Bekanntes Spektrum von Am241

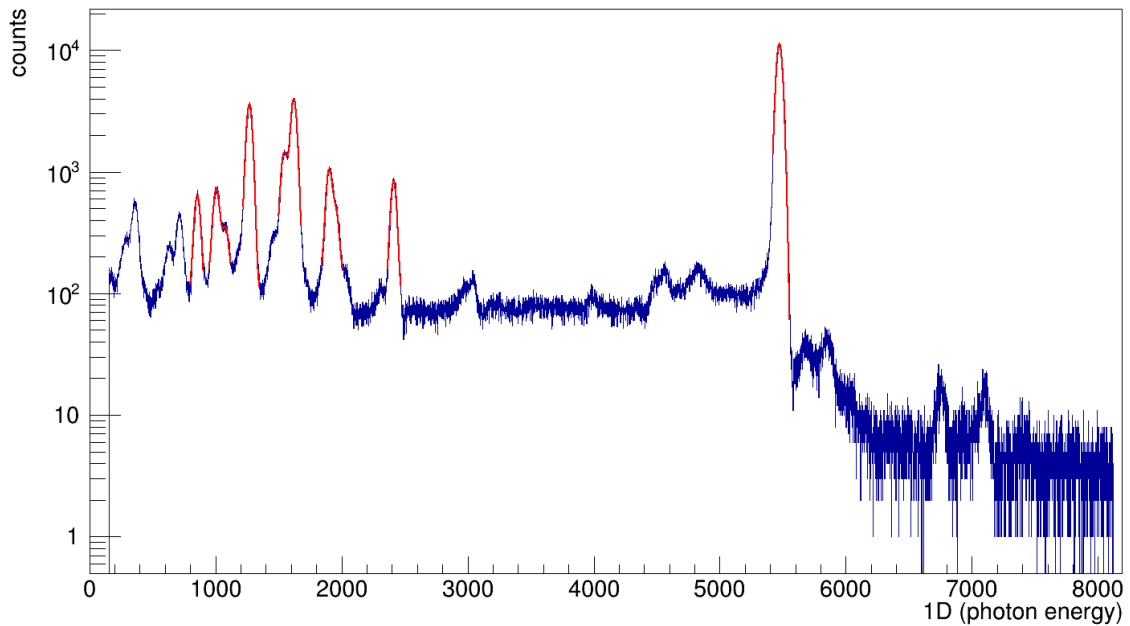


Abbildung 5.4: aufgenommenes Am-Spektrum von Y-Kalibration D1-D3 (blau) mit Gaußfits (rot), Energie hat logarithmische Skala

den sie in dieser Arbeit vermessen. Stattdessen wurden spezielle Kalibrationsmessungen vollzogen. Zuerst wurde die Beschleunigungsspannung der Elektronen im Fallenbereich kalibriert, danach eine Raumladungskorrektur durchgeführt.

Kalibration der Beschleunigungsspannung

Die Beschleunigungsspannung des Elektronenstrahls im Fallenbereich wurde ähnlich wie die Photonenenergie kalibriert, nur dass das charakteristische Spektrum der Spannung selbst erstellt wurde. Auf dem Kanaleingang des Datenaufnahmesystems wurde eine analoge Spannung gesetzt, die mit der Beschleunigungsspannung der Elektronen im Fallenbereich linear zusammenhängt (Abb. 5.1).

$$U_{Kanaleingang} = m \times U_{acc} + b \quad (5.3)$$

U_{acc} ist die Beschleunigungsspannung nach Gleichung 3.1. Die Spannungen der Fallen-Driftröhre (DT9) und Driftröhrenplattform wurde von Spannungsteiler der Driftröhren zusammen gemessen, die der Elektronenkanonenplattform von einem anderen Spannungsteiler und die Kathodenspannung vom Netzteil dafür selber. Diese drei Geräte werden vom Kontrollsystem (siehe Kap. 4) ausgelesen. Die Spannung am Kanaleingang wurde von einem Server generiert. Die Parameter m und b für den Kanaleingang sind so gewählt, dass im Beschleunigungsspannungsbereich, die

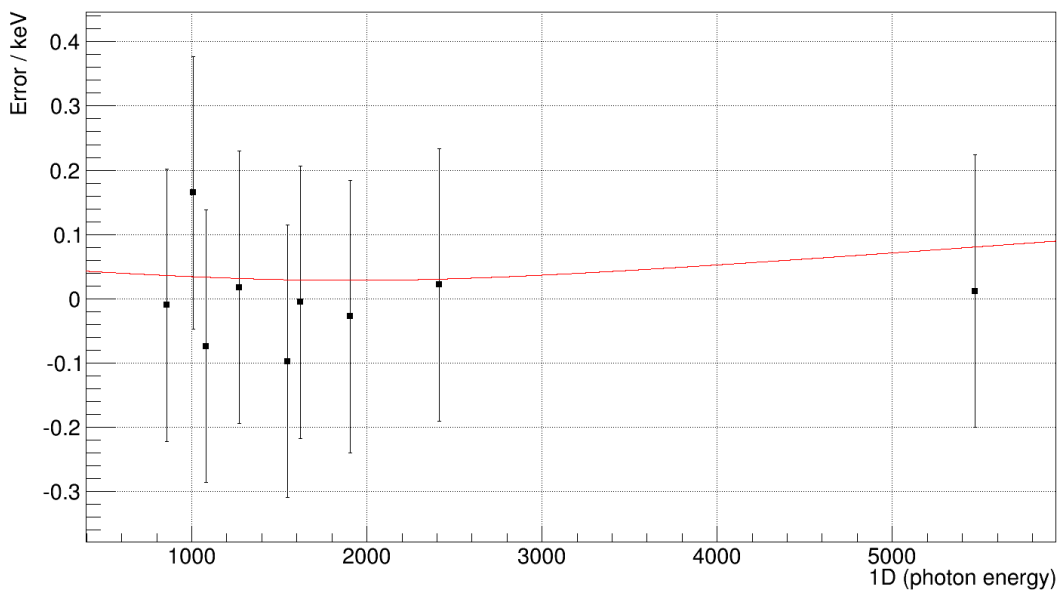
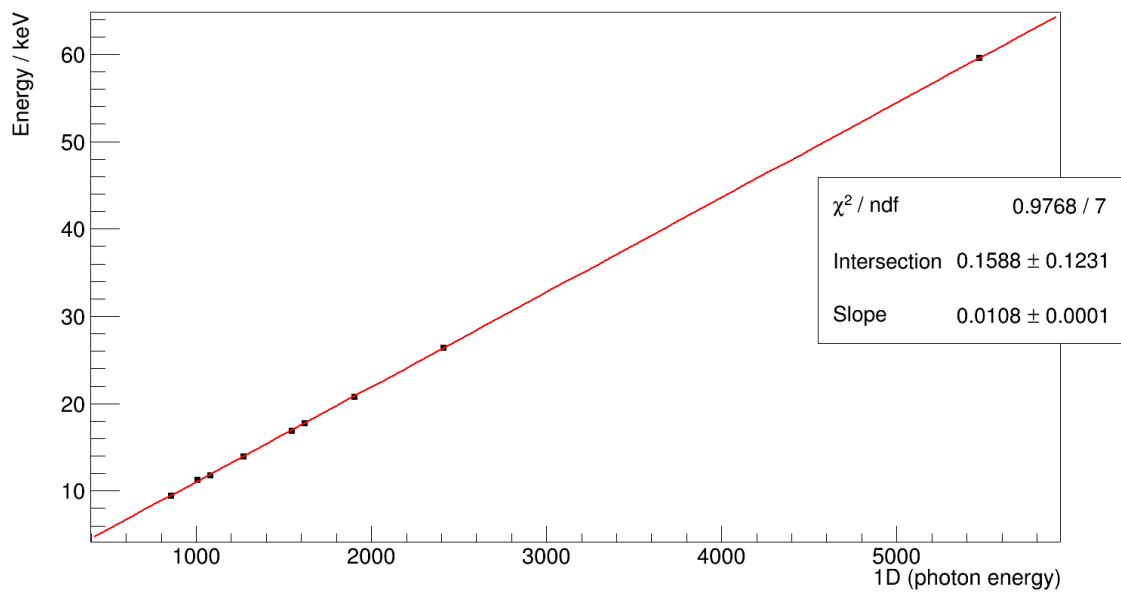


Abbildung 5.5: Y-Kalibration von D1-D3, Kanäle gegen Energie aufgetragen, links: Wertepaare (schwarz) mit Fitfunktion (rot), rechts: Residuen (schwarz) mit 68% Vertrauensband (rot)

Grenzen in 5.2 als $SMIN$ und $SMAX$ bezeichnet sind und der Kanaleingang von 1 V bis 9 V variiert.

$$m = (9V - 1V)/(SMAX - SMIN) \quad (5.4)$$

$$b = 1V - m \times SMIN \quad (5.5)$$

Um eine Kalibrationskurve zu erstellen, wurde Beschleunigungsspannung sprunghaft verändert und von einem Loggingprogramm mitgemessen, sodass sich Spektren mit einer bestimmten Anzahl an Peaks ergebenen. Das Spektrum vom Datenaufnahmesystem weist ein ähnliches Spektrum mit den selben charakteristischen Peaks auf. Abbildung 5.6 zeigt ein jeweils ein Spektrum vom Datenaufnahmesystem und vom Loggingprogramm. Die charakteristischen Peaks wurden mit Gaußfunktionen wie in der Photonenenergiekalibration gefittet.

Auch hier wurden die Wertepaare gegeneinander aufgetragen und mit einer linearen Funktion gefittet (siehe Abb. 5.7). Tabelle 5.7 enthält alle Kalibrationsfunktionen.

Diese Kalibration gibt nicht gänzlich der Elektronenstrahlenergie wieder, da noch Raumladungseffekte vom Elektronenstrahl hinzugezogen werden müssen.

Raumladungskorrektur

Die Raumladung wird durch den Elektronenstrahl selbst hervorgerufen. Er ist negativ geladen und bremst die ankommenden Elektronen ab. Dieser Effekt wird durch die positiv geladene Ionenwolke teilweise kompensiert. Man nimmt an, dass vom Raumladungseffekt die Anteile der Elektronen und der Ionenwolke unabhängig vom Strom sind, der gesamte Effekt allerdings proportional zum Strom und antiproportional zur Geschwindigkeit der Elektronen (siehe Kap. 3). Zur Berechnung der raumladungskorrigierten Elektronenstrahlenergie wird Gleichung 3.8 verwendet.

Hierfür werden bei verschiedenen Strömen Elektronenstrahlenergie-Peakschwerpunkte dreier Peaks vermessen (per Gaußfits) und gegen den Strom aufgetragen (siehe Abb. 5.9). Es ergibt sich nahezu eine Gerade, die zu einem Strom von 0 mA extrapoliert wird. Die Steigung und die korrigierte Energie von den einzelnen Peaks wurde gemittelt. Abbildung 5.8 zeigt diese genutzten Peaks bei Messung Nr. 9 (Strom=230mA)

$$\text{Raumladungssteigung} = (3.734 \pm 0.024) \times 10^{-4} \frac{keV}{mA} =: S_{sp} \quad (5.6)$$

$$\text{korrigierteEnergie} = (47.4320 \pm 0.0004) keV =: E_{sp} \quad (5.7)$$

Die Raumladungskorrektur beträgt für Messung Nr. 9 (siehe DR Messung) ungefähr 90 eV. Bei ca. 45 keV Gesamtenergie entspricht das einen relativen Anteil von nur 0,2 %. Somit kann die Näherung in Gleichung 3.8 angewandt werden. Abbildung 5.10 zeigt die Differenz von der unkorrigierten zur raumladungskorrigierten Elektronenstrahlenergiekalibrierung in Abhängigkeit der Elektronenstrahlenergie.

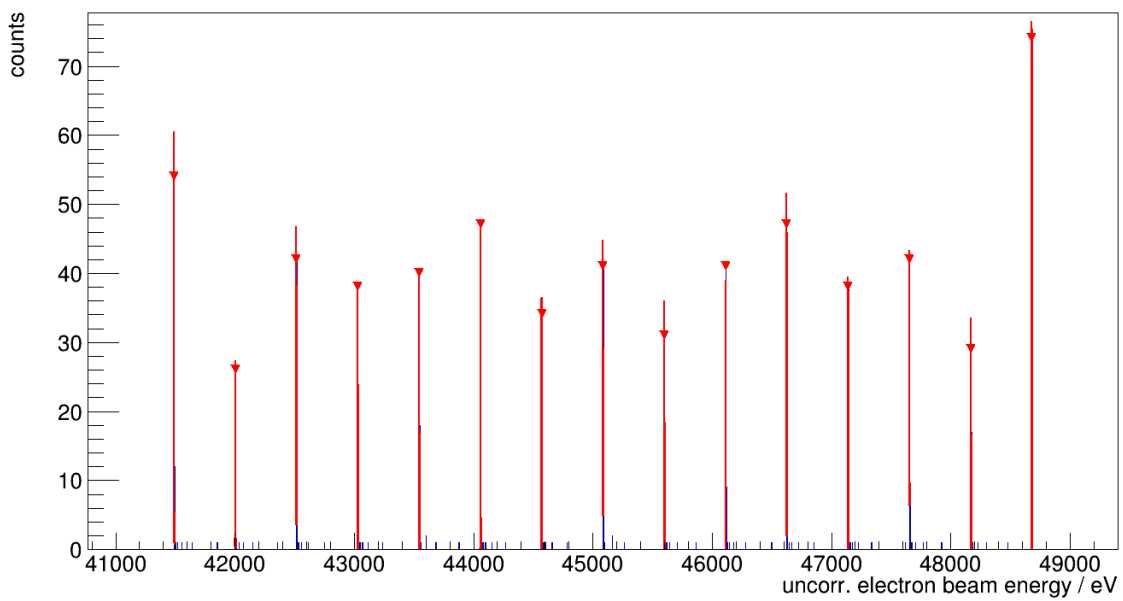
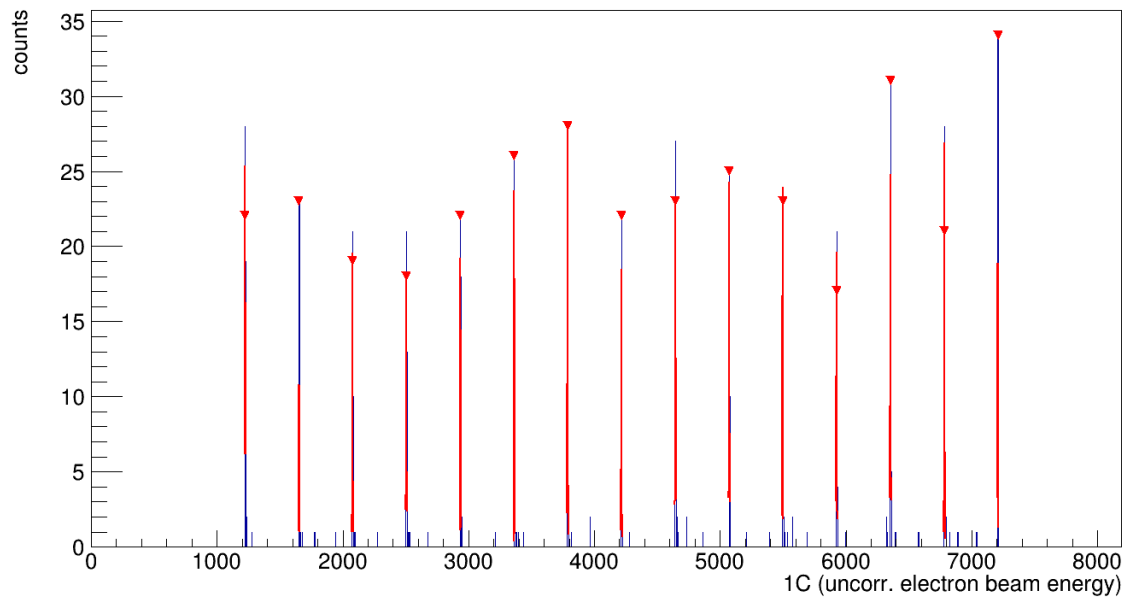


Abbildung 5.6: X-Kalibration Spektren von Nr. 7 vom Datenaufnahmesystem (links) und vom Loggingprogramm (rechts), rote Linie: Gauß-fitfunktion, blau: Rohdaten, roter Pfeil: gefundener Peak (vom Auswertungsprogramm)

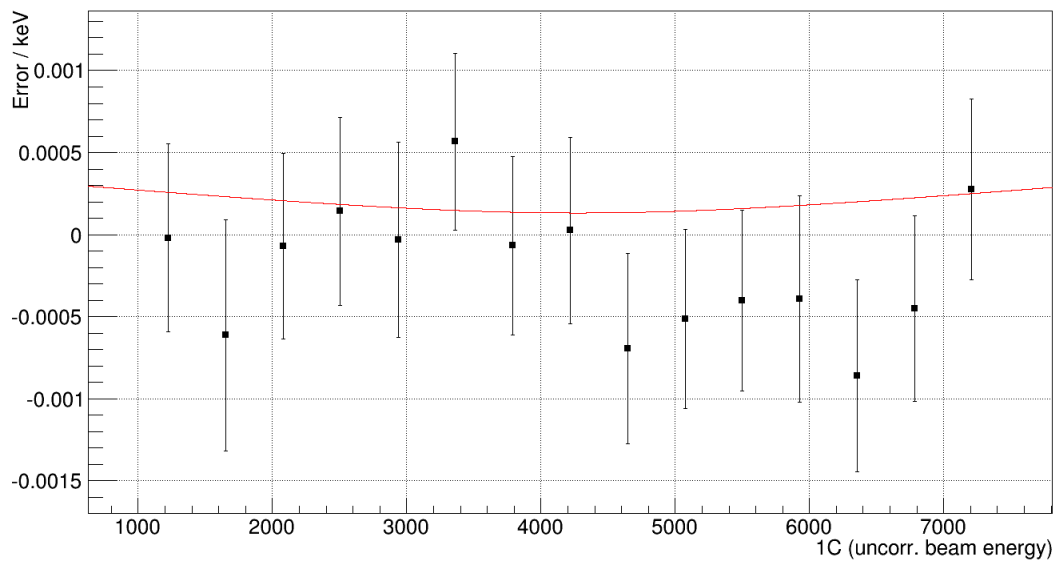
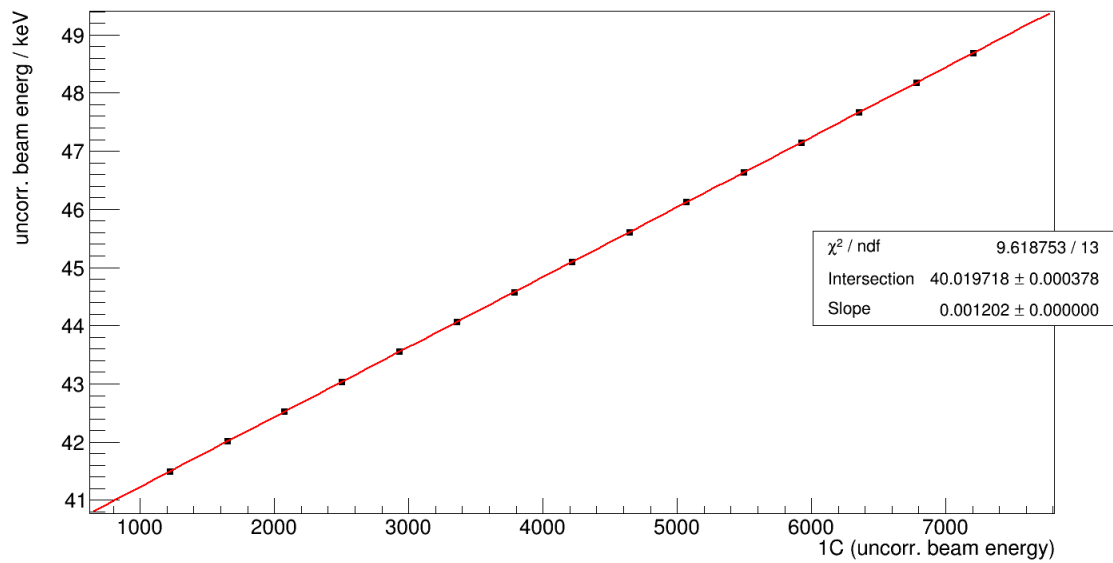


Abbildung 5.7: X-Kalibration von C7, Kanäle gegen Energie (noch nicht Raumladungskorrigiert, entspricht somit Beschleunigungsspannung) aufgetragen, links: Wertepaare (schwarz) mit Fitfunktion (rot), rechts: Residuen (schwarz) mit 68% Vertrauensband (rot)

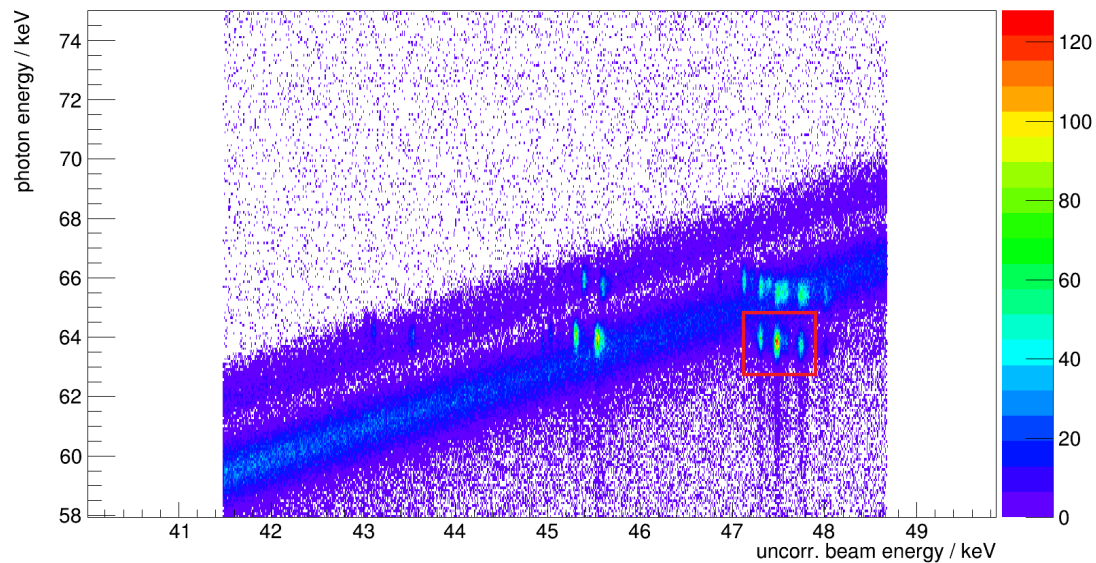


Abbildung 5.8: Messung Nr. 9 für DR Vermessung bei einem Elektronenstrahlstrom von 230 mA. Die Peaks für die Raumladungsermittlung sind rot eingrahmt.

Fehlerbehandlung

Ein Ziel der Auswertung ist es, die gemessenen Energiewerte mit systematischen und statistischen Fehler zu versehen. Ein relativ geringer statistischer Fehler zeigt, dass die Messung genügend Statistik hat, jedoch eine verbesserungswürdige Systematik. Im umgekehrten Fall ist die Systematik in Ordnung, jedoch wurden zu wenig Daten gesammelt. Durch solche Informationen lassen sich künftige Messungen optimieren. Generell gilt, dass sich statistische Fehler eben durch mehr Daten verringern lassen, z.B. durch längere Messzeiten.

Schon in die Kalibration der Photonenenergie gehen systematischer und statistischer Fehler mit ein. Die Fehlerangaben der Kalibrationslinien sind systematischer Natur. Zu dem eigentlichen Fehler wird noch die Detektorauflösung von ca. 500 eV quadratisch hinzuaddiert. Vom aufgenommenen Spektrum sind Peaks gefittet. Ihre Peaksschwerpunkte bilden das Pendant zu den Linien, welche mit statistischen Fitfehlern behaftet sind. Aus dem Fit der Kalibrationslinie geht auch das 68%-Vertrauensband hervor. Es beschreibt den Fehler der Kalibrationslinie, der sowohl systematischen als auch statistischen Fehler enthält. Um den systematischen Fehler daraus abzuschätzen, wird der systematische Anteil der Rohdaten genutzt. Der systematische Anteil f_{syst} ([Hollain, 2012]) ist hier definiert als:

$$f_{syst} := \frac{E_{syst}^2}{E_{syst}^2 + E_{stat}^2}. \quad (5.8)$$

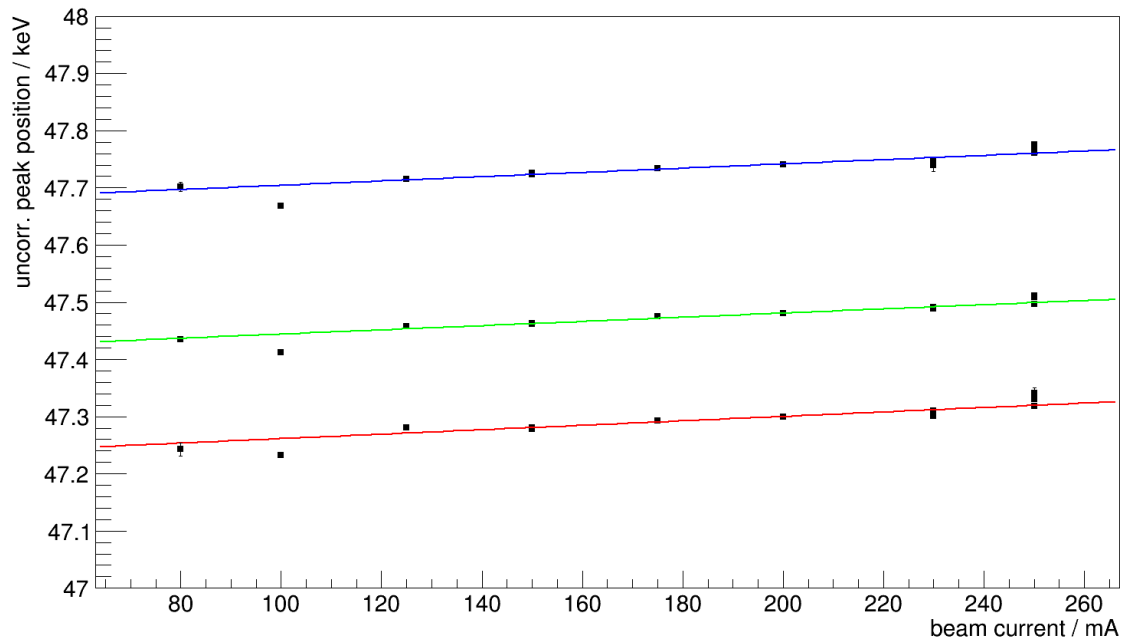


Abbildung 5.9: Peakschwerpunkte bei verschiedenen Strömen. Einige Messpunkte liegen nahe beieinander. Die Geraden sind lineare Fits dazu. Blau: Peak Nr. 32, Grün: Peak Nr. 28, Rot: Peak Nr. 23. Steigung und Achsenabschnitt mitteln sich zu $3.734(24) \times 10^{-4}$ keV/mA bzw. 47.4320(4) keV.

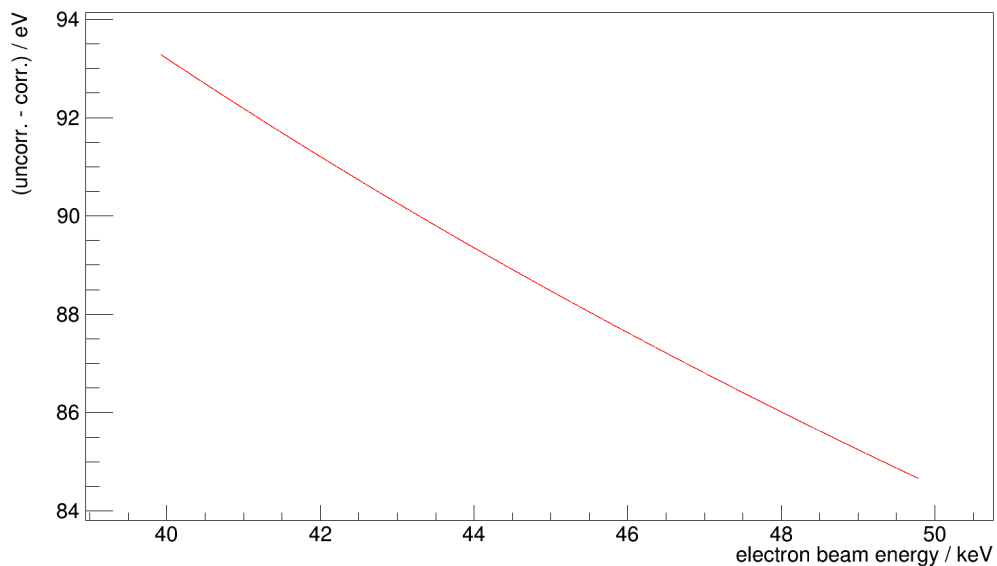


Abbildung 5.10: Differenz der Elektronenstrahlkalibrierung: unkorrigiert zu raumladungskorrigiert in Abhängigkeit der Elektronenstrahlenergie.

E_{syst} ist dabei der statistische Fehler, E_{stat} der statistische Fehler und E_V der Vertrauensbandfehler. Für Anteile zwischen den Messpunkten der Rohdaten wird linear interpoliert, bzw. außerhalb davon wird das genutzt was am nächsten ist. Die Fehler lassen sich aus dem Vertrauensband dementsprechend zerlegen:

$$E_{syst} = \sqrt{E_V^2 \times f_{syst}} \quad (5.9)$$

$$E_{stat} = \sqrt{E_V^2 \times (1 - f_{syst})} \quad (5.10)$$

Die quadratische Addition der Fehler ergibt dann wieder den Vertrauensbandfehler:

$$E_{syst}^2 + E_{stat}^2 = E_V^2 \quad (5.11)$$

Gleiches gilt für die Kalibration der Elektronenstrahlenergie.

Die Raumladungskorrektur ergibt sich aus der Steigung des Peakschwerpunkt-Strom-Geraden. Der Steigungsfehler entspricht dem Fitfehler. Der systematische Anteil wird mit Hilfe aller Fitpunkte abgeschätzt: er entspricht dem Verhältnis der quadratischen Summen aller systematischen Fehler zu dem Gesamtfehlern. Die entgeltige Steigung mit Fehler entsteht aus der Mittlung aller drei Einzelsteigungen. Der statistische Fehler übersteigt hier den systematischen Fehler um mehrere Größenordnungen, was auf die begrenzten Anzahl an Messpunkten zurückzuführen ist. Letztendlich wird nur der statistische Fehler angegeben.

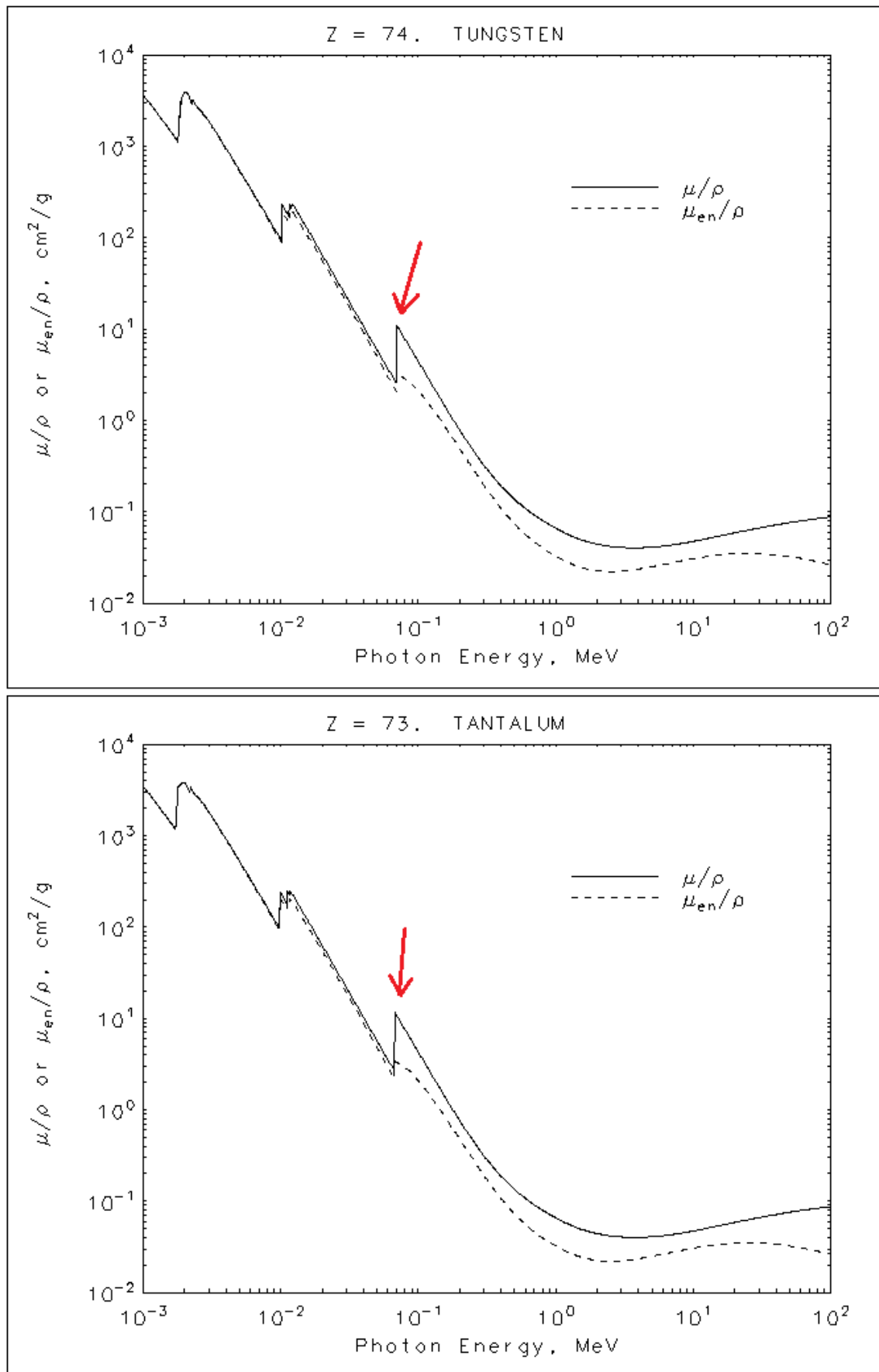
Die Ionisationspotentiale aus der radiativen Rekombinationsmessung ergeben sich aus einer nicht linearen Fitfunktion. Dennoch könnte Sie auch bei unkalibrierten Daten eingesetzt werden. Der entscheidende Bereich ist der bei dem sich die RR-Linie und die Absorptionskante schneiden. Daher wird der Kalibrationsfehler aus diesem Schnittpunkt quadratisch zum Fitfehler hinzu addiert.

Die Fehler der dielektronischen Rekombinationsresonanzen ergibt sich wie oben beschrieben aus den quadratischen Additionen von dem Vertrauensbandfehler ihren jeweiligen Positionen auf den Energieachsen und aus dem Fitfehler für Peakschwerpunkt (statistisch).

5.4 Radiative Rekombination

Die radiative Rekombination erzeugt ein Streifenmuster im Photonenenergie - Elektronenstrahlenergie - Diagramm. Einzelne RR Linien sind so nahe beieinander, dass die nicht mehr aufgelöst werden können. Der Drehimpuls J des Ions ist bei solchen sog. Bändern gleich. In dieser dieser Arbeit sind 2 Bänder mit jeweils $J=1/2$ (He-, Li-, Be-, B-artig) und $J=3/2$ (C-, N, O-, F-artig) erkennbar. Um sie dennoch aufzulösen wurden Wolfram- oder Tantalfolien vor dem Detektor positioniert. Ihre Absorptionskurve weist einen sprunghaften Anstieg im Röntgenbereich auf (siehe Abb. 5.11), dessen Breite kleiner die Abstände der einzelnen RR Linien eines Bandes ist.

Durch geeigneten Elektronenstrahlenergiebereich erhält man einen „Schnitt“ durch ein Band. In diesem Schnittbereich werden die einzelnen RR Linien unterschiedlich



48
 Abbildung 5.11: Absorbtionskurven für Wolfram und Tantal [NIST] in doppellogarithmischer Darstellung. Dabei ist die Photonenenergie gegen den Absorbtionskoeffizienten/Dichte aufgetragen. Die Absorbtionskanten sind mit roten Pfeilen markiert.

stark absorbiert, wodurch Abstufungen im Intensitätsverlauf erkennbar werden. Die Positionen dieser Abstufungen lassen Rückschlüsse auf die Ionisationsenergie der einzelnen RR Linien zu. Der Bereich, wo sich Absorptionskante und Band schneidet, wird ausgeschnitten und auf die Elektronenstrahlenergieachse projiziert. Abbildung 5.12 zeigt schematisch die Verfahrensweise. Das resultierende Histogramm weist auch Abstufungen auf. An diesem wird eine entsprechende Funktion gefittet, die die Ionisationspotentiale als freie Parameter enthält.

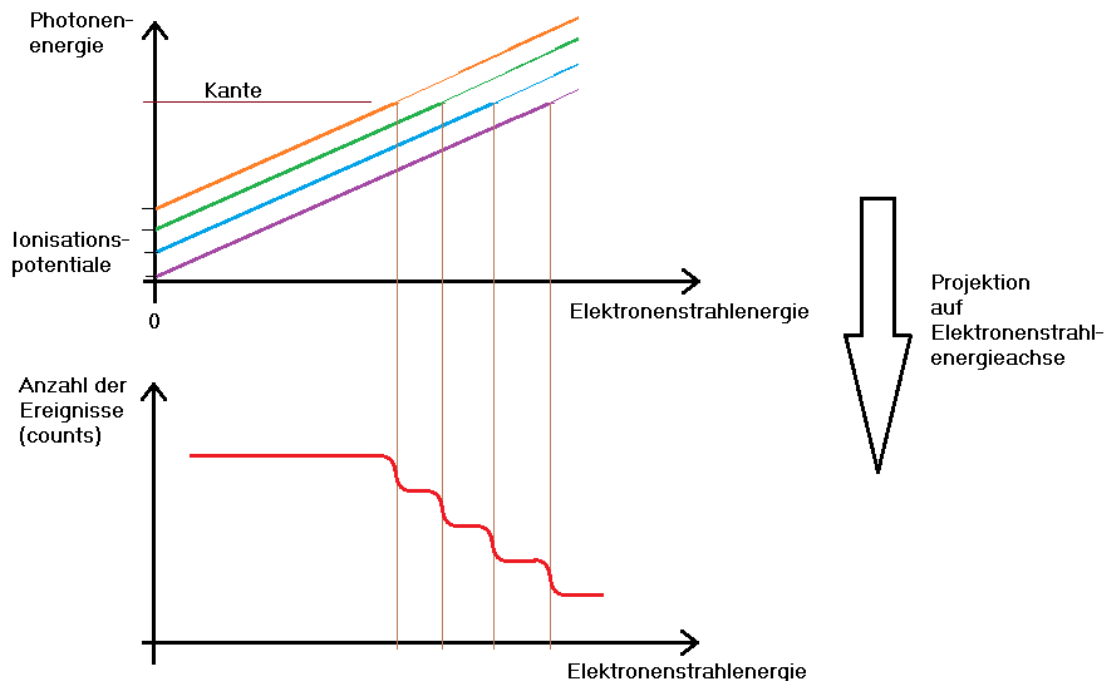


Abbildung 5.12: Vermessung einzelner RR Linien: oberes Diagramm: Photonenenergie-Elektronenstrahlenergie-Diagramm. Zu sehen sind RR Linien als steigende Geraden. Die Absorptionskante (horizontale Linie) schwächt abrupt die Linien ab. Der vom Diagramm gezeigte Teil ausgeschnitten und auf die Elektronenstrahlenergieachse projiziert (unteres Diagramm). Abstufungen sind erkennbar und ein entsprechender Fit wird vollzogen.

Für die Fitfunktion $F_{RR}(x)$ werden folgende vereinfachte Annahmen gemacht. Eine einzelne RR-Linie besteht aus einer Geraden mit Steigung 1.0, wie auch in der Theorie, und streut gaußartig in der Photonenenergie. Die Streuung in der Elektronenstrahlenergie wird vernachlässigt. Die Absorptionskante schneidet sprunghaft die Linie mit Streuung ab. Zusätzlich gibt es noch ein gleichmäßiger Hintergrund, die von der Absorptionskante nicht beeinflusst wird. Die Breite aller einzelnen RR-Linien ist gleich, zumindest sollten sie von nahezu gleicher Größe sein [Crespo14]. Für eine einzelne RR-Linie wird somit eine Gausfunktion von $-\infty$ zur Absorptionskante integriert.

$$Gerade(x) = Ipot + 1.0 \times x \quad (5.12)$$

$$\Delta y(x) := K - Gerade(x) = K - Ipot - x \quad (5.13)$$

$$I_g(x, Ipot, A) = \int_{-\infty}^{\Delta y(x)} \frac{A}{\sqrt{2\pi}\sigma} \exp\left(\frac{-x^2}{2\sigma^2}\right) dx = \frac{A}{2} \left(1 + \operatorname{erf}\left(\frac{K - Ipot - x}{\sqrt{2}\sigma}\right)\right) \quad (5.14)$$

$$F_{RR}(x) = H + \sum_i I_g(x, Ipot(i), A(i)) \quad (5.15)$$

Mit A als Linienstärke, K als Absorptionskante, i als Indize einer einzelnen RR-Linie, σ als Linienbreite, H als Hintergrund, Ipot als Ionisationspotential und $\operatorname{erf}()$ als die Fehlerfunktion $\operatorname{erf}(x) = \frac{2}{\sqrt{\pi}} \int_0^x e^{-k^2} dk$. Die Absorptionskante ist als Parameter fixiert und ihr Wert stammt von [R. D. Deslattes et al., 2003].

Nr.	Folie	I_{coll} (mA)	Bez.	K (kV)	Nrs
1	Wolfram	230	K edge (c)	69.5249(25)	6, 7
2	Tantal	230	K edge (c)	67.41124(79)	8
3	Tantal	150	K edge (c)	67.41124(79)	12, 13

Tabelle 5.3: Parameter der Kantenmessungen. Nr.: Nummer die Kantenmessung (1-3), I_{coll} : Elektornenstrahlstrom, Bez.: Bezeichnung der Absorptionskante in [R. D. Deslattes et al., 2003], K: Absorptionskante Wert mit Fehler in runde Klammer, Nrs: aufaddierte Messungen (entspricht einer Kantenmessung)

Die Ionisationspotentiale sind mit denen aus der Theorie ([NIST], [Scofield03]) verglichen, siehe Tabelle 5.8. Kantenmessung Nr. 2 hat vergleichsweise nur wenig Statistik, daher wurde die Breite der Linien aus Kantenmessung Nr. 3 entnommen und als Parameter der Fitfunktion fest fixiert. Kantenmessung Nr. 3 hat zwar mehr Statistik, jedoch konnte das energieniedrigste Ionisationspotential (F-artig) nicht mehr gefittet werden, da das Signal dafür zu schwach ist.

5.5 Dielektronische Rekombination

Die Dielektronische Rekombination ist ein resonanter Prozess und macht sich als Punkt im Diagramm bemerkbar. Zur Vermessung werden aus dem Diagramm sogenannte ROIs, *regions of interest* zu Deutsch interessante Bereiche, die diese Art von Resonanzen enthalten herausgeschnitten und auf die Elektronenstrahlenergie- bzw. Photonenenergieachse projiziert. Der Peaksschwerpunkt der Elektronenstrahlenergie entspricht der Anregungsenergie. Die Resonanzen für die Photonenenergie werden nur mit Gausprofilen gefittet. Um bei den Projektionen die Variation der Zählrate entlang der Strahlenenergie durch die RR-Linien zu vermeiden, haben die ROIs die selbe Steigung (eins) wie der RR Linien. Hier wird die Messung Nr. 9 (Kollektorstrom = 230 mA) verwendet. Intensitätsreiche Resonanzen lassen sich problemlos erkennen, um jedoch auch die Positionen schwacher Resonanzen zu finden, werden

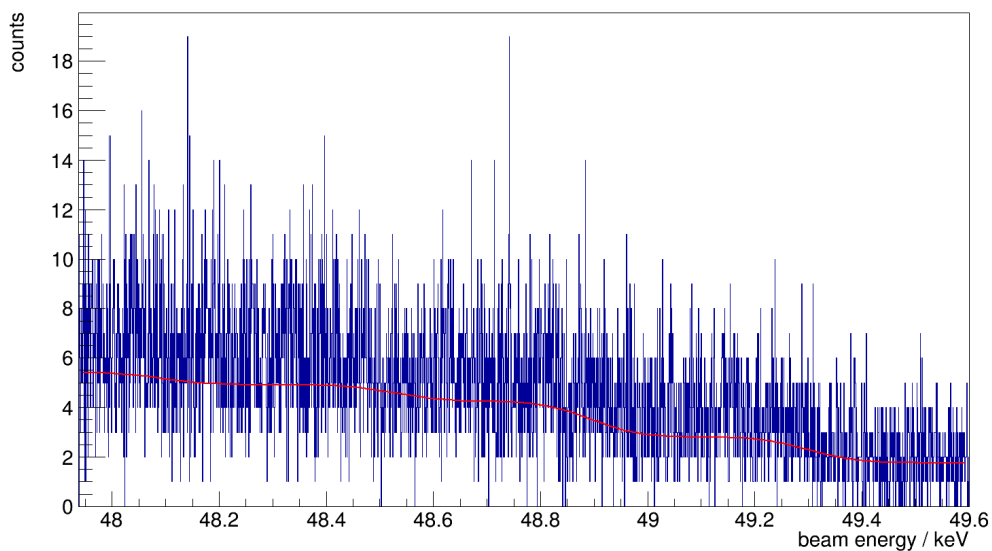
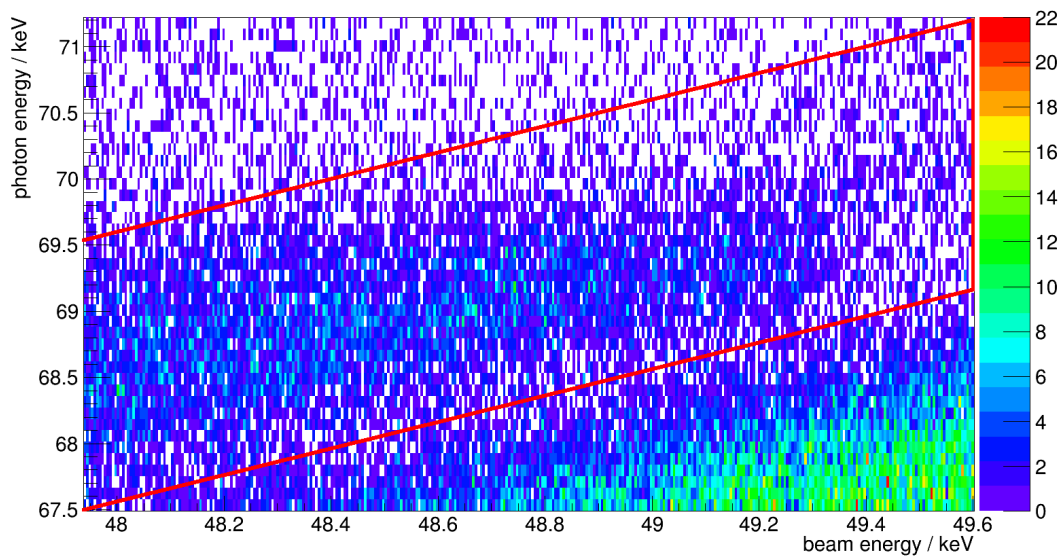


Abbildung 5.13: Radiative Rekombination vom $J=1/2$ - Band, abgeblendet durch eine Wolframfolie (Messungen von Nr. 6 und 7 aufaddiert). Im oberen Diagramm ist Elektronenstrahlenergie gegen Photonenenergie gebinnt (mit Faktor 8) aufgetragen und ein Ausschnittsrahmen (rot) zu sehen. Im unteren Diagramm ist die Projektion der Ereignisse (ungebinnt) im Rahmen auf die Elektronenstrahlenergie zu sehen (blau) mit Fitfunktion (rot). Der Fit wurde an den ungebinnten Daten vollzogen.

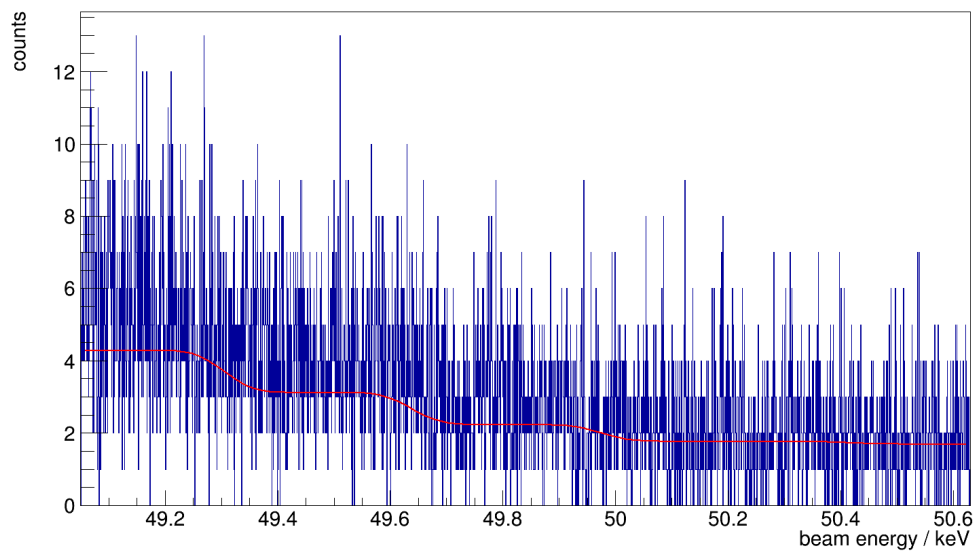
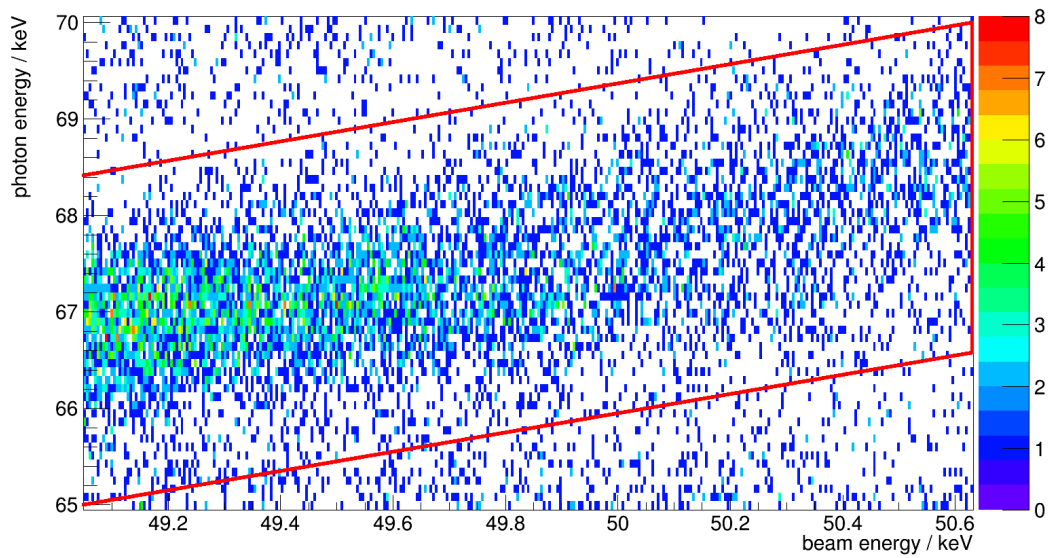


Abbildung 5.14: Radiative Rekombination vom $J=3/2$ - Band, abgeblendet durch eine Tantalfolie (Messung Nr. 8). Im oberen Diagramm ist Elektronenstrahlenergie gegen Photonenenergie gebinnt (mit Faktor 8) aufgetragen und ein Ausschnittsrahmen (rot) zu sehen. Im unteren Diagramm ist die Projektion der Ereignisse (ungebinnt) im Rahmen auf die Elektronenstrahlenergie zu sehen (blau) mit Fitfunktion (rot). Der Fit wurde an den ungebinnten Daten vollzogen.

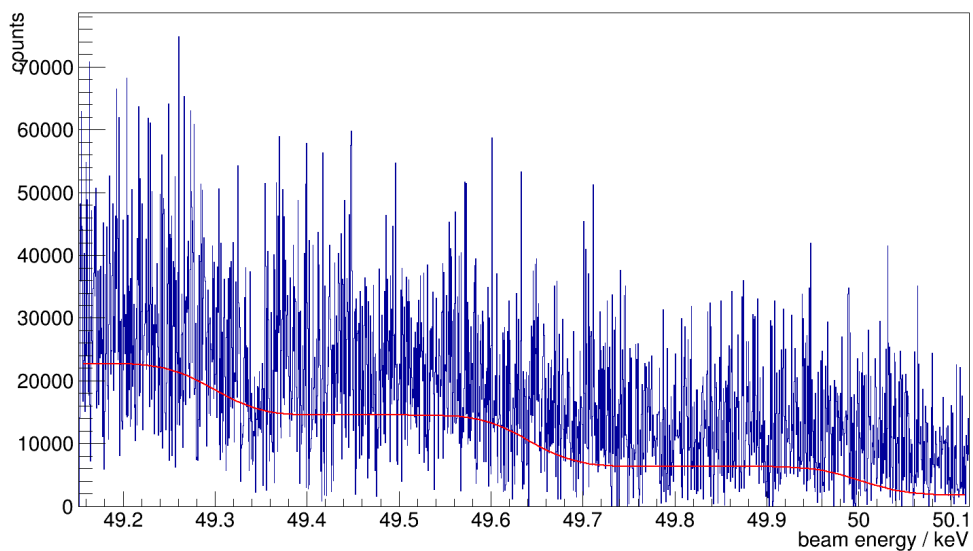
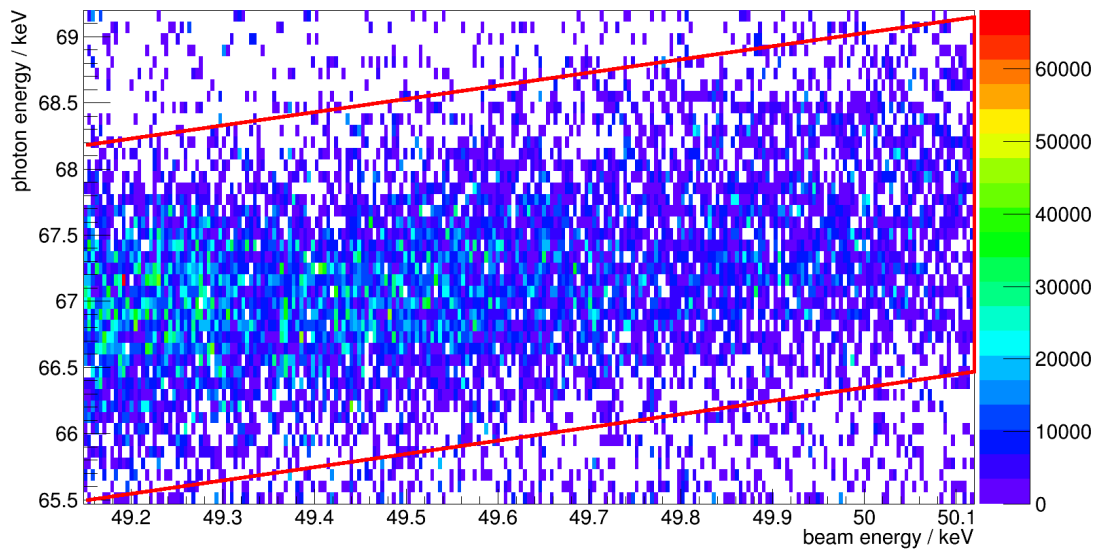


Abbildung 5.15: Radiative Rekombination vom $J=3/2$ - Band, abgeblendet durch eine Tantalfolie (Messungen von Nr. 12 und 13 aufaddiert). Im oberen Diagramm ist Elektronenstrahlenergie gegen Photonenenergie gebinnt (mit Faktor 8) aufgetragen und ein Ausschnittsrahmen (rot) zu sehen. Im unteren Diagramm ist die Projektion der Ereignisse (ungebinnt) im Rahmen auf die Elektronenstrahlenergie zu sehen (blau) mit Fitfunktion (rot). Der Fit wurde an den ungebinnten Daten vollzogen.

zuerst ROIs, die sich über die ganze Elektronenstrahlenergieachse ziehen qualitativ untersucht. Unter Zunahme der theoretischen Anregungsenergien können somit auch Zuordnungen getroffen werden. Primäres Ziel ist die Vermessung der Resonanzen, die theoretischen Werte dienen als Vergleich. Die Breiten der Linien bestehen aus der natürlichen Linienbreite, gefaltet mit dem Apparateprofil, hierfür wird ein Gaußprofil angenommen, des Experiments. Um die Breite des Apparateprofils zu erhalten, wird eine möglichst schmale Resonanz benötigt, in dieser Messung wird die schmalste He-artige Resonanz genommen (Nr. 0 der von den DR-Resonanzen, sie die theoretisch und experimentell schmalste). Sie wird mit einem Gausfit gefittet und von der gemessenen Breite wird die theoretische quadratisch abgezogen. Das Ergebnis wird für die Apparatebreite genommen und entspricht 18.83 eV. Die übrigen Resonanzen werden mit einer Faltung aus Fano- ($F(x)$) und Gaußprofil ($G(x)$) (für asymmetrische Peaks), in Gleichung 5.19 als FGF(x) bezeichnet, oder Lorentz- ($L(x)$) und Gaußprofil, entspricht Voigtprofil (für symmetrische Peaks) gefittet.

$$G(x) = \frac{\sqrt{8\ln(2)}}{\sqrt{2\pi}FWHM_{exp}} \times \exp\left(-\frac{(x-\mu)^2 8\ln(2)}{2FWHM_{exp}^2}\right) \quad (5.16)$$

$$L(x) = \frac{\Gamma}{2\pi} \frac{1}{x^2 + \left(\frac{\Gamma}{2}\right)^2} \quad (5.17)$$

$$F(x) = \frac{2}{Q^2\Gamma\pi} \left(\frac{(\epsilon + Q)^2}{\epsilon^2 + 1} - 1 \right), \epsilon := \frac{2(x-\mu)}{\Gamma} \quad (5.18)$$

$$FGF(x) = \frac{2A}{FWHM_{exp}} \sqrt{\frac{\ln(2)}{\pi}} \left(\left(1 - \frac{1}{Q^2}\right) \text{Re}(\omega(z)) - \frac{2}{Q} \text{Im}(\omega(z)) \right) + y_0 \quad (5.19)$$

$$z := \frac{\sqrt{\ln(2)}}{FWHM_{exp}} (2(\mu - x) + i\Gamma) \quad (5.20)$$

A ist wieder die totale Peakfläche, $FWHM_{exp}$ die Apparatebreite, Γ die natürliche Linienbreite, μ der Peakschwerpunkt, Q der Fano-Faktor und y_0 der Offset. $\omega()$ ist die komplexe Fehlerfunktion (Fehlerfunktion mit komplexen Argument). Fano und Fano-Gauß-Faltung richten sich an denen von [Martínez, 2005]. Dabei wird die Apparatebreite $FWHM_{exp}$ fixiert und die natürliche Linienbreite Γ als freier Parameter eingesetzt. Die Breiten entsprechen den vollen Halbwärtsbreiten. Die Ergebnisse werden mit theoretischen Vorhersagen verglichen. Abbildung 5.16 zeigt ein Fit eines asymmetrischen Peaks mit einem Fanoprofil mit den Residuen und ein Vergleichbarer Gaußfit. Man erkennt dass der Fano-Gauß-Faltungs-Fit die Daten besser beschreibt, was auch von einem reduzierten Chi-Quadrat von 0.96 untermauert wird gegenüber einem reduzierten Chi-Quadrat von 1.42 vom Gaußfit.

Für Messungen dielektronischer Resonanzen wurde eine Aluminiumfolie vor dem Detektor positioniert. Sie hat vor allem die Aufgabe, niederenergetische Photonen (<10 keV), welche unnötige Ereignisse hervorrufen, zu absorbieren. Ihre Absorbtiionskante liegt bei ca. 1.56 keV, was weit unter dem hier interessanten Bereich liegt. Abbildung 5.17 zeigt die Absorbtiion von Aluminium.

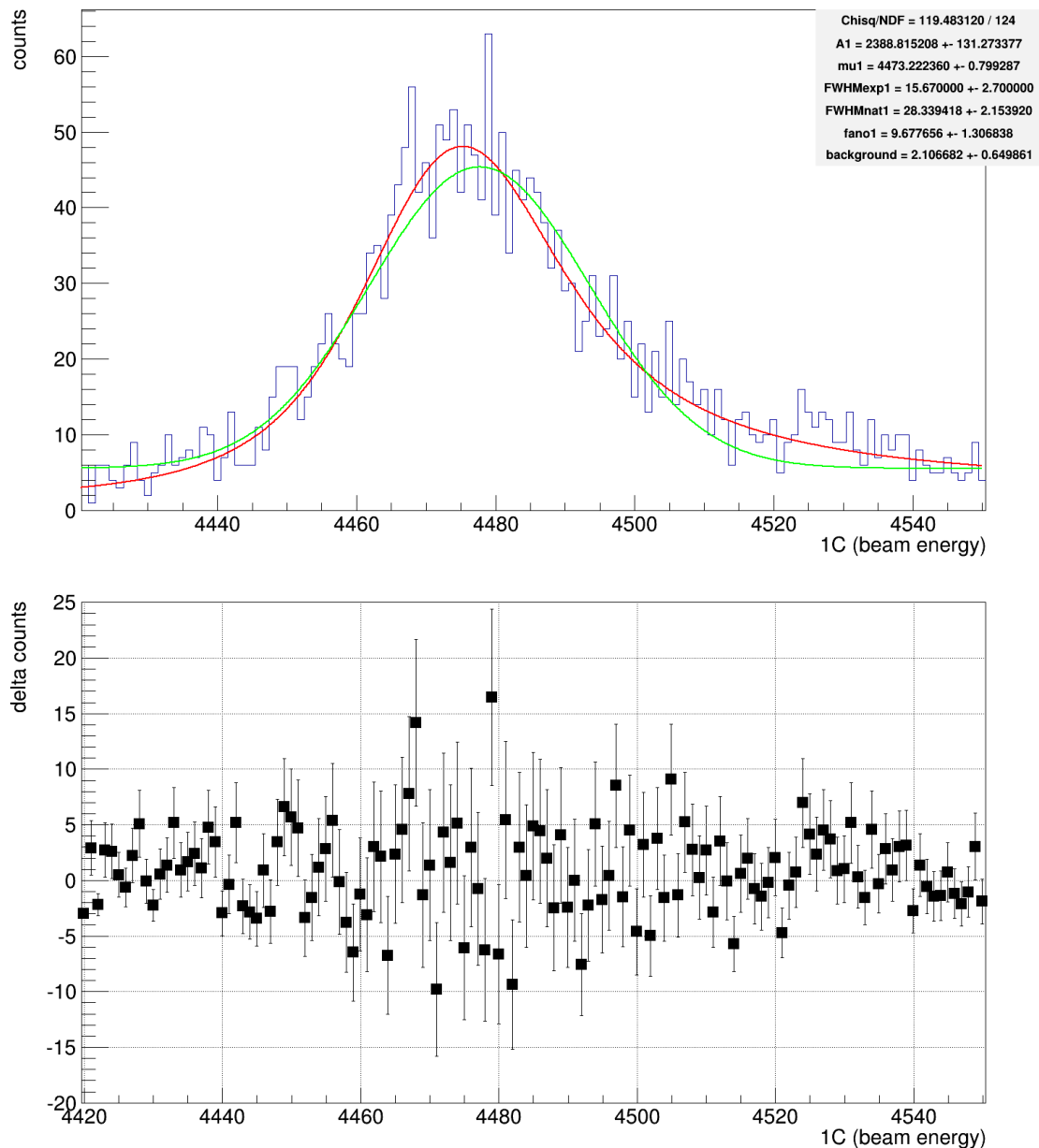


Abbildung 5.16: Oberes Diagramm: Vergleich Fano-Gauß-Faltungs-Fit (rot) von DR-Resonanz Nr. 14, projiziert auf die Elektronenstrahlachse, mit dazugehörigen Residuen (unteres Diagramm) zu Gaußfit (grün) mit Fitergebnissen (rechts oben) zum Fano-Gauß-Faltungs-Fit: Chi-qs/NDF ist das Chi-Quadrat / Anzahl der Freiheitsgrade, A1 die totale Peakfläche, mu1 der Peaksschwerpunkt, FWHM(exp,nat)1 die volle Halbwärtsbreite (exp: Apparatebreite, nat: natürliche Linienbreite), background der konstante Hintergrund und fano1 der Fano-Parameter.

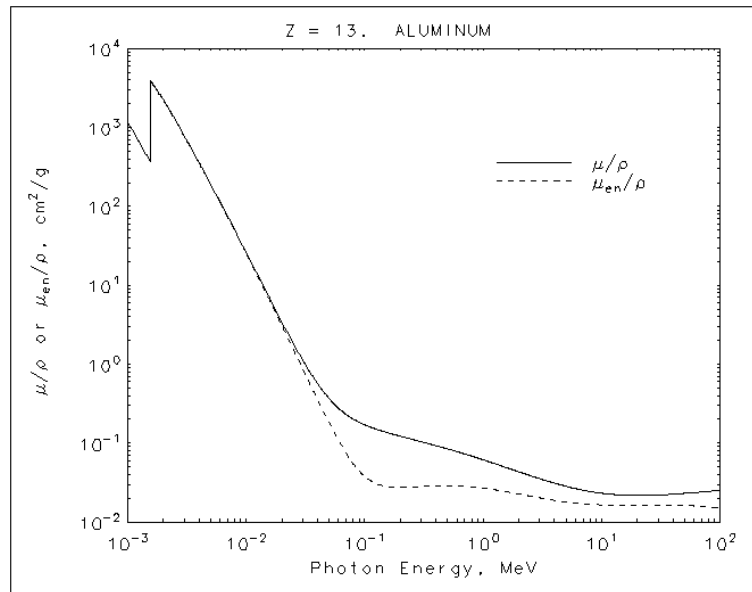


Abbildung 5.17: Absorbtionskurve für Aluminium [NIST] in doppellogarithmischer Darstellung. Dabei ist die Photonenenergie gegen den Absorbtionskoeffizienten/Dichte aufgetragen.

5.5.1 Qualitative Untersuchung

Zur qualitativen Untersuchung werden sieben ROIs gewählt, die über die ganze Elektronenstrahlenergie reichen und jeweils 1 keV entlang der Photonenenergie breit sind, wie es in Abbildung 5.18 zu sehen ist. Die ROIs werden aus dem kalibrierten Spektrum herausgeschnitten. Die Projektionen sind in Abbildung 5.19 dargestellt.

Es wurden 35 Resonanzen gefunden. Einige konnten zu theoretischen zugeordnet werden. Die Abbildungen 5.20, 5.21 und 5.22 zeigen jeweils die Nummerierung für die Bereiche $KL_{1/2}L_{1/2}$, $KL_{1/2}L_3$ und KL_3L_3 .

5.5.2 Vermessung der Resonanzen

Die gefundenen Resonanzen sollten auch Vermessen werden. Wie oben beschrieben wird dazu ein ROI herausgeschnitten und auf die Achsen projiziert. Es wird dabei mit dem unkalibrierten Messergebnis gearbeitet. Bei der Photonenenergie wird ein Rechteck herausgeschnitten, bei der Elektronenstrahlenergie ein Parallelogramm, um die selbe Steigung wie die RR Linien zu haben. Abbildung 5.23 zeigt ein ROI mit gefitteten Projektionen und zur verbesserten auch Anschauung die gebinnte (alle 8 Bins werden zu einem zusammengefasst) Version. Die Fits werden an den ungebinneten Histogrammen vollzogen.

Die Peakschwerpunkte sowie die Halbwärtsbreiten werden noch mit den Kalibrationsfunktionen umgerechnet und mit den Theorien verglichen. Die Tabellen 5.9, 5.11 und 5.13 mit 5.15 listen die Anregungsenergien der $KL_{1/2}L_{1/2}$, $KL_{1/2}L_3$ und

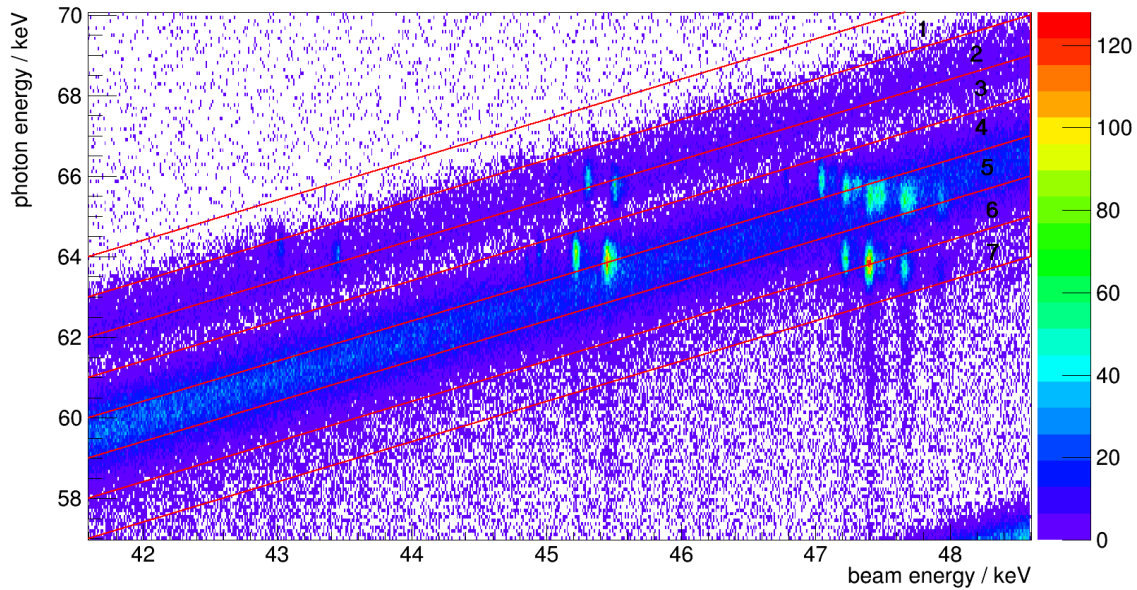


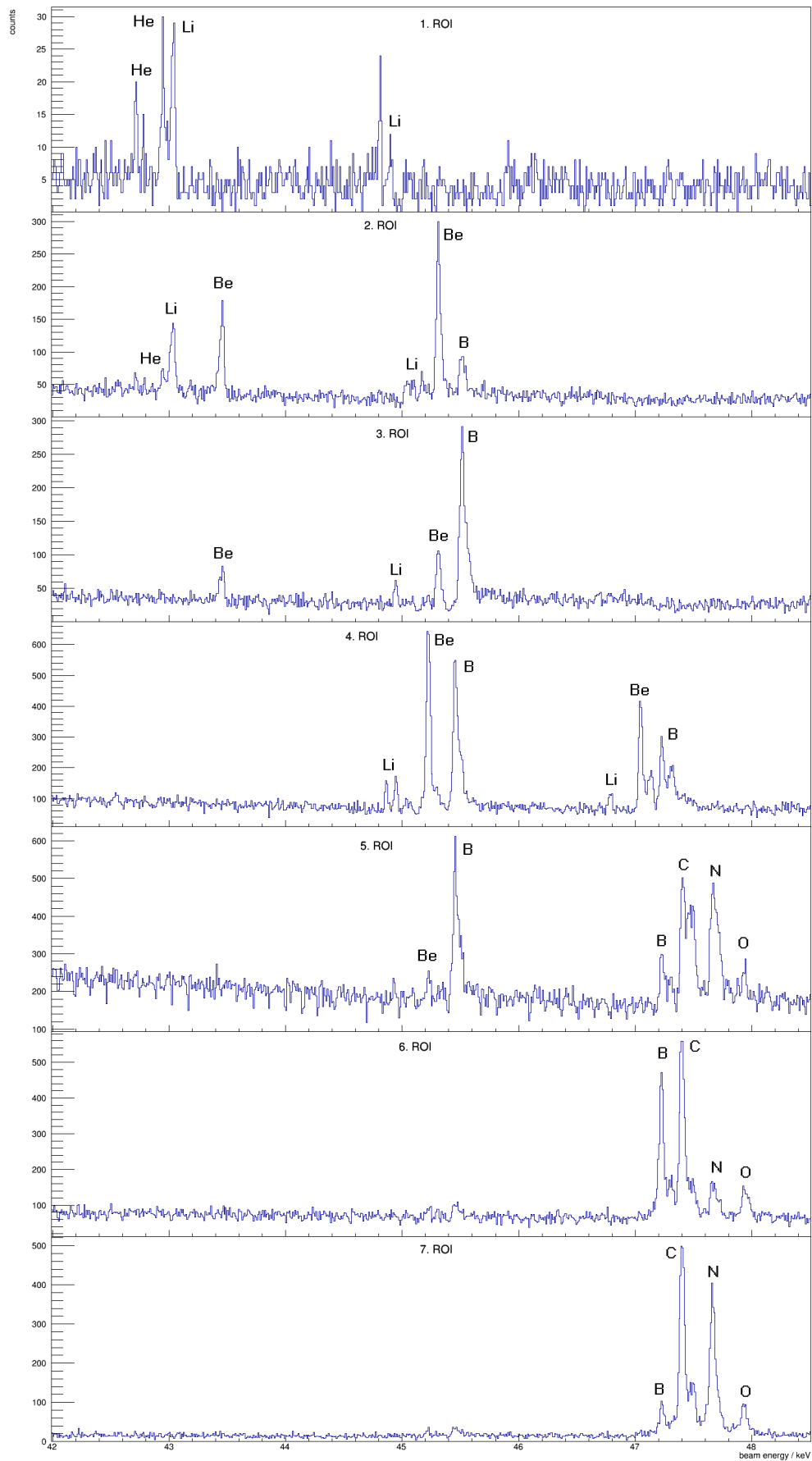
Abbildung 5.18: Kalibriertes Histogramm, Elektronenstrahlenergie ist gegen Photonenenergie gebinnt (Faktor 8) aufgetragen, mit ROIs (rot umrahmt) von DR-Messung Nr. 9

KL_3L_3 Bereiche auf. Entsprechend enthalten die Tabellen 5.10, 5.12 und 5.14 mit 5.16 die Photonenenergien. Abbildung 5.24 zeigt den Vergleich mit der Theorie.

Alle theoretischen Werte sind kleiner als erwartet. Das könnte daran liegen dass ein systematischer Einfluss unbeachtet blieb. Absolutmessungen, wie hier die Elektronenstrahlenergie, sind für Fehler dieser Art anfällig [Crespo14]. Die He-artigen Resonanzen liegen ca. 20 eV unterhalb. Da He-artige Resonanzen in der Regel genaue theoretische Vorhersagen wiedergeben, könnte man sagen, dass eine systematische Fehlerquelle die Elektronenstrahlenergie um +20 eV verschoben hat.

Nr.	Beginn	Ende	t (s)
D1	24.06.2014 14:50	24.06.2014 15:24	2008
D2	24.06.2014 15:40	24.06.2014 16:06	1552
D3	24.06.2014 16:06	24.06.2014 17:02	3341
D4	02.07.2014 16:28	02.07.2014 17:45	1040
D5	08.07.2014 14:14	08.07.2014 14:45	1800

Tabelle 5.4: Parameter Photonenenergie-Kalibration. Nr.: Nummer der Photonenenergie-Kalibration, Beginn/Ende: Datum und Uhrzeit vom Start/Stop der Messung, t: Messzeit



58
 Abbildung 5.19: Projektionen (gebint, Faktor 8) der ROIs von DR-Messung Nr. 9 auf die Elektronenstrahlachse. Einige Peaks sind mit entsprechenden Ladungszuständen markiert (Element-artig).

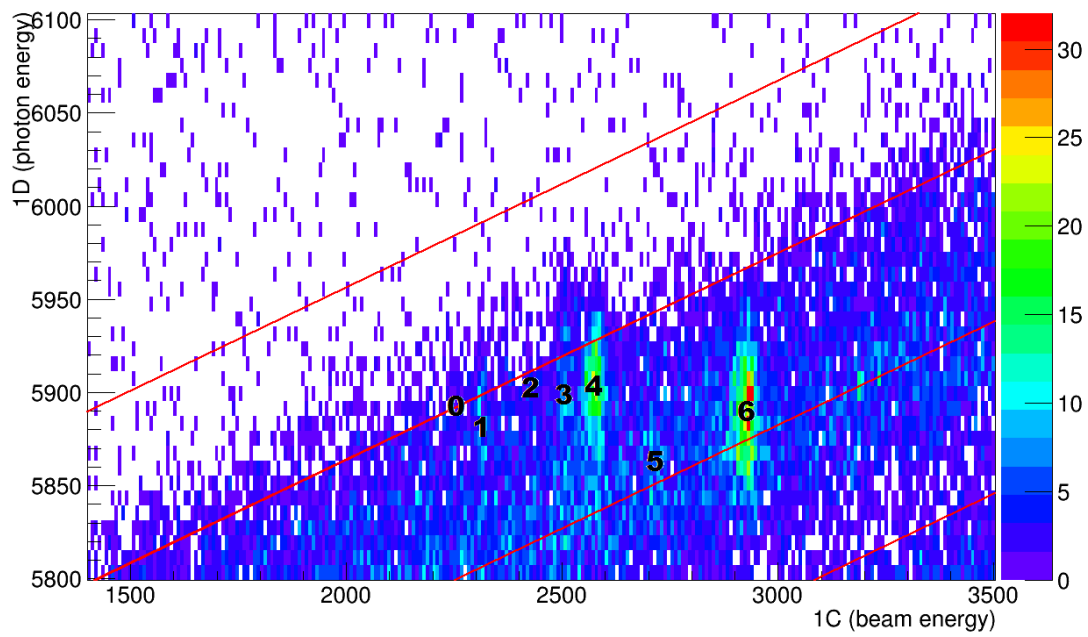


Abbildung 5.20: DR Nummerierung der Resonanzen für $KL_{1/2}L_{1/2}$ Bereich von Messung Nr. 9 (gebinnt, Faktor 8) mit ROI Rahmen (rot)

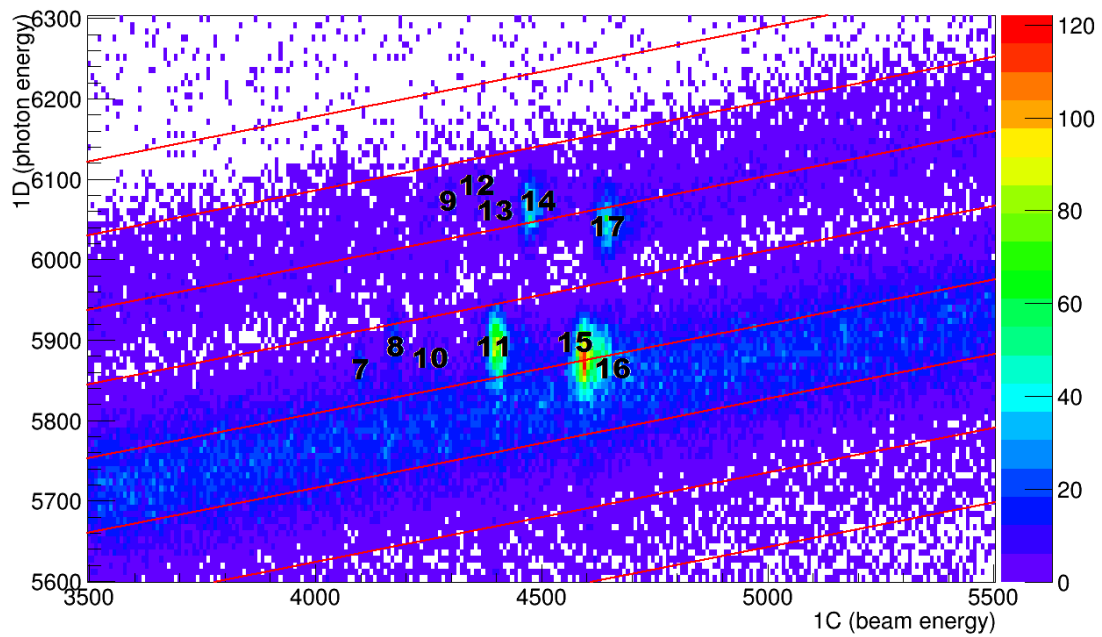


Abbildung 5.21: DR Nummerierung der Resonanzen für $KL_{1/2}L_3$ Bereich von Messung Nr. 9 (gebinnt, Faktor 8) mit ROI Rahmen (rot)

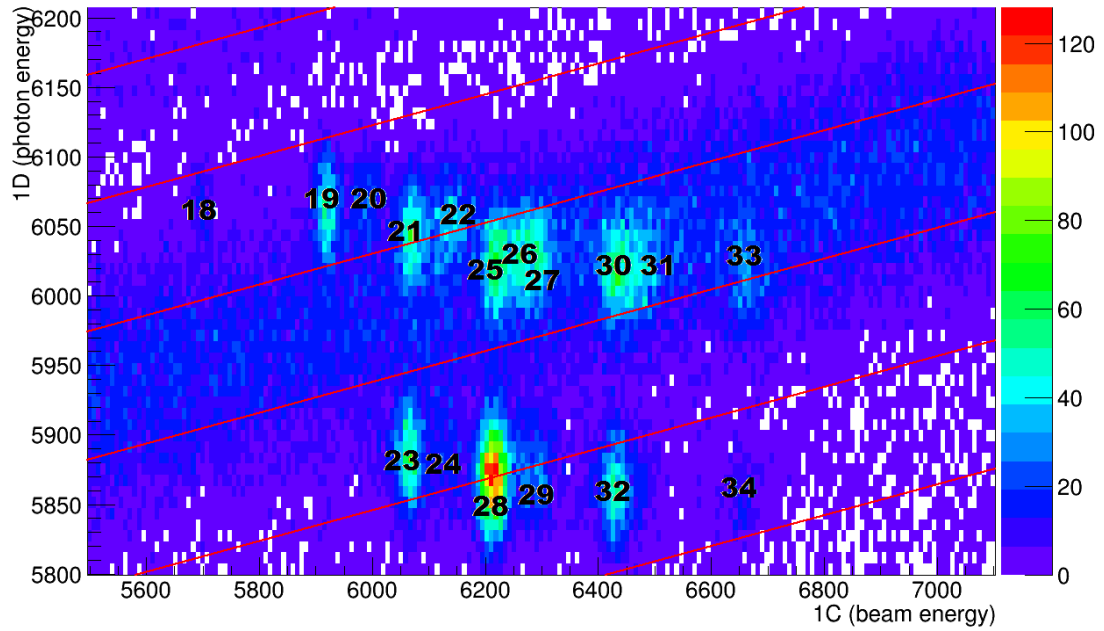


Abbildung 5.22: DR Nummerierung der Resonanzen für KL_3L_3 Bereich von Messung Nr. 9 (gebintt, Faktor 8) mit ROI Rahmen (rot)

Nr.	Funktion (kV)
D1,2,3	$E(D) = 0.0108470(2) \times D + 0.1713(7)$
D4,5	$E(D) = 0.0108427(2) \times D + 0.175(1)$

Tabelle 5.5: Photonenenergie-Kalibration Funktionen. Nr.: Nummer der Photonenenergie-Kalibration, Funktion: Formel für die Umrechnung von der Kanalnummer zum Energiewert.

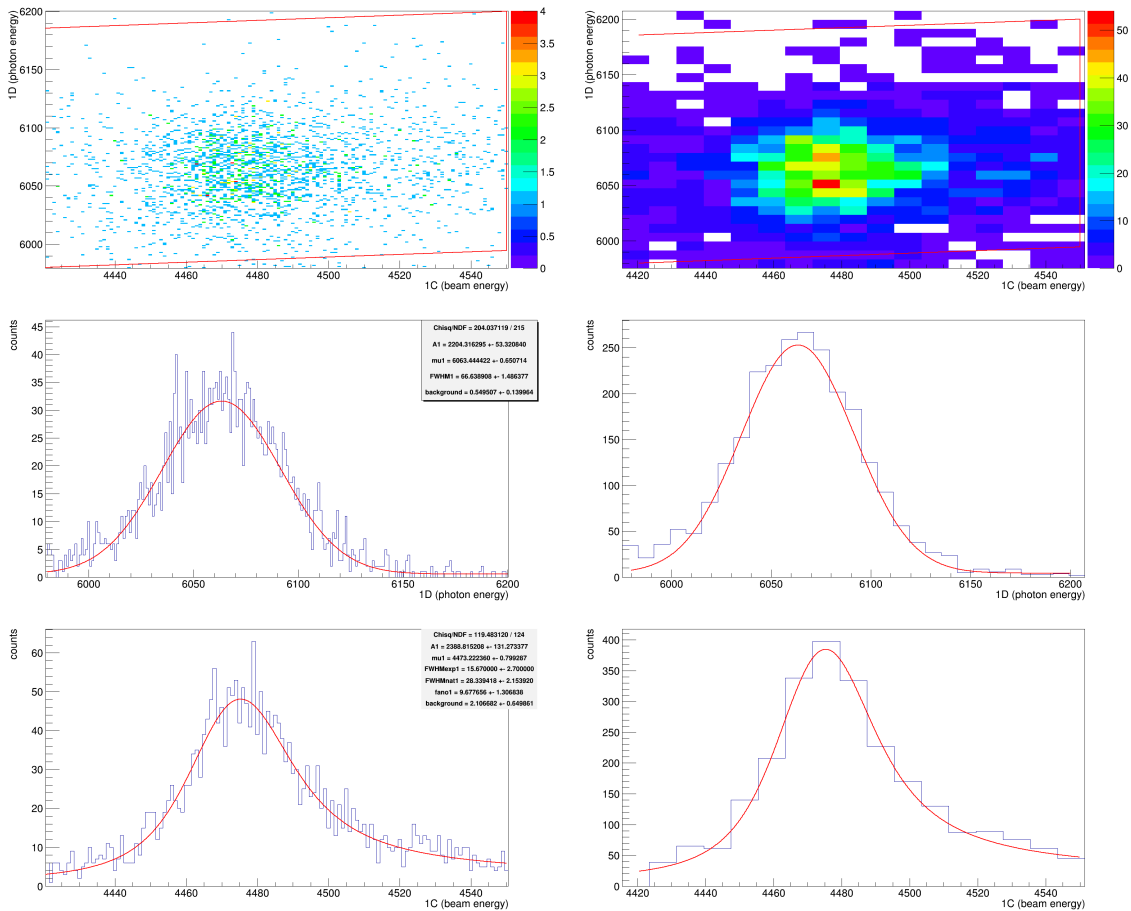


Abbildung 5.23: ROI, Projektionen und Fit einer DR Resonanz, ungebinnt (links) und gebinnt (Faktor 8, rechts) von Resonanz Nr. 14 aus Messung Nr. 9. In den obigen Diagrammen ist Elektronenstrahlenergie gegen Photonenergie mit den Ausschnittsgrenzen (roter Rahmen) aufgetragen, in den mittleren die Projektion der kompletten Ausschnitte gegen die Photonenergie (blau) mit Gaußfit (rot) und in den unteren die Projektion der rot umrahmten Ausschnitts gegen die Elektronenstrahlenergie mit Fitfunktion (Faltung aus Fano- und Gaußprofil plus Konstante). Der Fit wurde immer am ungebinnten Diagramm vollzogen, wo auch die Fitergebnisse zu sehen sind (rechtes oberes Kästchen). Chisq/NDF ist das Chi-Quadrat / Anzahl der Freiheitsgrade, A1 die totale Peakfläche, μ_1 der Peakschwerpunkt, FWHM(exp,nat)1 die volle Halbwärtsbreite (exp: Apparatebreite, nat: natürliche Linienbreite), background der konstante Hintergrund und fano1 der Fano-Parameter.

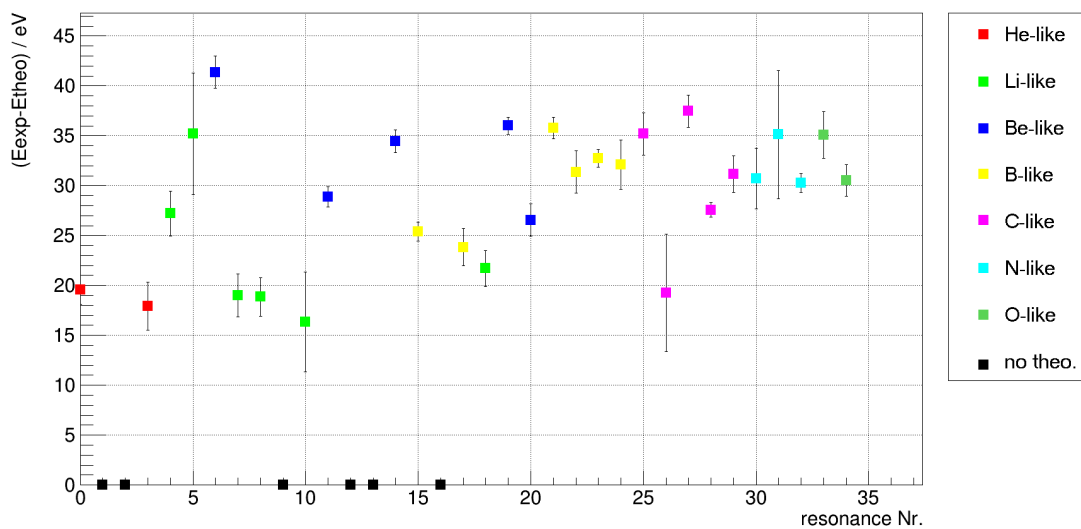


Abbildung 5.24: Differenz der experimentellen zu den theoretischen Resonanzen der Elektronenstrahlenergie mit Fehlerbalken. Die zugeordneten Resonanzen sind farbig entsprechend den Ladungszuständen (rot, grün, blau, gelb, rosa, hellblau, dunkelgrün entsprechen He-, Li-, Be, B-, C-, N-, O-artigen Resonanzen, schwarz: keine Zuordnung) markiert. Zu sehen ist dass alle theoretischen Werte kleiner als erwartet sind.

Nr.	Beginn	Ende	t (s)	U_{eb} (kV)	U_{ee} (kV)	δU (kV)	dt (s)	U_c (kV)	SMIN (kV)	SMAX (kV)
C1	03.07.2014 09:23	03.07.2014 9:28	300	39	41	1	60	1.5	47	51
C2	05.07.2014 14:32	05.07.2014 14:43	660	40.5	33	0.5	120, 120, 30, ...	1.5	41	49.5
C3	05.07.2014 15:45	05.07.2014 15:49	210	42	39	0.5	30	1.5	47	51
C4	05.07.2014 15:55	05.07.2014 15:59	210	39	42	0.5	30	1.5	47.5	51
C5	07.07.2014 18:10	07.07.2014 18:14	240	38	41.5	0.5	30	1	46.1	50
C6	08.07.2014 13:22	08.07.2014 13:26	240	38	41.5	0.5	30	1	46.1	50
C7	08.07.2014 13:31	08.07.2014 13:38	450	40	33	0.5	30	1.5	41	49
C8	08.07.2014 13:46	08.07.2014 13:50	240	38	41.5	0.5	30	1.5	46.5	50.5
C9	08.07.2014 13:58	08.07.2014 14:01	210	39	42	0.5	30	1.5	47	51

Tabelle 5.6: Parameter Beschleunigungsspannung-Kalibration. Nr.: Nummer der Beschleunigungsspannung-Kalibration, Beginn/Ende: Datum und Uhrzeit vom Start/Stop der Messung, t: Messzeit, $U_{eb,ee}$: minimale/maximale Spannung der Elektronenkanonenplattform, δU : Abstände der Kalibrationsspannungen, U_c : Kathodenspannung, SMIN/SMAX: minimale/-Maximale Beschleunigungsspannung für Datenaufnahmesystem

Nr.	Funktion (kV)
C1	$E(C) = 6.00895(16)E-04 \times C + 46.50980(8)$
C2	$E(C) = 1.27688(2)E-03 \times C + 39.95800(10)$
C3	$E(C) = 6.0089(2)E-04 \times C + 46.50970(12)$
C4	$E(C) = 5.25792(15)E-04 \times C + 47.07090(4)$
C5	$E(C) = 5.8581(2)E-04 \times C + 45.62210(10)$
C6	$E(C) = 5.8586(2)E-04 \times C + 45.62210(12)$
C7	$E(C) = 1.20167(5)E-03 \times C + 40.0198(2)$
C8	$E(C) = 6.0093(3)E-04 \times C + 46.00950(15)$
C9	$E(C) = 6.0086(5)E-04 \times C + 46.5103(2)$

Tabelle 5.7: Elektronenstrahl-Kalibration Funktionen (ohne Raumladungskorrektur). Nr.: Nummer der Elektronenstrahl-Kalibration, Funktion: Formel für die Umrechnung von der Kanalnummer zum Energiewert. Energiewert entspricht Beschleunigungsspannung mal Elementarladung.

Nr.	ChSt	I_p selbst gemessen (kV)	I_p von [NIST] (kV)	I_p von [Scofield03] (kV)
1	He	21.432(3)(58)	21.55660(24)	21.5568
	Li	20.997(3)(98)	21.200(90)	21.2121
	Be	20.632(3)(27)	20.650(70)	20.6417
	B	20.224(3)(12)	(20.210(60))	20.2474
2	C	18.107(1)(20)	18.120(60)	18.1092
	N	17.774(1)(19)	17.770(50)	17.761
	O	(17.437(1)(33))	17.390(50)	17.4142
	F	17.001(1)(115)	17.040(40)	17.0474
3	C	18.112(1)	18.120(60)	18.1092
	N	17.770(1)	17.770(50)	17.7612
	O	17.409(1)	17.390(50)	17.414

Tabelle 5.8: Ionisationspotentiale der Kantenmessungen. Nr.: Nummer der Kantenmessung: 1: mit Wolframfolie, 2 und 3 mit Tantalfolie, ChSt: Ladungszustand des Ions vor der Rekombination: Element-artig, I_p : Ionisationspotential: 3. Spalte: von dieser Arbeit mit runde Klammern: (statistischer) oder (systematischer)(statistischer) Fehler, die systematische Verschiebung gegenüber den theoretischen He-artigen Resonanzen wurde dabei nicht mit einbezogen, 4. Spalte: Werte von [NIST], Fehler in Runden Klammern, 5. Spalte: Werte von [Scofield03]

Peak-Nr.	theo / exp	ChSt J P	μ (keV)	Γ (eV)	Q
0	theo exp	He 1/2 +	42.6901 42.7097(2)(1)	0.991 2(6)	
1	exp		42.783(2)	42(8)	
2	exp		42.849(6)	4(16)	
3	theo exp	He 1/2 -	42.9255 42.943(2)	6.19 13(10)	
4	theo exp	Li 1/2 -	43.0033 43.031(2)	9.65 32(4)	-10(4)
5	theo exp	Li 1 +	43.1570 43.192(6)	13.7 65(40)	
6	theo exp	Be 1/2 +	43.4148 43.456(10)(8)	13.7 26(10)(8)	-6(1)

Tabelle 5.9: Anregungsenergie der DRs vom $KL_{1/2}L_{1/2}$ Bereich. Peak-Nr.: Bezeichnungs-Nummer der Resonanz in dieser Arbeit, 2. Spalte: theo: theoretische Elektronenstrahlenergie, exp: gemessene Elektronenstrahlenergie, 3. Spalte: ChSt J P: Ladungszustand (Element-artig) mit Drehimpuls J und Parität P, μ : Peaksschwerpunkt, Γ : natürliche Halbwärtsbreite, Q: Fanoparameter, Fehler in runden Klammern: (systematischer)(statistischer) oder nur (statistischer)

Peak-Nr.	μ (keV)	FWHM (eV)
0	63.90(8)(3)	580(80)(90)
1	63.4(4)	1600(500)
2	63.40(8)(5)	900(80)(200)
3	64.19(8)(4)	610(90)(60)
4	64.19(8)(4)	610(90)(60)
5	63.67(8)(2)	1130(80)(90)
6	63.980(80)(9)	870(80)(30)

Tabelle 5.10: Photonenenergie der DRs vom $KL_{1/2}L_{1/2}$ Bereich. Peak-Nr.: Bezeichnungs-Nummer der Resonanz in dieser Arbeit, μ : gemessener Peaksschwerpunkt, FWHM: gemessene volle Halbwärtsbreite, Fehler in runden Klammern: (systematischer)(statistischer) oder nur (statistischer)

Peak-Nr.	theo / exp	ChSt J P	μ (keV)	Γ (eV)	Q
7	theo	Li 2 -	44.8391	0.506	16(19)
	theo	He 1/2 +	44.8335	25.8	
	exp		44.858(2)	7(4)	
8	theo	Li 3 +	44.9274	9.32	-22(23)
	exp		44.946(2)	13(3)	
9	exp		45.057(4)	131(12)	
10	theo	Li 2 +	45.0226	17.7	
	exp		45.039(5)	115(30)	
11	theo	Be 5/2 +	45.1905	9.45	25(10)
	theo	Be 3/2 +	45.1919	8.78	
	exp		45.220(9)(6)	23(2)	
12	exp		43.0299(109)(80)	32.3(10.9)(8.7)	
	exp		45.052(4)	96(11)	
13	exp		43.0299(109)(80)	32.3(10.9)(8.7)	
	exp		45.198(4)	95(13)	
14	theo	Be 3/2 +	45.2724	16.1	9.7(1.3)
	exp		45.3069(1)(11)	34(3)	
15	theo	B 2 -	45.4240	13.9	7.1(8)
	exp		45.449(3)	28(2)	
16	exp		45.505(2)	12(8)	
17	theo	B 1 -	45.4793	29.4	4.4(5)
	exp		45.503(2)	46(4)	

Tabelle 5.11: Anregungsenergie der DRs vom $KL_{1/2}L_3$ Bereich. Peak-Nr.: Bezeichnungs-Nummer der Resonanz in dieser Arbeit, 2. Spalte: theo: theoretische Elektronenstrahlenergie, exp: gemessene Elektronenstrahlenergie, 3. Spalte: ChSt J P: Ladungszustand (Element-artig) mit Drehimpuls J und Parität P, μ : Peaksschwerpunkt, Γ : natürliche Halbwärtsbreite, Q: Fanoparameter, Fehler in runden Klammern: (systematischer)(statistischer) oder nur (statistischer)

Peak-Nr.	μ (keV)	FWHM (eV)
7	63.73(8)(8)	550(80)(90)
8	64.00(8)(11)	670(80)(140)
9	66.06(9)(2)	460(90)(60)
10	64.32(9)(11)	340(90)(150)
11	64.10(8)(1)	630(90)(30)
12	66.02(9)(3)	680(90)(80)
13	66.02(9)(3)	680(90)(80)
14	65.904(90)(7)	722(90)(16)
15	63.92(8)(1)	720(80)(20)
16	63.92(8)(1)	720(80)(20)
17	65.750(90)(7)	770(90)(20)

Tabelle 5.12: Photonenergie der DRs vom $KL_{1/2}L_3$ Bereich. Peak-Nr.: Bezeichnungs-Nummer der Resonanz in dieser Arbeit, μ : gemessener Peakschwerpunkt, FWHM: gemessene volle Halbwärtsbreite, Fehler in runden Klammern: (systematischer)(statistischer)

5.6 Diskussion der Ergebnisse

Die Messergebnisse zeigen wie erwartet charakteristische Muster bezüglich den verschiedenen Rekombinationsprozessen: Streifenmuster für die radiative und Punktmuster für die dielektronische Rekombination. Ähnlich wie bei anderen Arbeiten mit schweren, hochgeladenen Ionen machten sich bei zwei RR-Bänder und drei KLL-Bereiche (vergl. [Martínez, 2005], [Mäckel, 2006]) im vermessenen Bereich bemerkbar (siehe Abb. 2.1).

Die Fehler liegen für die Photonenergie bei ca. 85 eV und die der Elektronenstrahlenergie bei wenigen keV. Der große Unterschied stammt von den verschiedenen Messmethoden der jeweiligen Energie und ihre Präzision. Die elektrische Spannung konnte mit höheren relativen Genauigkeiten gemessen werden als die Röntgenphotonen. Die Photonenergieauflösung konnte durch den Einsatz von Metallfolien und ihren Absorptionseigenschaften für Röntgenstrahlen derart gestiegen werden, dass einzelne RR-Linien eines RR-Bandes vermessen werden konnten.

Die errechneten Ionisationspotentiale von der Kantenmessung zeigen stark unterschiedliche statistische Fehler. Der Grund dafür liegt zu einen in der Statistik, d.h. wie lange bzw. wie viele Ereignisse gemessen wurden. Das wird vor alle bei Kantenmessung Nr. 3 und 2 bemerkbar. Kantenmessung Nr. 3 hat eine längere Messzeit als Nr. 2, somit auch einen gerineren statistischen Fehler. Aber auch die Deutlichkeit der Abstufungen der RR-Linien an der Absorptionskante beeinflusst den Fehler maßgebend.

Bei den Anregungsenergien der dielektronischen Resonanzen ist eine Verschiebung bezüglich der theoretischen Werte erkennbar. Die gemessenen Anregungsenergien

Peak-Nr.	theo / exp	ChSt J P	μ (keV)	Γ (eV)	Q
18	theo	Li 3 +	46.7571	4.43	
	theo	He 1/2 +	46.7656	12.1	
	exp		46.781(8)	20(4)	
19	theo	Be 5/2 +	47.0103	4.39	
	exp		47.0463(2)(8)	26(2)	
20	theo	Be 1/2 +	47.1052	12.0	
	exp		47.132(2)	40(5)	
21	theo	B 3 -	47.1912	13.3	
	exp		47.227(1)	29(5)	
22	theo	B 1 -	47.2758	20.9	
	ex		47.307(2)	65(10)	
23	theo	B 3 -	47.1912	13.3	
	exp		47.2240(2)(9)	28(4)	
24	theo	B 1 -	47.2758	20.9	
	exp		47.307(2)	37(13)	
25	theo	C 5/2 +	47.3734	17.6	
	exp		47.409(2)	43(10)	
26	theo	C 3/2 +	47.4408	36.2	
	exp		47.460(6)	44(14)	4(3)
27	theo	C 1/2 +	47.4660	25.0	
	exp		47.503(2)	7(8)	
28	theo	C 5/2 +	47.3734	17.6	
	exp		47.4010(2)(7)	38(1)	
29	theo	C 1/2 +	47.4660	25.0	
	exp		47.497(2)	68(6)	

Tabelle 5.13: Anregungsenergie der DRs vom KL_3L_3 Bereich. Peak-Nr.: Bezeichnungs-Nummer der Resonanz in dieser Arbeit, 2. Spalte: theo: theoretische Elektronenstrahlenergie, exp: gemessene Elektronenstrahlenergie, 3. Spalte: ChSt J P: Ladungszustand (Element-artig) mit Drehimpuls J und Parität P, μ : Peakschwerpunkt, Γ : natürliche Halbwärtsbreite, Q: Fanoparameter, Fehler in runden Klammern: (systematischer)(statistischer) oder nur (statistischer)

Peak-Nr.	μ (keV)	FWHM (eV)
18	66.08(9)(3)	250(90)(80)
19	65.95(9)(3)	650(90)(50)
20	65.95(9)(3)	650(90)(50)
21	65.76(9)(1)	690(90)(40)
22	65.76(9)(1)	690(90)(40)
23	63.97(8)(2)	760(80)(40)
24	63.97(8)(2)	760(80)(40)
25	65.494(90)(5)	850(90)(20)
26	65.494(90)(5)	850(90)(20)
27	65.494(90)(5)	850(90)(20)
28	63.838(80)(4)	647(80)(15)
29	63.838(80)(4)	647(80)(15)

Tabelle 5.14: Photonenergie der DRs vom KL_3L_3 Bereich. Peak-Nr.: Bezeichnungs-Nummer der Resonanz in dieser Arbeit, μ : gemessener Peakschwerpunkt, FWHM: gemessene volle Halbwärtsbreite, Fehler in runden Klammern: (systematischer)(statistischer)

Peak-Nr.	theo / exp	ChSt J P	μ (keV)	Γ (eV)
30	theo exp	N 2 -	47.6325 47.663(3)	25.0 58(12)
31	theo exp	N 1 -	47.6853 47.720(6)	39.4 64(13)
32	theo exp	N 2 -	47.6325 47.6628(2)(9)	25.0 41(3)
33	theo exp	O 1/2 +	47.9019 47.937(2)	35.5 37(12)
34	theo exp	O 1/2 +	47.9019 47.932(2)	35.5 58(13)

Tabelle 5.15: Anregungsenergie der DRs vom KL_3L_3 Bereich. Peak-Nr.: Bezeichnungs-Nummer der Resonanz in dieser Arbeit, 2. Spalte: theo: theoretische Elektronenstrahlenergie, exp: gemessene Elektronenstrahlenergie, 3. Spalte:ChSt J P: Ladungszustand (Element-artig) mit Drehimpuls J und Parität P, μ : Peakschwerpunkt, Γ : natürliche Halbwärtsbreite, Fehler in runden Klammern: (systematischer)(statistischer) oder nur (statistischer)

Peak-Nr.	μ (keV)	FWHM (eV)
30	65.491(90)(6)	870(90)(25)
31	65.491(90)(6)	870(90)(25)
32	63.735(80)(8)	585(80)(20)
33	65.39(9)(5)	770(90)(75)
34	63.65(8)(1)	545(80)(40)

Tabelle 5.16: Photonenergie der DRs vom KL_3L_3 Bereich. Peak-Nr.: Bezeichnungs-Nummer der Resonanz in dieser Arbeit, μ : gemessener Peakschwerpunkt, FWHM: gemessene volle Halbwärtsbreite, Fehler in runden Klammern: (systematischer)(statistischer)

He-artiger Resonanzen liegt ca. 20 eV höher als theoretisch erwartet, die bei den anderen Zuständen ca. 30 eV. Je weniger Elektronen, desto zuverlässiger ist das theoretische Ergebnis. Die 20 eV Verschiebung zu den He-artigen Resonanzenergien könnte von unbeachteten systematischen Fehlerquellen herrühren, da Absolutmessungen, wie hier bei der Elektronenstrahlenergie, für solche Fehler anfällig sind. Die Messung Photonenergie wurde mittels dem charakteristischen Spektrum des radioaktiven Elements ^{241}Am kalibriert und zählt daher nicht zu den Absolutmessungen. Eine systematische Fehlerquelle würde lediglich die Kalibrationsfunktion verzerren. Aber selbst wenn man die Verschiebung der Energieachse bezüglich der He-artigen Resonanzen berücksichtigt, bleiben für die übrigen Resonanzen immer noch ca. 10 eV Verschiebung übrig. Dies ist bei schweren, hochgeladenen Ionen kein Einzelfall (siehe [Mäckel, 2006]). Die theoretischen Berechnungen solcher Energien gestaltet sich durch QED-Beiträge und Kerngrößeneffekte als schwierig. Präzisere Messungen könnten zum hierbei zum besseren Verständnis führen.

Die Ergebnisse dieser Arbeit zeigen, Abweichungen von Theorie und Experiment bei Rekombinationsenergien von schweren, hochgeladenen Ionen nichts Außergewöhnliches ist. Theoretische Werte für Ionen mit wenigen Elektronen gelten als verlässlich und könnten sogar zur Kalibration genutzt werden. Für Ionen mit vielen Elektronen können die experimentellen Werte genutzt werden um Theorien zu überarbeiten und zu testen.

6 Zusammenfassung / Ausblick

In dieser Arbeit wurden Ionisationspotentiale und dielektronische Resonanzen von hochgeladenen Iridiumionen vermessen. Die Iridiumionen wurden in der HD-EBIT erzeugt und gefangen. Die aus den Rekombinationsprozessen stammenden Photonen wurden detektiert und ihre Energie zusammen mit der Elektronenstrahlenergie und Strom vermessen. Charakteristische Merkmale spiegelten sich in den Messergebnissen wieder, die Aufschluss über die gesuchten Energien gaben.

Im Allgemeinen konnten eine gute Übereinstimmung mit aktuellen Strukturrechnungen festgestellt werden. Künftige Experimente könnten mithilfe der Effekte von Absorptionskanten noch genauere Resultate erzielen, wenn entsprechend längere und systematischere Messkampagnen durchgeführt würden, was im Rahmen der vorliegenden Arbeit zeitlich nicht möglich war. Stärkere, genauestens vermessene DR-Resonanzen, würden dann für weitere Messungen schwächerer Resonanzen als Kalibration dienen, was die Messungen nicht nur vereinfachen sondern auch systematische Fehlerquellen vorbeugen würde.

In Zukunft könnte man auch die Automatisierung von Experimenten weiter ausbauen und für Nutzer leichter und intuitiver gestalten. Dadurch ließe sich nicht nur leichter mehr Statistik sammeln, sondern auch vermehrt abstrakte und komplexe Aufgaben dem Kontrollsystem überlassen, wodurch man Zeit für andere wissenschaftliche Aufgaben einsparen könnte. Zudem lassen sich mit der Software auch gefahrlos Tests und Simulationen durchführen, bevor dem Experimenten Neuerungen hinzugefügt werden. Ein weiterer wichtiger Punkt ist die Flexibilität, da Laborumbauten an der Tagesordnung sind. Die Labboxserver müssen nur entsprechend ihrer Anschlüsse konfiguriert werden, die Deviceserver entsprechend den Verkabelungen der Laborboxen. Die Server oder Clienten, die ausschließlich auf die Deviceserver zugreifen (i.d.R. Taskserver oder GUIs) müssen in der Regel nicht verändert werden. Alle diese Vorteile sprechen für eine vermehrte Verwendung der in dieser Arbeit entwickelten, auf EPICS basierenden Kontrollsoftware in den EBIT-Experimenten.

Teil I

Anhang

A sonstiges Material

Bauteil	Netzteil
Versorgung Helmholtz-Spulen	LakeShore Superconducting Magnet Power Supply Model 622
Temperaturmesser Helmholtz-Spulen	Cyromagnetics, Inc., Model TM-600
Helium-Füllmesser	AMI Liquid Helium Level Monitor Model 135
Drucksonden	Varian Multi-Gauge
Turbopumpen	Varian TV 3000 (oder 70,550,301) contoller

Tabelle A.1: Sonstige verwendete Geräte der HD-EBIT

Linie	Energie / keV	Fehler / keV
$^{241}\text{Am}\gamma$	59.5412	0.0002
$^{241}\text{Am}\gamma$	26.36	0.005
$\text{Np}L_\gamma$	20.77	0.005
$\text{Np}L_{\beta 1}$	17.7502	0.00005
$\text{Np}L_{\beta 2}$	16.84	0.005
$\text{Np}L_{\alpha 1}$	13.9441	0.00005
$\text{Pt}L_{\beta 1}$	11.8	0.005
$\text{Pt}L_{\beta 2,3}$	11.2505	0.00005
$\text{Pt}L_{\alpha 1}$	9.4423	0.00005

Tabelle A.2: Kalibrationslinien der Am241-Quelle (siehe z.B. [Nuc14])

Jahr	Arbeit
2005	F. A. J. González Martínez, Quantum interference in the dielectronic recombination of heavy highly charged ions, Dissertation, Ruperto-Carola University of Heidelberg, Germany
2005	R. S. Orts, Isotopic effect in B-like and Be-like argon ions, Dissertation, Johann Wolfgang Goethe - Universität in Frankfurt am Main, Deutschland
2006	V. Mäckel, Spektroskopische Untersuchung dielektronischer Resonanzen von hochgeladenen Ionen, Diplomarbeit, Ruprecht-Karls-Universität Heidelberg, Deutschland
2007	G. Brenner, Quantenelektrodynamische Einflüsse auf die Lebensdauer metastabiler Zustände, Dissertation, Ruprecht-Karls-Universität Heidelberg, Deutschland

Tabelle A.3: Abschlussarbeiten mittels der HD-EBIT bis 2007

Jahr	Arbeit
2008	A. Krauß, Vollständig differentielle Experimente zum Elektroneneinfang im langsamen Ion-Atom Stoß, Diplomarbeit, Ruprecht-Karls-Universität Heidelberg, Deutschland
2008	C. Beilmann, Beobachtung resonanter Elektroneneinfangprozesse höherer Ordnung in hochgeladenem Krypton, Diplomarbeit, Ruprecht-Karls-Universität Heidelberg, Deutschland
2008	M. Binder, Spektroskopie an hoch geladenen Ionen aus der EBIT im Sichtbaren und im nahen Ultraviolett, Diplomarbeit, Max-Planck-Institut für Kernphysik, Heidelberg, Deutschland
2009	R. Klawitter, Resonant laser spectroscopy of a visible magnetic dipole transition in Ar ¹³⁺ , Diplomarbeit, Ruprecht-Karls-Universität Heidelberg, Deutschland
2009	S. Higgins, Implementation of a Deceleration Beamline for the Investigation of Charge Exchange Processes using Highly Charged Ions, MSci Thesis, Blackett Laboratory, Imperial College London, United Kingdom
2009	S. Bernitt, Optimierung der Ladungszustandsverteilung in einer EBIT durch resonante Photorekombination, Diplomarbeit, Ruprecht-Karls-Universität Heidelberg, Deutschland
2010	V. Mäckel, Laserspektroskopie hochgeladener Ionen an der Heidelberger Elektronenstrahl-Ionenfalle, Dissertation, Ruprecht-Karls-Universität Heidelberg, Deutschland
2010	P. Mrowczynski, Konstruktion und Inbetriebnahme eines Flugzeit-Spektrometers für Ionen in Ladungsaustausch-Reaktionen an der Heidelberg-EBIT, Diplomarbeit, Ruprecht-Karls-Universität Heidelberg, Deutschland
2010	J. Link, Hochgenaue Laborbestimmung der Wellenlänge des verbotenen Übergangs der FeXIV-Linie, Bachelorarbeit, Ruprecht-Karls-Universität Heidelberg, Deutschland
2010	K. Kubicek, Absolut- und Relativbestimmungen der Energien von 2p-1s-Übergängen in wasserstoff-, helium- sowie lithiumartigen Schwefel-, Argon- und Eisenionen, Dissertation, Ruprecht-Karls-Universität Heidelberg, Deutschland
2010	R. Ginzler, Wechselwirkung niederenergetischer hochgeladener Ionen mit Materie, Dissertation, Ruprecht-Karls-Universität Heidelberg, Deutschland
2011	K. Schnorr, Laserspektroskopie hochgeladener Ionen an einer EBIT, Diplomarbeit, Justus-Liebig-Universität Gießen, Deutschland
2011	T. Ballance, Commissioning of a cryogenic Paul trap for highly charged ions, MSci thesis, Blackett Laboratory, Imperial College London, United Kingdom
2014	D. Hollain, Vermessung vom hochgeladenen Iridium mithilfe eines neuen Kontrollsystems, Masterarbeit, Ruprecht-Karls-Universität Heidelberg, Deutschland

Tabelle A.4: Abschlussarbeiten mittels der HD-EBIT von 2008 bis 2014

B Programmskripte

B.1 Python-Skript für NI-PCI Ansteuerung

```
1 # -*- coding: cp1252 -*-
2
3 # labbox class for labbox-server
4 # file: labbox_ni-01.py
5 # Only for NI Box (NI-PCI 6229 or NI-PCI 6703)
6 # no single in/outputs, they are listet in the tasks
7 # according to: http://pythonhosted.org/PyDAQmx/usage.html
8 # written in Python 2.7
9
10 # 13./17./27. 02. / 08./28./29. 04. / 07.05. 2014
11 # Daniel Hollain (master student)
12
13 import PyDAQmx
14 import PyDAQmx.DAQmxTypes
15 import time
16 import numpy
17
18 SAMPLESPERCHANNEL = 2
19 SAMPLESPERCHANNELHALF = int(SAMPLESPERCHANNEL/2.0)
20
21 # class
22 class labbox:
23     def __init__(self):
24         self.good = True
25
26         self.ais_list = []
27         self.ais_task = None
28         self.data_ais = None
29         self.ais_nr = 0
30         self.ai_arraysizeinsamps = 0
31         self.act_ais = []
32         self.last_ais = []
33         self.read = PyDAQmx.DAQmxTypes.int32()
34
35         self.aos_list = []
```

```

36     self.aos_task = None
37     self.data_aos = None
38     self.aos_nr = 0
39     self.last_aos = []
40
41     self.dis_list = []
42     self.dis_task = None
43     self.data_dis = None
44     self.dis_nr = 0
45     self.act_dis = []
46     self.last_dis = []
47     self.bytesPerSamp = PyDAQmx.DAQmxTypes.int32()
48
49     self.dos_list = []
50     self.dos_task = None
51     self.data_dos = None
52     self.dos_nr = 0
53     self.last_dos = []
54     return
55
56 # ckeck error
57 def chkerr(self, err):
58     if err:
59         raise
60     return None
61
62 def __del__(self):
63     if self.ais_task!=None:
64         self.ais_task.ClearTask()
65     if self.aos_task!=None:
66         self.aos_task.ClearTask()
67     if self.dis_task!=None:
68         self.dis_task.ClearTask()
69     if self.dos_task!=None:
70         self.dos_task.ClearTask()
71
72 def create_ais(self, channels):
73     try:
74         for i in channels.split(","):
75             self.ais_list.append(i)
76             self.ais_nr = len(self.ais_list)
77             self.ai_arraysizeinsamps = SAMPLESPERCHANNEL*
self.ais_nr
78

```

```

79         self.data_ais = []
80         for i in range(self.ai_arraysizeinsamps):
81             self.data_ais.append(0.0)
82
83         self.data_ais = numpy.zeros(self.
ai_arraysizeinsamps , dtype=numpy.float64)
84         self.ais_task = PyDAQmx.Task()
85         self.chkerr(self.ais_task.CreateAIVoltageChan(
channels ,"" ,PyDAQmx.DAQmx_Val_Cfg_Default , -10.0,10.0 ,
PyDAQmx.DAQmx_Val_Volts ,None))
86         self.chkerr(self.ais_task.CfgSampClkTiming(""
,10000.0,PyDAQmx.DAQmx_Val_Rising,PyDAQmx.
DAQmx_Val_FiniteSamps ,SAMPLESPERCHANNEL))
87
88         for i in self.ais_list:
89             self.last_ais.append(0.0)
90             self.act_ais.append(0.0)
91
92     except:
93         print "Error in create_ais():", channels
94         self.good = False
95     return None
96
97
98     def create_aos(self ,channels):
99         try:
100             for i in channels.split(","):
101                 self.aos_list.append(i)
102             self.aos_nr = len(self.aos_list)
103
104             self.data_aos = []
105             for i in range(self.aos_nr):
106                 self.data_aos.append(0.0)
107
108             self.data_aos = numpy.zeros(self.aos_nr , dtype=
numpy.float64)
109             self.aos_task = PyDAQmx.Task()
110             self.chkerr(self.aos_task.CreateAOVoltageChan(
channels ,"" , -10.0,10.0,PyDAQmx.DAQmx_Val_Volts ,""))
111
112             for i in self.aos_list:
113                 self.last_aos.append(0.0)
114         except:
115             print "Error in create_aos():", channels

```

```

116         self.good = False
117     return None
118
119
120     def create_dis(self, channels): # bit inputs
121     try:
122         for i in channels.split(","):
123             self.dis_list.append(i)
124             self.dis_nr = len(self.dis_list)
125
126             self.data_dis = []
127             for i in range(self.dis_nr):
128                 self.data_dis.append(False)
129
130             self.data_dis = numpy.zeros(self.dis_nr, dtype=
numpy.uint8)
131             self.dis_task = PyDAQmx.Task()
132             self.dis_task.CreateDChan(channels, "", PyDAQmx.
DAQmx_Val-ChanForAllLines)
133
134             for i in self.dis_list:
135                 self.last_dis.append(0.0)
136                 self.act_dis.append(0.0)
137     except:
138         print "Error in create_dis():", channels
139         self.good = False
140     return None
141
142
143     def create_dos(self, channels):
144     try:
145         for i in channels.split(","):
146             self.dos_list.append(i)
147             self.dos_nr = len(self.dos_list)
148
149             self.data_dos = []
150             for i in range(self.dos_nr):
151                 self.data_dos.append(False)
152
153             self.data_dos = numpy.zeros(self.dos_nr, dtype=
numpy.uint8)
154             self.dos_task = PyDAQmx.Task()
155             self.chkerr(self.dos_task.CreateDOChan(channels,
"", PyDAQmx.DAQmx_Val-ChanForAllLines))

```

```

156
157         for i in self.dos_list:
158             self.last_dos.append(0.0)
159     except:
160         print "Error in create_dos():", channels
161         self.good = False
162     return None
163
164     def get_ais(self):
165         try:
166             self.chkerr(self.ais_task.StartTask())
167             self.chkerr(self.ais_task.ReadAnalogF64(
168 SAMPLESPERCHANNEL,10.0,PyDAQmx.DAQmx_Val_GroupByChannel,
169 self.data_ais,self.ai_arraysizeinsamps,PyDAQmx.byref(self
170 .read),None))
171             self.chkerr(self.ais_task.StopTask())
172             for i in range(self.ais_nr):
173                 self.act_ais[i] = self.last_ais[i] = float(
174 self.data_ais[SAMPLESPERCHANNEL*i+SAMPLESPERCHANNELHALF])
175             return self.act_ais
176         except:
177             print "Error in get_ais()"
178             return self.last_ais
179         return None
180
181     def set_ais(self, values):
182         return None
183
184     def set_aos(self, values):
185         try:
186             self.data_aos = numpy.array(values, dtype=numpy.
187 float64)
188             self.chkerr(self.aos_task.StartTask())
189             self.chkerr(self.aos_task.WriteAnalogF64
190 (1,1,10.0,PyDAQmx.DAQmx_Val_GroupByChannel,self.data_aos,
191 None,None))
192             self.chkerr(self.aos_task.StopTask())
193             for i in range(self.aos_nr):
194                 self.last_aos[i] = values[i]
195             return True
196         except:
197             print "Error in set_aos():", values

```

```

193         return False
194     return None
195
196     def get_aos(self):
197         return self.last_aos
198
199
200
201     def get_dis(self):
202         try:
203             self.chkerr(self.dis_task.StartTask())
204             self.chkerr(self.dis_task.ReadDigitalLines(
PyDAQmx.DAQmx_Val_Auto,10.0,PyDAQmx.
DAQmx_Val_GroupByChannel,self.data_dis,self.dis_nr,
PyDAQmx.byref(self.read),PyDAQmx.byref(self.bytesPerSamp)
,None))
205             self.chkerr(self.dis_task.StopTask())
206             for i in range(self.dis_nr):
207                 self.act_dis[i] = self.last_dis[i] = bool(
self.data_dis[i])
208             return self.act_dis
209         except:
210             print "Error in get_dis()"
211             return self.last_dis
212         return None
213
214     def set_dis(self, values):
215         return None
216
217
218
219     def set_dos(self, values):
220         try:
221             self.data_dos = numpy.array(values, dtype=numpy.
uint8)
222             self.chkerr(self.dos_task.StartTask())
223             self.chkerr(self.dos_task.WriteDigitalLines
(1,1,10.0,PyDAQmx.DAQmx_Val_GroupByChannel,self.data_dos,
None,None))
224             self.chkerr(self.dos_task.StopTask())
225
226             for i in range(self.dos_nr):
227                 self.last_dos[i] = values[i]
228             return True

```

```
229         except:
230             print "Error in set_dos():", values
231             return False
232         return None
233
234     def get_dos(self):
235         return self.last_dos
```


B.2 Python-Skript für NI-GPIB Ansteuerung (für Keithley 2002 Multimeter)

```
1 # -*- coding: cp1252 -*-
2
3 # labbox class for labbox-server
4 # file: labbox_gpib_01.py
5 # only for Keithley 2002 Multimeter GPIB devices
6 # according to: http://pyvisa.readthedocs.org/en/latest/tutorial.html
7 # written in Python 2.7
8
9 # 13./17./27. 02. / 08./28./29. 04. / 07.05. 2014
10 # Daniel Hollain (master student)
11
12
13 import time
14
15 # for GPIB
16 import visa
17 import struct
18 rm = visa.ResourceManager()
19
20 # class
21 class labbox:
22     def __init__(self):
23         self.good = True
24
25         self.gpibdevices = {}
26         self.act_val = {}
27         self.last_val = {}
28
29
30     def __del__(self):
31         for i in self.gpibdevices:
32             time.sleep(0.2)
33             self.gpibdevices[i].write("*rst")
34             time.sleep(0.2)
35             self.gpibdevices[i].write("*cls")
36             time.sleep(0.2)
37             self.gpibdevices[i].write(':init:cont on')
38         time.sleep(0.2)
39
```

```

40     # create channels from config-file
41     def create_ai(self, channel): # analog in
42         try:
43             self.gpibdevices[channel] = rm.get_instrument(
channel)
44             self.gpibdevices[channel].write("*rst")
45             time.sleep(0.2)
46             self.gpibdevices[channel].write("status:preset")
47             time.sleep(0.2)
48             self.gpibdevices[channel].write("*cls")
49             time.sleep(0.2)
50             self.gpibdevices[channel].write("format:data
sreal")
51             self.gpibdevices[channel].value_format = float
52
53             # non-SCPI commands implemented by Model 2001 (
Keithley Multimeter)
54             self.gpibdevices[channel].write(":sens:volt:dc:
range:auto 0") # autorange off
55             self.gpibdevices[channel].write(":sens:volt:dc:
range:upp 10") # upper range 10V
56             self.gpibdevices[channel].write(":sens:volt:dc:
nplc 4") # highest accuracy (number of power line cycles)
57             self.gpibdevices[channel].write(":sens:volt:dc:
aver:tcon rep") # repeating filter (fill stack, average,
flush stack)
58             self.gpibdevices[channel].write(":sens:volt:dc:
aver:coun 100") # average over 100 measurements
59
60             self.gpibdevices[channel].write(":init:cont on")
61
62             self.act_val[channel] = 0.0
63             self.last_val[channel] = 0.0
64         except:
65             print "Error in create_ai():", channel
66             self.good = False
67
68
69
70     def get_ai(self, channel):
71         try:
72             try:
73                 self.act_val[channel] = struct.unpack('<f',
self.gpibdevices[channel].ask(":fetch?"))[0]

```

```
74         except:
75             pass
76         self.last_val[channel] = self.act_val[channel]
77         return self.act_val[channel]
78     except:
79         return self.last_val[channel]
80
81 def set_ai(self, channel, val):
82     return None
```

B.3 Python-Basisskript Labboxserver

```
1 # -*- coding: cp1252 -*-
2
3 # Basis labbox-server
4 # for HDEBIT control system
5 # file: labbox_server_08.py
6 # written in Python 2.7
7
8 # needs labbox_ni_01.py for NI6229, NI6703
9 # needs labbox_gpib_01.py for IEEE488
10
11 # 10./12./13./17./28. 02. / 01./11./14./15./17./29. 04. /
    05./06./07./12. 05. 2014
12 # Daniel Hollain (master student)
13
14 # safety stop
15 safetystop = "not OK"
16 while safetystop != "OK":
17     safetystop = raw_input('labbox_server_08, safety stop\
18         \n close window to exit\n or \
19         \ntype \'OK\' and press enter to continue !  ')
20     print ""
21 print ""
22
23 # change name of configure-file is necessary
24 CONFIGUREFILE = 'configure_labboxserver'
25
26 # imports
27 import time
28 from pycaspy import SimpleServer, Driver
29 import epics
30 from pycaspy.tools import ServerThread
31 import thread
32 import labbox_ni_01
33 import labbox_gpib_01
34
35 exec("import "+CONFIGUREFILE)
36 exec("cht = "+CONFIGUREFILE+".cht")
37 exec("prefix = "+CONFIGUREFILE+".prefix")
38 exec("bt = "+CONFIGUREFILE+".bt")
39
40 # card-table
```

```

41 exec("ct = "+CONFIGUREFILE+".ct")
42
43 for i in ct:
44     if ct[i]['desc']== 'NI6229' or ct[i]['desc']== 'NI6703':
45         ct[i]['string_ais'] = ""
46         ct[i]['string_aos'] = ""
47         ct[i]['string_dis'] = ""
48         ct[i]['string_dos'] = ""
49
50         ct[i]['pvlist_ais'] = []
51         ct[i]['pvlist_aos'] = []
52         ct[i]['pvlist_dis'] = []
53         ct[i]['pvlist_dos'] = []
54
55         ct[i]['set_aos'] = []
56         ct[i]['set_dos'] = []
57         ct[i]['ind_aos'] = {}
58         ct[i]['ind_dos'] = {}
59
60         ct[i]['ais'] = False
61         ct[i]['aos'] = False
62         ct[i]['dis'] = False
63         ct[i]['dos'] = False
64
65     elif ct[i]['desc']== 'IEEE488':
66         ct[i]['chlist'] = []
67         ct[i]['pvlist_ais'] = []
68         ct[i]['ais'] = False
69
70
71 for channel in cht:
72     # label
73     for card in ct:
74         if card in channel:
75             if ct[card]['desc']== 'NI6229' or ct[card]['desc']
76 ]== 'NI6703':
77                 string_for_ch = ""
78                 if cht[channel]['channel_type'] == 'ai':
79                     string_for_ch = 'string_ais'
80                     ct[card]['ais'] = True
81                     ct[card]['pvlist_ais'].append(channel+'.
82 VAL')
83
84                 elif cht[channel]['channel_type'] == 'ao':
85                     string_for_ch = 'string_aos'

```

```

83         ct[card]['aos'] = True
84         ct[card]['pvlist_aos'].append(channel+'.
VAL')
85         ct[card]['set_aos'].append(0.0)
86         ct[card]['ind_aos'][channel+'.VAL'] =
len(ct[card]['set_aos'])-1
87         elif cht[channel]['channel_type'] == 'di':
88             string_for_ch = 'string_dis'
89             ct[card]['dis'] = True
90             ct[card]['pvlist_dis'].append(channel+'.
VAL')
91         elif cht[channel]['channel_type'] == 'do':
92             string_for_ch = 'string_dos'
93             ct[card]['dos'] = True
94             ct[card]['pvlist_dos'].append(channel+'.
VAL')
95             ct[card]['set_dos'].append(False)
96             ct[card]['ind_dos'][channel+'.VAL'] =
len(ct[card]['set_dos'])-1
97
98             if ct[card][string_for_ch]:
99                 ct[card][string_for_ch] += ','
100            ct[card][string_for_ch] += channel
101
102
103
104            elif ct[card]['desc']=='IEEE488':
105                if cht[channel]['channel_type'] == 'ai':
106                    ct[card]['ais'] = True
107                    ct[card]['chlist'].append(channel)
108                    ct[card]['pvlist_ais'].append(channel+'.
VAL')
109
110 channel_list = []
111 for i in cht:
112     channel_list.append(i+'.VAL')
113
114 # process variables
115 pvdb = {'SERVER.COMMAND':{'type':'string','value':''},
116         'SERVER.RUNNING':{'type':'int','value':0},
117         'SERVER.SHUTDOWN':{'type':'int','value':0},
118         }
119 exec("pvdb['SERVER.KEEPER'] = {'type':'string','value':'"+
CONFIGUREFILE+'.keeper}")

```

```

120
121 for card in ct:
122     pvdb[card+'.DELAY'] = {'type': 'float', 'prec': 4}
123
124 for i in cht:
125     # get type of channel
126     if cht[i]['channel_type'] == 'ao':
127         pvdb[i+'.VAL'] = {}
128         pvdb[i+'.VAL']['prec'] = 4
129         pvdb[i+'.VAL']['unit'] = cht[i]['unit']
130         pvdb[i+'.VAL']['lolo'] = cht[i]['limit_low']
131         pvdb[i+'.VAL']['low'] = cht[i]['limit_low']
132         pvdb[i+'.VAL']['high'] = cht[i]['limit_high']
133         pvdb[i+'.VAL']['hihi'] = cht[i]['limit_high']
134         pvdb[i+'.VAL']['lolim'] = cht[i]['limit_low']
135         pvdb[i+'.VAL']['hilim'] = cht[i]['limit_high']
136         pvdb[i+'.EGU'] = {'type': 'string', 'value': cht[i][ '
unit' ]}
137         pvdb[i+'.NAME'] = {'type': 'string', 'value': prefix+i}
138         pvdb[i+'.DESC'] = {'type': 'string', 'value': 'analog
output' }
139
140     elif cht[i]['channel_type'] == 'ai':
141         pvdb[i+'.VAL'] = {}
142         pvdb[i+'.VAL']['prec'] = 4
143         pvdb[i+'.VAL']['unit'] = cht[i]['unit']
144         pvdb[i+'.VAL']['lolo'] = cht[i]['limit_low']
145         pvdb[i+'.VAL']['low'] = cht[i]['limit_low']
146         pvdb[i+'.VAL']['high'] = cht[i]['limit_high']
147         pvdb[i+'.VAL']['hihi'] = cht[i]['limit_high']
148         pvdb[i+'.VAL']['lolim'] = cht[i]['limit_low']
149         pvdb[i+'.VAL']['hilim'] = cht[i]['limit_high']
150         pvdb[i+'.EGU'] = {'type': 'string', 'value': cht[i][ '
unit' ]}
151         pvdb[i+'.NAME'] = {'type': 'string', 'value': prefix+i}
152         pvdb[i+'.DESC'] = {'type': 'string', 'value': 'analog
input' }
153
154     elif cht[i]['channel_type'] == 'bi':
155         pvdb[i+'.VAL'] = {}
156         pvdb[i+'.VAL']['type'] = 'int'
157         pvdb[i+'.VAL']['unit'] = cht[i]['unit']
158         pvdb[i+'.VAL']['lolo'] = cht[i]['limit_low']
159         pvdb[i+'.VAL']['low'] = cht[i]['limit_low']

```

```

160     pvdb[i+'.VAL'] ['high'] = cht[i] ['limit_high']
161     pvdb[i+'.VAL'] ['hihi'] = cht[i] ['limit_high']
162     pvdb[i+'.VAL'] ['lolim'] = cht[i] ['limit_low']
163     pvdb[i+'.VAL'] ['hilim'] = cht[i] ['limit_high']
164     pvdb[i+'.EGU'] = {'type': 'string', 'value': cht[i] [ '
unit' ]}
165     pvdb[i+'.NAME'] = {'type': 'string', 'value': prefix+i}
166     pvdb[i+'.DESC'] = {'type': 'string', 'value': 'digital
input' }
167
168     elif cht[i] ['channel_type'] == 'bo':
169         pvdb[i+'.VAL'] = {}
170         pvdb[i+'.VAL'] ['type'] = 'int'
171         pvdb[i+'.VAL'] ['unit'] = cht[i] ['unit']
172         pvdb[i+'.VAL'] ['lolo'] = cht[i] ['limit_low']
173         pvdb[i+'.VAL'] ['low'] = cht[i] ['limit_low']
174         pvdb[i+'.VAL'] ['high'] = cht[i] ['limit_high']
175         pvdb[i+'.VAL'] ['hihi'] = cht[i] ['limit_high']
176         pvdb[i+'.VAL'] ['lolim'] = cht[i] ['limit_low']
177         pvdb[i+'.VAL'] ['hilim'] = cht[i] ['limit_high']
178         pvdb[i+'.EGU'] = {'type': 'string', 'value': cht[i] [ '
unit' ]}
179         pvdb[i+'.NAME'] = {'type': 'string', 'value': prefix+i}
180         pvdb[i+'.DESC'] = {'type': 'string', 'value': 'digital
output' }
181
182
183 # driver for server
184 class LDriver(Driver):
185
186     def __init__(self):
187         super(LDriver, self).__init__()
188         self.box = {}
189         self.setParam('SERVER.RUNNING', 0)
190         self.updatePVs()
191         self.lock_thread_running = thread.allocate_lock()
192         self.restart_ready = True
193
194         for card in ct:
195             if ct[card] ['desc'] == 'NI6229' or ct[card] ['desc'
] == 'NI6703':
196                 self.box[card] = labbox_ni_01.labbox()
197                 if ct[card] ['ais']:
198                     self.box[card].create_ais(ct[card] [ '

```



```

199     string_ais ''])
200         if ct[card]['aos']:
201             self.box[card].create_aos(ct[card][ '
202     string_aos ''])
203         if ct[card]['dis']:
204             self.box[card].create_dis(ct[card][ '
205     string_dis ''])
206         if ct[card]['dos']:
207             self.box[card].create_dos(ct[card][ '
208     string_dos ''])
209
210         elif ct[card]['desc']=='IEEE488':
211             self.box[card] = labbox_gpib_01.labbox()
212             if ct[card]['ais']:
213                 for ch in ct[card]['chlist']:
214                     self.box[card].create_ai(ch)
215
216     self.thread_box_on = {}
217     self.thread_box_running = {}
218
219     for i in ct:
220         self.thread_box_on[i] = False
221         self.thread_box_running[i] = False
222         self.setParam(i+'.DELAY',0.01)
223
224     return None
225
226 def post_constructor(self):
227     self.lock_thread_running.acquire()
228     self.start_running()
229     self.shutdown()
230     self.lock_thread_running.release()
231     return None
232
233 def start_running(self): # or restart
234     if self.getParam('SERVER.RUNNING'):
235         self.stop_running()
236
237     self.setParam('SERVER.RUNNING',0)
238     self.updatePVs()
239
240     for card in ct:
241         self.thread_box_on[card] = True
242         if ct[card]['desc']=='NI6229' or ct[card]['desc']

```

```

] == 'NI6703':
239         thread.start_new_thread(self.thread_box_ni,
    (card,))
240         elif ct[card]['desc'] == 'IEEE488':
241             thread.start_new_thread(self.thread_box_gpib
    , (card,))
242         else:
243             self.thread_box_on[card] = False
244
245         self.setParam('SERVER.RUNNING', 1)
246         self.updatePVs()
247         return True
248
249     def stop_running(self): # stop server
250         if not self.getParam('SERVER.RUNNING'):
251             return False
252
253         # stop threads
254         for i in self.thread_box_on:
255             self.thread_box_on[i] = False
256
257         # wait for end
258         timestart = time.time()
259         timeout = 60.0
260         check = True
261         while check and timeout > 0:
262             check = False
263             for i in bt:
264                 check += self.thread_box_running[i]
265             timeout = time.time() - timestart
266
267         self.setParam('SERVER.RUNNING', 0)
268         self.updatePVs()
269         return True
270
271
272     def __del__(self):
273         super(LDriver, self).__del__()
274
275     def pre_destructor(self):
276         self.lock_thread_running.acquire()
277         self.stop_running()
278         self.lock_thread_running.release()
279

```

```

280     def thread_box_ni(self , card):
281         self.thread_box_running[card] = True
282         while self.thread_box_on[card]:
283             if ct[card]['ais']:
284                 values = self.box[card].get_ais()
285                 ind=0
286                 for pv in ct[card]['pvlist_ais']:
287                     self.setParam(pv, values[ind])
288                     ind += 1
289                 self.updatePVs()
290
291             if ct[card]['aos']:
292                 self.box[card].set_aos(ct[card]['set_aos'])
293
294             if ct[card]['dis']:
295                 values = self.box[card].get_dis()
296                 ind=0
297                 for pv in ct[card]['pvlist_dis']:
298                     self.setParam(pv, values[ind])
299                     ind += 1
300                 self.updatePVs()
301
302             if ct[card]['dos']:
303                 self.box[card].set_dos(ct[card]['set_dos'])
304
305             if not self.thread_box_on[card]:
306                 self.thread_box_running[card] = False
307                 return None
308
309             time.sleep(self.getParam(card+'.DELAY'))
310
311         self.thread_box_running[card] = False
312         return None
313
314
315
316     def thread_box_gpib(self , card):
317         self.thread_box_running[card] = True
318         while self.thread_box_on[card]:
319             if ct[card]['ais']:
320                 for i in range(len(ct[card]['chlist'])):
321                     value = self.box[card].get_ai(ct[card]['
chlist'][i])
322                     self.setParam(ct[card]['pvlist_ais'][i],

```

```

value)
323         self.updatePVs()
324
325         if not self.thread_box_on[card]:
326             self.thread_box_running[card] = False
327             return None
328
329         time.sleep(self.getParam(card+'.DELAY'))
330         self.thread_box_running[card] = False
331         return None
332
333     # set Set-Values to zero
334     def shutdown(self):
335         # stop special programmed threads
336         # ...
337         for i in cht:
338             if cht[i]['channel_type'] == 'ai' or cht[i]['
channel_type'] == 'bi':
339                 continue
340             if cht[i]['limit_low'] > 0.0:
341                 self.write(i+'.VAL',cht[i]['limit_low'])
342             else:
343                 self.write(i+'.VAL',0)
344         self.updatePVs()
345         return None
346
347     def thread_restart(self):
348         self.restart_ready = False
349         timestart = time.time()
350         timeout = 0.0
351         check = True
352         while check and timeout < 60.0:
353             check = False
354             for i in bt:
355                 check += self.thread_box_running[i]
356             timeout = time.time() - timestart
357         self.restart_ready = True
358
359
360     def read(self,pv):
361         return self.getParam(pv)
362
363
364     def write(self,pv,value):

```

```

365     if pv == 'SERVER.RUNNING':
366         self.lock_thread_running.acquire()
367         if value: # if true: (re)start all threads
368             thread.start_new_thread(self.start_running,
    ())
369         else: # stop server
370             thread.start_new_thread(self.stop_running,
    ())
371         self.lock_thread_running.release()
372         return True
373
374     elif pv=='SERVER.KEEPER':
375         self.setParam(pv, value)
376         self.updatePVs()
377         return True
378
379     if not self.getParam('SERVER.RUNNING'):
380         return False
381
382     if pv in channel_list:
383         pv_red = pv[:-4]
384         if cht[pv_red]['channel_type'] == 'ao' or cht[
pv_red]['channel_type'] == 'do':
385             if cht[pv_red]['limit_low'] <= value <= cht[
pv_red]['limit_high']:
386                 self.setParam(pv, value)
387                 self.updatePVs()
388                 if cht[pv_red]['channel_type'] == 'ao':
389                     ct[cht[pv_red]['box']]['set_aos'][
ct[cht[pv_red]['box']]['ind_aos'][pv] ] = value
390                 elif cht[pv_red]['channel_type'] == 'do'
:
391                     ct[cht[pv_red]['box']]['set_dos'][
ct[cht[pv_red]['box']]['ind_dos'][pv] ] = value
392             else:
393                 return False
394         else:
395             return False
396
397     elif pv == 'SERVER.SHUTDOWN':
398         if value==1:
399             thread.start_new_thread(self.shutdown,())
400             self.setParam(pv,0)
401         else:

```

```

402         self.setParam(pv, value)
403         self.updatePVs()
404         return True
405
406     elif pv.endswith('.DELAY'):
407         try:
408             if value >= 0.0:
409                 self.setParam(pv, value)
410                 self.updatePVs()
411                 return True
412             else:
413                 return False
414         except:
415             return False
416
417     else:
418         try:
419             self.setParam(pv, value)
420             self.updatePVs()
421             return True
422         except:
423             return False
424
425     return False
426
427
428     self.updatePVs()
429     return True
430
431     # for server-interpreter
432     def eval_command(self, command):
433         if command=='exit': # exit
434             return True
435
436         elif command=='help': # show commands
437             print ""
438             print "Commands:"
439             print "{0:<25}show commands and their
descriptions".format('help')
440             print "{0:<25}exit programm".format('exit')
441             print "{0:<25}stop server".format('stop')
442             print "{0:<25}restart server".format('restart')
443             print "{0:<25}set all SET-values to zero".format
('shutdown')

```

```

444         print "{0:<25}read channel".format('get <channel
>')
445         print "{0:<25}put value (float!) to channel".
format('put <channel> <value>')
446         print "{0:<25}return loop-delay of thread of <
box>".format('delay <box>')
447         print "{0:<25}set loop-delay of thread of <box>
to <new delay>".format('delay <box> <new delay>')
448         print "{0:<25}show status of server".format('
status')
449         print "{0:<25}show the channels".format('
showchannels')
450         print "{0:<25}is channel in server".format('is <
channel>')
451         print ""
452
453     elif command=='stop':
454         self.lock_thread_running.acquire()
455         self.stop_running()
456         self.lock_thread_running.release()
457
458     elif command=='restart':
459         self.lock_thread_running.acquire()
460         self.start_running()
461         self.lock_thread_running.release()
462
463     elif command=='shutdown':
464         thread.start_new_thread(self.shutdown,())
465
466     elif command.startswith('get'):
467         channel = command[4:]
468         print ""
469         if channel in pvdb:
470             print channel, self.getParam(channel)
471         else:
472             print "Not there"
473         print ""
474
475     elif command.startswith('put'):
476         try:
477             both = command[4:].split()
478             if len(both) == 2:
479                 self.write(both[0], float(both[1]))
480             else:

```

```

481         raise
482     except:
483         print ""
484         print "wrong command"
485         print ""
486
487     elif command.startswith( 'delay '):
488         try:
489             cmds = command[6:].split()
490             if len(cmds) == 1:
491                 print ""
492                 print self.getParam(cmds[0]+ '.DELAY')
493                 print ""
494             elif len(cmds) == 2:
495                 self.write(cmds[0]+ '.DELAY', float(cmds
[1]))
496             else:
497                 raise
498         except:
499             print ""
500             print "wrong command"
501             print ""
502
503     elif command=='status ':
504         print ""
505         if self.getParam( 'SERVER.RUNNING' ):
506             print "RUNNING"
507         else:
508             print "OFF"
509         print ""
510
511     elif command=='showchannels ':
512         print ""
513         for i in cht:
514             print i
515         print ""
516
517     elif command.startswith( 'is '):
518         channel = command[3:]
519         print ""
520         if channel in pvdb:
521             print "Yes"
522         else:
523             print "No"

```



```

524         print ""
525
526     elif command == '':
527         pass
528     else:
529         print ""
530         print "unknown command:", command
531         print ""
532
533     return False
534
535
536
537 # main programm
538 if __name__ == '__main__':
539     server = SimpleServer()
540     server.createPV(prefix, pvdb)
541     driver = LDriver()
542     server.setDebugLevel(0)
543     server_thread = ServerThread(server)
544     server_thread.start()
545     driver.post_constructor()
546
547     print prefix+"Server is running, type \'exit\' to kill
it ... \n"
548     while True:
549         cmd = raw_input(prefix+"Server> ")
550         stop = driver.eval_command(cmd)
551         if stop:
552             break
553
554     driver.pre_destructor()
555     server_thread.stop()
556     print prefix+"Server has stopped\n"

```

B.4 Python-Basisskript Konfiguration für Labboxserver

```
1 # -*- coding: cp1252 -*-
2
3 # configure-file for labbox_server_08_basis.py
4 # for HDEBIT control system
5 # file: configure_labboxserver_basis.py
6 # written in Python 2.7
7
8 # configure according to the examples
9 # (without #)
10
11 # 11.04.2014
12 # Daniel Hollain (master student)
13
14 #####
15
16 # keeper
17 # example:
18 # keeper = 'Daniel (Tel. 490)'
19
20 keeper = ''
21
22 #####
23
24 # prefix (PCNAME:)
25 # example:
26 # prefix = 'EBITCON4:'
27
28 prefix = ''
29
30 #####
31
32 # box-table ('device ':'type')
33 # example:
34 #bt = {
35 #     'Dev1 ':'NI',
36 #     'Dev2 ':'NI',
37 #     'GPIB ':'GPIB',
38 #     }
39
40 # NI for National Instruments
```

```

41 # GPIB for GPIB (e.g. Keithley Multimeter)
42 bt = {
43     }
44
45 #####
46
47 # channel-Table
48 # example:
49 #cht = {
50 #     'Dev1/ao0':{ 'channel_type': 'ao',
51 #                 'box': 'Dev1',
52 #                 'limit_low': -10.0,
53 #                 'limit_high': 10.0,
54 #                 'unit': 'V'
55 #     },
56 #     'Dev2/ai3':{ 'channel_type': 'ai',
57 #                 'box': 'Dev2',
58 #                 'limit_low': -10.0,
59 #                 'limit_high': 10.0,
60 #                 'unit': 'V'
61 #     },
62 #     'GPIB::16':{ 'channel_type': 'ai',
63 #                 'box': 'GPIB',
64 #                 'limit_low': -30.0,
65 #                 'limit_high': 30.0,
66 #                 'unit': 'V'
67 #     },
68 #     }
69
70 cht = {
71     }
72
73 #####
74
75 # card-tree
76 # example:
77 #ct = {
78 #     'Dev1':{
79 #         'desc': 'NI6703',
80 #     },
81 #
82 #     'Dev2':{
83 #         'desc': 'NI6229',
84 #     },

```

```
85 #
86 #     'GPIB':{
87 #         'desc': 'IEEE488',
88 #         },
89 #     }
90
91 ct = {
92     }
93
94 #####
95
96 # you are finish , now save this document
97 # and start labbox_server_08_basis.py with doubleclick
```

```

1 # -*- coding: cp1252 -*-
2
3 # Basis device-server
4 # for HDEBIT control system
5 # file: device_server_08_basis.py
6 # written in Python 2.7
7
8 # 09./10./13./14. 02. / 01./08./14./15./17./18. 04. /
   05./06./26./27. 05. 2014
9 # Daniel Hollain (master student)
10
11 ### stop while writing un update
12 ##print "Server not ready"
13 ##print "write an update"
14 ##exit(0)
15
16 # safety stop
17 safetystop = "not OK"
18 while safetystop != "OK":
19     safetystop = raw_input('device_server_08 , safety stop\
20         \n close window to exit\n or \
21         \ntype \'OK\' and press enter to continue !  ')
22
23 # change name of configure-file is necessary
24 CONFIGUREFILE = "configure_deviceserver"
25
26 # imports
27 import time
28 import copy
29 from pycaspy import SimpleServer , Driver
30 from epics import caget , caput , camonitor , camonitor_clear ,
   PV
31 from pycaspy.tools import ServerThread
32 import thread
33 exec("import "+CONFIGUREFILE)
34 import smtplib
35
36 # channel Table
37 exec("cht = "+CONFIGUREFILE+".cht")
38 exec("prefix = "+CONFIGUREFILE+".prefix")
39 exec("labbox_server = "+CONFIGUREFILE+".labbox_server")
40
41 exec("absender = "+CONFIGUREFILE+".absender")
42 exec("adressat = "+CONFIGUREFILE+".adressat")

```

```

43 exec("betreff = "+CONFIGUREFILE+".betreff")
44 exec("server_adresse = "+CONFIGUREFILE+".server_adresse")
45
46 # factor_up = 1.0/factor_down
47 for i in cht:
48     if cht[i]['factor_down'] != 0.0:
49         cht[i]['factor_up'] = 1.0/cht[i]['factor_down']
50     else:
51         cht[i]['factor_up'] = 0.0
52
53 # process variables
54 # put extra-PVs there
55 pvdb = {
56     'SERVER.RUNNING': {'type': 'int', 'value': 0},
57     'SERVER.INTERLOCK:BREAK': {'type': 'int', 'value': 0},
58     'SERVER.SHUTDOWN': {'type': 'int', 'value': 0},
59
60     'SERVER.TIME': {'type': 'float', 'value': 0.0},
61     'SERVER.TIME:TDELAY': {'type': 'float', 'value': 0.1},
62
63     'SERVER.RAMP:TDELAY': {'type': 'float', 'value': 0.01},
64     'SERVER.RAMP:ON': {'type': 'int', 'value': 0},
65     'SERVER.RAMP:TRUN': {'type': 'int', 'value': 0},
66     'SERVER.RAMP:CHANGE': {'type': 'int', 'value': 0},
67     }
68
69 exec("pvdb['SERVER.KEEPER'] = {'type': 'string', 'value': '"+
    CONFIGUREFILE+".keeper}")
70
71 # check channel table for i, put i in if i is not there
72 def chk_cht(i, desc, postfix, default=0.0, Typ='float'):
73     if desc in cht[i]:
74         pvdb[i+postfix] = {'type': Typ, 'value': cht[i][desc]}
75     else:
76         cht[i][desc] = default
77         pvdb[i+postfix] = {'type': Typ, 'value': default}
78     return
79
80
81 # translate channel table to process variables data base
82 for i in cht:
83     if 'limit_low' not in cht[i]:
84         cht[i]['limit_low'] = -1.0
85     if 'limit_high' not in cht[i]:

```

```

86     cht[i]['limit_high'] = 1.0
87     if 'unit' not in cht[i]:
88         cht[i]['unit'] = ""
89
90     pvdb[i+'.VAL'] = {'type': 'float', 'value':0.0, 'prec':0}
91     if not cht[i]['readonly']:
92         pvdb[i+'.SET'] = {'type': 'float', 'value':0.0}
93         cht[i]['writeflag'] = True
94         chk_cht(i, 'ramp_on', '.RAMP:ON', 0, 'int')
95         chk_cht(i, 'ramp_limit', '.RAMP:LIMIT', 100.0, 'float')
96     else:
97         cht[i]['writeflag'] = False
98
99     if not cht[i]['readonly']:
100         chk_cht(i, 'emergency_value', '.INTERLOCK:EMERGENCYVAL
', 0.0, 'float')
101         chk_cht(i, 'interlock_on', '.INTERLOCK:ON', 0, 'int')
102         chk_cht(i, 'interlock_low', '.INTERLOCK:LOW', cht[i]['
limit_low'], 'float')
103         chk_cht(i, 'interlock_high', '.INTERLOCK:HIGH', cht[i]['
limit_high'], 'float')
104         chk_cht(i, 'interlock_monitor', '.INTERLOCK:MON', 0, 'int')
105
106     pvdb[i+'.VAL']['low'] = cht[i]['limit_low']
107     pvdb[i+'.VAL']['high'] = cht[i]['limit_high']
108     pvdb[i+'.VAL']['lolo'] = cht[i]['limit_low']
109     pvdb[i+'.VAL']['hihi'] = cht[i]['limit_high']
110     pvdb[i+'.VAL']['lolim'] = cht[i]['limit_low']
111     pvdb[i+'.VAL']['hilim'] = cht[i]['limit_high']
112     pvdb[i+'.VAL']['unit'] = cht[i]['unit']
113     if not cht[i]['readonly']:
114         pvdb[i+'.SET']['unit'] = cht[i]['unit']
115         pvdb[i+'.SET']['lolim'] = cht[i]['limit_low']
116         pvdb[i+'.SET']['hilim'] = cht[i]['limit_high']
117         pvdb[i+'.SET']['low'] = cht[i]['limit_low']
118         pvdb[i+'.SET']['high'] = cht[i]['limit_high']
119         pvdb[i+'.SET']['lolo'] = cht[i]['limit_low']
120         pvdb[i+'.SET']['hihi'] = cht[i]['limit_high']
121         pvdb[i+'.INTERLOCK:EMERGENCYVAL']['unit'] = cht[i]['
unit']
122         pvdb[i+'.RAMP:LIMIT']['unit'] = cht[i]['unit']+ '/s'
123
124     pvdb[i+'.HOPR'] = {'type': 'float', 'value':cht[i]['
limit_high']}

```

```

125     pvdb[i+'.LOPR'] = {'type': 'float', 'value': cht[i][ '
limit_low ']}
126     pvdb[i+'.HIGH'] = {'type': 'float', 'value': cht[i][ '
limit_high ']}
127     pvdb[i+'.LOW'] = {'type': 'float', 'value': cht[i][ '
limit_low ']}
128     pvdb[i+'.HIHI'] = {'type': 'float', 'value': cht[i][ '
limit_high ']}
129     pvdb[i+'.LOLO'] = {'type': 'float', 'value': cht[i][ '
limit_low ']}
130     pvdb[i+'.PREC'] = {'type': 'int', 'value': 0}
131     pvdb[i+'.EGU'] = {'type': 'string', 'value': cht[i][ 'unit'
]}
132     pvdb[i+'.NAME'] = {'type': 'string', 'value': prefix+i}
133
134     if cht[i][ 'readonly ']:
135         pvdb[i+'.DESC'] = {'type': 'string', 'value': 'analog
input for '+i}
136     else:
137         pvdb[i+'.DESC'] = {'type': 'string', 'value': 'analog
output for '+i}
138
139     pvdb[i+'.CONN'] = {'type': 'int', 'value': 0}
140
141 # channel table translate (like the inverse)
142 cht_trans = {}
143 for i in cht:
144     cht_trans[cht[i][ 'channel ']+'.VAL'] = i
145     cht_trans[prefix+i+'.VAL'] = i
146     cht_trans[prefix+i+'.SET'] = i
147
148 # driver for server
149 class BasisDriver(Driver):
150
151     # monitor input from labbox-server
152     def callback_input(self, pvname=None, value=None, **kwds
):
153         if pvname==None:
154             return None
155         self.setParam(cht_trans[pvname]+'.VAL', value*cht[
cht_trans[pvname]][ 'factor_up '])
156         self.updatePVs()
157         return None
158

```



```

159     def callback_output(self, pvname=None, value=None, **
160     kwds):
161         if pvname==None:
162             return None
163         val = self.getParam( cht_trans [pvname]+'.VAL')*cht [
164     cht_trans [pvname]][ 'factor_down ' ]
165         if val != value:
166             thread.start_new_thread( self.caput_thread, (
167     pvname, val))
168         return None
169
170     def caput_thread( self ,pv, value ):
171         try:
172             caput( pv, value, timeout=60.0)
173         except:
174             pass
175         return None
176
177     def camonitor_thread( self ,pv, cb ):
178         try:
179             camonitor( pv, callback=cb)
180         except:
181             pass
182         return None
183
184     # monitor connection status of labbox RUNNING
185     def conn_callback_labbox( self, pvname=None, conn=None,
186     **kwds ):
187         if pvname==None:
188             return None
189         pv_labbox = pvname[: -15]
190         if conn: # connected
191             self.labbox_connect [pv_labbox] = True
192             for i in cht:
193                 if cht [i][ 'labbox_server ']==pv_labbox:
194                     self.setParam( i+'.CONN', 1)
195                     if (not cht [i][ 'readonly ']) and self.
196     getParam( 'SERVER.RUNNING' ):
197                         if (self.getParam( 'SERVER.INTERLOCK:
198     BREAK') and self.getParam( i+'.INTERLOCK:ON')) or self.
199     getParam( i+'.RAMP:ON' ):
200                             cht [i][ 'writeflag ' ] = False
201                         else:
202                             cht [i][ 'writeflag ' ] = True

```

```

196         thread.start_new_thread( \
197             self.caput_thread, \
198             (cht[i]['channel']+'.VAL', self.
getParam(i+'.VAL')*cht[i]['factor_down']) \
199         )
200         if cht[i]['writeflag']:
201             self.setParam(i+'.VAL', self.
getParam(i+'.SET'))
202     else: # not connected
203         self.labbox_connect[pv_labbox] = False
204         for i in cht:
205             if cht[i]['labbox_server']==pv_labbox:
206                 self.setParam(i+'.CONN',0)
207                 cht[i]['writeflag'] = False
208         self.updatePVs()
209         return None
210
211
212     # monitor labbox RUNNING
213     def callback_labbox_running(self, pvname=None, value=
None, **kwds):
214         if pvname==None:
215             return None
216         pv_labbox = pvname[:-15]
217         if value: # connected
218             self.labbox_connect[pv_labbox] = True
219             for i in cht:
220                 if cht[i]['labbox_server']==pv_labbox:
221                     self.setParam(i+'.CONN',1)
222                     if (not cht[i]['readonly']) and self.
getParam('SERVER.RUNNING'):
223                         if (self.getParam('SERVER.INTERLOCK:
BREAK') and self.getParam(i+'.INTERLOCK:ON')) or self.
getParam(i+'.RAMP:ON'):
224                             cht[i]['writeflag'] = False
225                         else:
226                             cht[i]['writeflag'] = True
227                             thread.start_new_thread( \
228                                 self.caput_thread, \
229                                 (cht[i]['channel']+'.VAL', self.
getParam(i+'.VAL')*cht[i]['factor_down']) \
230                             )
231                             if cht[i]['writeflag']:
232                                 self.setParam(i+'.VAL', self.

```

```

getParam(i+'.SET'))
233     else: # not connected
234         self.labbox_connect[pv_labbox] = False
235         for i in cht:
236             if cht[i]['labbox_server']==pv_labbox:
237                 self.setParam(i+'.CONN',0)
238                 cht[i]['writeflag'] = False
239     self.updatePVs()
240     return None
241
242     # monitor VAL and trigger interlock if VAL is out of
range
243     # and change labbox-server-channel to VAL
244     def callback_VAL(self, pvname=None, value=None, **kwds):
245         if pvname==None:
246             return None
247         if self.getParam(cht_trans[pvname]+' .INTERLOCK:MON')
:
248             ch = cht_trans[pvname]+' .INTERLOCK'
249             if value > self.getParam(ch+':HIGH') or value <
self.getParam(ch+':LOW'):
250                 self.lock_thread_running.acquire()
251                 thread.start_new_thread(self.email_thread,(
pvname,value))
252                 self.reset_interlock()
253                 self.setParam('SERVER.INTERLOCK:BREAK',1)
254                 self.updatePVs()
255                 self.lock_thread_running.release()
256             else:
257                 pv = cht_trans[pvname]
258                 if self.labbox_connect[cht[pv]['
labbox_server']]:
259                     thread.start_new_thread(self.
caput_thread,(cht[pv]['channel']+'.VAL',value*cht[pv]['
factor_down']))
260                 else:
261                     pv = cht_trans[pvname]
262                     if self.labbox_connect[cht[pv]['labbox_server'
]]:
263                         thread.start_new_thread(self.caput_thread,(
cht[pv]['channel']+'.VAL',value*cht[pv]['factor_down']))
264                 return None
265
266     def email_thread(self, pv, value):

```

```

267         self.lock_thread_mail.acquire()
268         if (not self.free_mailing) or self.getParam('SERVER.
INTERLOCK:BREAK'):
269             self.lock_thread_mail.release()
270             return None
271         self.free_mailing = False
272         self.lock_thread_mail.release()
273
274         try:
275             zeit = time.ctime(time.time())
276             text = 'From: '+absender+'\n'
277             text += 'To: '+adressat+'\n'
278             text += 'Date: '+zeit+'\n'
279             text += 'Subject: '+betreff+'\n'
280             text += "Interlock\nPV: "+pv+", value: "+str(
value)
281             server = smtplib.SMTP(server_adresse)
282             server.sendmail(absender, adressat, text)
283             server.quit()
284         except:
285             try:
286                 print ""
287                 print "warning interlock: no mail can be
send"
288                 print "Interlock\nPV: "+pv+", value: "+str(
value)
289                 print ""
290                 fil = open('mailerror_device_server_08.txt',
'a')
291                 fil.write("Interlock\nPV: "+pv+", value: "+
str(value)+'\n')
292                 fil.close()
293             except:
294                 print ""
295                 print "warning interlock: neither mail can
be send or file can be written"
296                 print "Interlock\nPV: "+pv+", value: "+str(
value)
297                 print ""
298         self.free_mailing = True
299         return None
300
301     def __init__(self):
302         super(BasisDriver, self).__init__()

```

```

303     self.setParam( 'SERVER.INTERLOCK:BREAK', 0)
304     self.setParam( 'SERVER.RUNNING'           ,0)
305
306     self.server_time_running = True
307     thread.start_new_thread( self.server_time ,())
308
309     self.lock_thread_ramp      = thread.allocate_lock()
310     self.lock_thread_running   = thread.allocate_lock()
311     self.lock_thread_autoscale = thread.allocate_lock()
312
313     self.free_mailing = True
314     self.lock_thread_mail      = thread.allocate_lock()
315
316
317     self.labbox_pvs = {}
318     self.labbox_connect = {}
319     for i in labbox_server:
320         self.labbox_pvs[i] = PV(i+' :SERVER.RUNNING')
321         try:
322             lrun = caget(i+' :SERVER.RUNNING')
323             if lrun:
324                 self.labbox_connect[i] = True
325             else:
326                 self.labbox_connect[i] = False
327         except:
328             self.labbox_connect[i] = False
329
330     for i in cht:
331         for j in labbox_server:
332             if cht[i][ 'labbox_server' ]==j:
333                 if self.labbox_connect[j]:
334                     self.setParam(i+' .CONN', 1)
335                 else:
336                     self.setParam(i+' .CONN', 0)
337
338     for i in cht:
339         try:
340             val = caget( cht[i][ 'channel' ]+' .VAL', timeout
=60.0)*cht[i][ 'factor-up' ]
341         except:
342             val = 0.0
343         self.setParam(i+' .VAL', val)
344         if not cht[i][ 'readonly' ]:
345             #self.setParam( i+' .RAMP:ON', cht[i][ 'ramp_on

```

```

    ']) # already done
346         #self.setParam(i+'.RAMP:LIMIT',cht[i][ '
ramp_limit']) # already done
347         self.setParam(i+'.SET',val)
348         if cht[i][ 'ramp_on'] or (not self.getParam(i
+'.CONN'))):
349             cht[i][ 'writeflag'] = False
350         self.updatePVs()
351         return None
352
353     def post_constructor(self):
354         self.lock_thread_running.acquire()
355         self.start_running()
356         for i in labbox_server:
357             self.labbox_pvs[i].connection_callbacks.append(
self.conn_callback_labbox)
358             self.labbox_pvs[i].add_callback(self.
callback_labbox_running)
359             self.lock_thread_running.release()
360
361     def pre_destructor(self):
362         self.server_time_running = False
363         self.lock_thread_running.acquire()
364         self.stop_running()
365         for i in labbox_server:
366             self.labbox_pvs[i].disconnect()
367             self.lock_thread_running.release()
368
369     def server_time(self):
370         timestart = time.time()
371         self.setParam('SERVER.TIME',0.0)
372         self.updatePVs()
373         while self.server_time_running:
374             timenow = time.time()-timestart
375             self.setParam('SERVER.TIME',timenow)
376             self.updatePVs()
377             time.sleep(self.getParam('SERVER.TIME:TDELAY'))
378         return None
379
380     def start_ramp_thread(self):
381         self.lock_thread_ramp.acquire()
382         if self.getParam('SERVER.RAMP:CHANGE'):
383             self.lock_thread_ramp.release()
384         return False

```

```

385     self.setParam( 'SERVER.RAMP:CHANGE' ,1)
386     self.updatePVs()
387     self.lock_thread_ramp.release()
388
389     thread.start_new_thread( self.ramp_thread , ())
390     while not self.getParam( 'SERVER.RAMP:TRUN' ):
391         time.sleep(0.01)
392     self.setParam( 'SERVER.RAMP:CHANGE' ,0)
393     self.updatePVs()
394     return True
395
396 def stop_ramp_thread( self ):
397     self.lock_thread_ramp.acquire()
398     if self.getParam( 'SERVER.RAMP:CHANGE' ):
399         self.lock_thread_ramp.release()
400         return False
401     self.setParam( 'SERVER.RAMP:CHANGE' ,1)
402     self.updatePVs()
403     self.lock_thread_ramp.release()
404
405     self.setParam( 'SERVER.RAMP:ON' ,0)
406     self.updatePVs()
407     while self.getParam( 'SERVER.RAMP:TRUN' ):
408         time.sleep(0.001)
409     self.setParam( 'SERVER.RAMP:CHANGE' ,0)
410     self.updatePVs()
411     return True
412
413 def start_running( self ): # or restart
414     if self.getParam( 'SERVER.RUNNING' ):
415         self.stop_running()
416
417     self.setParam( 'SERVER.RUNNING' ,0)
418     self.updatePVs()
419     self.start_ramp_thread()
420
421     for i in cht:
422         try:
423             if cht[i][ 'readonly' ]:
424                 camonitor( cht[i][ 'channel' ]+ '.VAL' ,
callback=self.callback_input)
425                 camonitor( prefix+i+'.VAL' ,callback=self.
callback_VAL)
426             else:

```

```

427         if (not self.getParam(i+'.CONN')) or
self.getParam(i+'.RAMP:ON'):
428             cht[i]['writeflag'] = False
429         else:
430             cht[i]['writeflag'] = True
431
432         if cht[i]['writeflag']:
433             self.setParam(i+'.VAL',self.getParam
(i+'.SET'))
434
435             camonitor(prefix+i+'.VAL',callback=self.
callback_VAL)
436             camonitor(cht[i]['channel']+'.VAL',
callback=self.callback_output)
437         except:
438             if not cht[i]['readonly']:
439                 if cht[i]['writeflag']:
440                     self.setParam(i+'.VAL',self.getParam
(i+'.SET'))
441
442             self.setParam('SERVER.RUNNING',1)
443             self.setParam('SERVER.INTERLOCK:BREAK',0)
444
445             self.updatePVs()
446             return True
447
448     def stop_running(self): # stop server
449         if not self.getParam('SERVER.RUNNING'):
450             return False
451         self.stop_ramp_thread()
452
453         for i in cht:
454             try:
455                 if cht[i]['readonly']:
456                     camonitor_clear(cht[i]['channel']+'.VAL'
)
457                 else:
458                     cht[i]['writeflag'] = False
459                     camonitor_clear(cht[i]['channel']+'.VAL'
)
460                     camonitor_clear(prefix+i+'.VAL')
461                     caput(cht[i]['channel']+'.VAL',self.
getParam(i+'.VAL')*cht[i]['factor_down'])
462             except:

```



```

463             pass
464
465         self.setParam('SERVER.RUNNING',0)
466         self.updatePVs()
467         return True
468
469
470     def __del__(self):
471         super(BasisDriver, self).__del__()
472
473
474     def ramp_thread(self):
475         self.setParam('SERVER.RAMP:ON',1)
476         timefifo = [time.time()]
477         time.sleep(self.getParam('SERVER.RAMP:TDELAY'))
478         factor = 1.0
479         self.setParam('SERVER.RAMP:TRUN',1)
480         self.updatePVs()
481         while self.getParam('SERVER.RAMP:ON'):
482             for i in cht:
483                 if (not cht[i]['readonly']) and self.
484 getParam(i+'.RAMP:ON'):
485                     act_val = self.getParam(i+'.VAL')
486                     end_val = self.getParam(i+'.SET')
487
488                     if act_val<end_val: # ramp up
489                         act_val += self.getParam(i+'.RAMP:
490 LIMIT') * factor
491
492                     if act_val>end_val:
493                         act_val=end_val
494
495                     elif act_val>end_val: # ramp down
496                         act_val -= self.getParam(i+'.RAMP:
497 LIMIT') * factor
498
499                     if act_val<end_val:
500                         act_val=end_val
501
502                     if (not self.getParam('SERVER.RAMP:ON'))
503 or (not self.labbox_connect[cht[i]['labbox_server']]) or
504 (self.getParam(i+'.INTERLOCK:ON') and self.getParam('
505 SERVER.INTERLOCK:BREAK'))):
506                         pass
507                     else:
508                         self.setParam(i+'.VAL',act_val)
509                 self.updatePVs()

```

```

501         timefifo.append(time.time())
502         timefifo = timefifo[-50:]
503         factor = (timefifo[-1]-timefifo[0])/(len(
timefifo)-1)# + self.ramp_thread_delay - self.
ramp_thread_delay
504         time.sleep(self.getParam('SERVER.RAMP:TDELAY'))
505         self.setParam('SERVER.RAMP:TRUN',0)
506         self.updatePVs()
507         return None
508
509
510     # set Set-Values to zero
511     def shutdown(self):
512         # stop special programmed threads
513         # ...
514         for i in cht:
515             if cht[i]['readonly']:
516                 continue
517             self.write(i+'.SET',cht[i]['emergency_value'])
518             # writeflag for emergency_value not necessary
519         self.updatePVs()
520         return None
521
522
523     # reset everything except inputs
524     def reset(self):
525         # stop special programmed threads
526         # ...
527         for i in cht:
528             if cht[i]['readonly']:
529                 continue
530             self.setParam(i+'.RAMP:ON',cht[i]['ramp_on'])
531             if (not self.getParam(i+'.CONN')) or (self.
getParam('SERVER.INTERLOCK:BREAK') and self.getParam(i+'.
INTERLOCK:ON')) or cht[i]['ramp_on']:
532                 cht[i]['writeflag'] = False
533             else:
534                 cht[i]['writeflag'] = True
535             self.setParam(i+'.RAMP:LIMIT',cht[i]['ramp_limit
'])
536             if cht[i]['limit_low'] > 0.0:
537                 self.write(i+'.SET',cht[i]['limit_low'])
538             else:
539                 self.write(i+'.SET',0.0)

```

```

540         self.updatePVs()
541         return None
542
543
544     # reset everything to zero immediately
545     def reset_interlock(self):
546         # stop special programmed threads
547         # ...
548         for i in cht:
549             if not cht[i]['readonly']:
550                 if self.getParam(i+'.INTERLOCK:ON'):
551                     self.setParam(i+'.RAMP:ON',0)
552                     cht[i]['writeflag'] = False
553                     self.setParam(i+'.SET',self.getParam(i+'
554 .INTERLOCK:EMERGENCYVAL'))
555                     self.setParam(i+'.VAL',self.getParam(i+'
556 .INTERLOCK:EMERGENCYVAL'))
557                     if not self.getParam('SERVER.RUNNING'):
558                         try:
559                             if not cht[i]['readonly']:
560                                 caput(cht[i]['channel']+'.
561 VAL',self.getParam(i+'.INTERLOCK:EMERGENCYVAL')*cht[i]['
562 factor_down'])
563
564                                 except:
565                                     print "error in reset_interlock
566 ():",cht[i],"is not ready"
567
568                 self.updatePVs()
569                 return None
570
571
572     def read(self,pv):
573         return self.getParam(pv)
574
575
576     def write(self,pv,value):
577         if pv.endswith('.VAL'):
578             pv_red = pv[:-4]
579             if not cht[pv_red]['writeflag']:
580                 return False
581             else:
582                 if cht[pv_red]['limit_low'] <= value <= cht[
583 pv_red]['limit_high']:
584                     self.setParam(pv_red+'.SET',value)
585                     self.setParam(pv,value)
586                     self.updatePVs()

```

```

578             return True
579
580     elif pv.endswith( '.SET' ):
581         pv_red = pv[: -4]
582         if cht[pv_red][ 'limit_low' ] <= value <= cht[
pv_red ][ 'limit_high' ]:
583             self.setParam( pv, value )
584             if cht[pv_red][ 'writeflag' ]:
585                 self.setParam( pv_red+'.VAL', value )
586             self.updatePVs()
587             return True
588         else:
589             return False
590
591     elif pv == 'SERVER.SHUTDOWN':
592         if value==1:
593             thread.start_new_thread( self.shutdown, ( ) )
594             self.setParam( pv, 0 )
595         elif value==2:
596             thread.start_new_thread( self.reset, ( ) )
597             self.setParam( pv, 0 )
598         elif value==3:
599             thread.start_new_thread( self.email_thread, ( '
manueller interlock', 0 ) )
600             thread.start_new_thread( self.reset_interlock
, ( ) )
601             self.setParam( pv, 0 )
602         else:
603             self.setParam( pv, value )
604             self.updatePVs()
605             return True
606
607     elif pv == 'SERVER.INTERLOCK:BREAK':
608         self.lock_thread_running.acquire()
609         erg = True
610         if self.getParam( pv ):
611             if value: # reset
612                 thread.start_new_thread( self.
email_thread, ( 'manueller interlock', 0 ) )
613                 self.reset_interlock()
614             if not value:
615                 erg = False
616         else:
617             if value: # stop server

```

```

618         thread.start_new_thread( self .
email_thread ,( 'manueller interlock ',0))
619         self.reset_interlock()
620         self.setParam( 'SERVER.INTERLOCK:BREAK'
,1)
621         self.updatePVs()
622
623     self.lock_thread_running.release()
624     return erg
625
626
627     elif pv.endswith( '.INTERLOCK:LOW' ):
628         pv0 = pv[: -14] + '.VAL'
629         pvdb[pv0][ 'lolo ' ] = value
630         self.setParam(pv, value)
631         self.updatePVs()
632         return True
633
634     elif pv.endswith( '.INTERLOCK:HIGH' ):
635         pv0 = pv[: -15] + '.VAL'
636         pvdb[pv0][ 'hihi ' ] = value
637         self.setParam(pv, value)
638         self.updatePVs()
639         return True
640
641     elif pv == 'SERVER.RUNNING':
642         self.lock_thread_running.acquire()
643         if value: # if true: (re)start all threads
644             thread.start_new_thread( self.start_running ,
( ) )
645         else: # stop server
646             thread.start_new_thread( self.stop_running ,
( ) )
647         self.lock_thread_running.release()
648         return True
649
650     elif pv.endswith( '.RAMP:ON' ):
651         if value == self.getParam(pv):
652             return True
653         i = pv[: -8]
654         pv_set = prefix + i + '.SET'
655         if value: # on
656             cht[i][ 'writeflag' ] = False
657         elif self.getParam( 'SERVER.RUNNING' ): # off and

```

```

Server runs
658         if (not self.getParam(i+'.CONN')) or (self.
getParam( 'SERVER.INTERLOCK:BREAK') and self.getParam(i+'.
INTERLOCK:ON'))):
659             cht[i]['writeflag'] = False
660         else:
661             cht[i]['writeflag'] = True
662             if cht[i]['writeflag']:
663                 self.setParam(i+'.VAL', self.getParam(i+'
.SET'))))
664             self.setParam(pv, value)
665             self.updatePVs()
666             return True
667
668         elif pv.endswith( '.RAMP:LIMIT' ):
669             if value < 0.0:
670                 return False
671                 self.setParam(pv, value)
672                 self.updatePVs()
673                 return True
674
675         elif pv == 'SERVER.RAMP:ON':
676             if value: # on
677                 thread.start_new_thread( self.
start_ramp_thread, ( ) )
678             else: # off
679                 thread.start_new_thread( self.
stop_ramp_thread, ( ) )
680             return True
681
682         # read-only PVs
683         elif pv=='SERVER.RAMP:TRUN' or pv=='SERVER.RAMP:
CHANGE' or \
684             pv=='SERVER.TIME' or pv.endswith( '.CONN' ):
685             return False
686
687         # elif pv == special channels:
688         # ...
689
690         else:
691             try:
692                 self.setParam(pv, value)
693                 self.updatePVs()
694                 return True

```

```

695         except:
696             return False
697
698     return False
699
700     # for server-interpretter
701     def eval_command(self,command):
702         if command=='exit': # exit
703             return True
704
705         elif command=='help': # show commands
706             print ""
707             print "Commands:"
708             print "{0:<25}show commands and their
descriptions".format('help')
709             print "{0:<25}exit programm".format('exit')
710             print "{0:<25}stop server".format('stop')
711             print "{0:<25}restart server".format('restart')
712             print "{0:<25}set all SET-values to zero".format
('shutdown')
713             print "{0:<25}reset everything".format('reset')
714             print "{0:<25}make an interlock".format('
interlock')
715             print "{0:<25}make an interlockt".format('itl')
716             print "{0:<25}make an interlock".format('il')
717             print "{0:<25}read channel".format('get <channel
>')
718             print "{0:<25}put value (float!) to channel".
format('put <channel> <value>')
719             print "{0:<25}show status of server".format('
status')
720             print "{0:<25}show the channels".format('
showchannels')
721             print "{0:<25}is channel in server".format('is <
channel>')
722             print ""
723
724         elif command=='stop':
725             self.lock_thread_running.acquire()
726             self.stop_running()
727             self.lock_thread_running.release()
728
729         elif command=='restart':
730             self.lock_thread_running.acquire()

```

```

731         self.start_running()
732         self.lock_thread_running.release()
733
734     elif command=='shutdown':
735         thread.start_new_thread(self.shutdown,())
736
737     elif command=='reset':
738         thread.start_new_thread(self.reset,())
739
740     elif command=='interlock' or command=='itl' or
command=='il':
741         self.lock_thread_running.acquire()
742         thread.start_new_thread(self.email_thread,('
manueller interlock',0))
743         self.reset_interlock()
744         self.setParam('SERVER.INTERLOCK:BREAK',1)
745         self.updatePVs()
746         self.lock_thread_running.release()
747
748     elif command.startswith('get'):
749         channel = command[4:]
750         print ""
751         if channel in pvdb:
752             print channel, self.getParam(channel)
753         else:
754             print "Not there"
755         print ""
756
757     elif command.startswith('put'):
758         both = command[4:].split()
759         if len(both) != 2:
760             print ""
761             print "wrong command"
762             print ""
763         else:
764             self.write(both[0], float(both[1]))
765
766     elif command=='status':
767         print ""
768         if self.getParam('SERVER.RUNNING'):
769             print "RUNNING"
770         else:
771             if self.getParam('SERVER.INTERLOCK:BREAK'):
772                 print "OFF INTERLOCK"

```



```

773         else:
774             print "OFF"
775     print ""
776
777     elif command=='showchannels':
778         print ""
779         for i in cht:
780             print i
781         print ""
782
783     elif command.startswith('is'):
784         channel = command[3:]
785         print ""
786         if channel in pvdb:
787             print "Yes"
788         else:
789             print "No"
790         print ""
791
792     elif command == '':
793         pass
794     else:
795         print ""
796         print "unknown command:",command
797         print ""
798
799     return False
800
801 # main programm
802 if __name__=='__main__':
803     server = SimpleServer()
804     server.createPV(prefix ,pvdb)
805     driver = BasisDriver()
806     server.setDebugLevel(0)
807
808     server_thread = ServerThread(server)
809     server_thread.start()
810     time.sleep(3.0)
811     driver.post_constructor()
812     print prefix+"Server is running, type \'exit\' to kill
it ... \n"
813     while True:
814         cmd = raw_input(prefix+"Server> ")
815         stop = driver.eval_command(cmd)

```

```
816         if stop:
817             break
818     driver.pre_destructor()
819     time.sleep(3.0)
820     server_thread.stop()
821     print prefix+"Server has stopped\n"
```

B.5 Python-Basisskript Konfiguration für Deviceserver

```
1 # -*- coding: cp1252 -*-
2
3 # configure-file for device_server_08_basis.py
4 # for HDEBIT control system
5 # file: configure_device_server_basis.py
6 # written in Python 2.7
7
8 # configure according to the examples
9 # (without #)
10
11 # 12.04.2014
12 # Daniel Hollain (master student)
13
14 #####
15
16 # keeper
17 # example:
18 #keeper = 'Daniel (Tel. 490)'
19
20 keeper = ''
21
22 #####
23
24 # prefix (HDEBIT:DEVICE:)
25 # example:
26 # prefix = 'HDEBIT:EGUN:'
27
28 prefix = ''
29
30 #####
31
32 # mail data
33
34 # example:
35 #absender = 'hollain@mpi-hd.mpg.de'
36 #adressat = 'hollain@mpi-hd.mpg.de'
37 #betreff = 'alarm interlock deviceserver'
38 #server_adresse = 'mail.mpi-hd.mpg.de'
39
40 absender = ''
```

```

41 adressat = ''
42 betreff = ''
43 server_adresse = ''
44
45 #####
46
47 # labbox-server ('PCNAME' of labbox-server)
48 # list of used labbox-server
49 # example:
50 #labbox_server = [
51 #     'EBITCON4',
52 #     'EBITCON6',
53 # ]
54
55 labbox_server = [
56     ]
57
58 #####
59
60 # channel-Table
61 # example:
62 #cht = {
63 #     'DT1':{ 'channel ': 'EBITCON4:Dev1/ao1 ',
64 #           'labbox_server ': 'EBITCON4',
65 #           'factor_down ':10.0/3500.0,
66 #           'limit_low ':0.0,
67 #           'limit_high ':500.0,
68 #           'emergency_value ':0.0,
69 #           'readonly ':False,
70 #           'unit ': 'V',
71 #           },
72 #     'DT2':{ 'channel ': 'EBITCON4:Dev1/ao2 ',
73 #           'labbox_server ': 'EBITCON4',
74 #           'factor_down ':0.002,
75 #           'limit_low ':0.0,
76 #           'limit_high ':500.0,
77 #           'emergency_value ':0.0,
78 #           'readonly ':False,
79 #           'unit ': 'V',
80 #           },
81 #     'ANODE:CURRENT:IST ':{ 'channel ': 'EBITCON6:Dev1/ai2 ',
82 #           'labbox_server ': 'EBITCON6',
83 #           'factor_down ':10.0/2.5,
84 #           'limit_low ':0.0,

```

```

85 #         'limit_high ':2.5 ,
86 #         'readonly ':True ,
87 #         'unit ': 'mA' ,
88 #         'interlock_monitor ':1 ,
89 #         'interlock_low ':-0.45 ,
90 #         'interlock_high ':0.45 ,
91 #     },
92 #     'ANODE:VOLTAGE:IST ':{ 'channel ': 'EBITCON6:Dev1/ai3 ' ,
93 #         'labbox_server ': 'EBITCON6' ,
94 #         'factor_down ':10.0/12500.0 ,
95 #         'limit_low ':0.0 ,
96 #         'limit_high ':12500.0 ,
97 #         'readonly ':True ,
98 #         'unit ': 'V' ,
99 #     } ,
100 # }
101
102 cht = {
103     }
104
105 #####
106
107 # you are finish , now save this document
108 # and start device_server_08_<servername>.py with
    doubleclick

```

C Liste

C.1 Abbildungsverzeichnis

- 2.1 Radiative und dielektronische Rekombination - Diagramm. Die Elektronenstrahlenergie ist gegen die Photonenenergie aufgetragen. Die Anzahl der Ereignisse ist farbig entsprechend der rechten Skala markiert. Die steigenden Geraden entsprechen den radiativen Rekombinationsbändern und enthalten jeweils 4 einzelne radiativen Rekombinationslinien mit gleichen Drehimpuls J . Die Punkte, in denen auffällig viele Ereignisse zu sehen sind entsprechen dielektronischen Resonanzen. Sie sind in 3 Bereiche ($KL_{1/2}L_{1/2}$, $KL_{1/2}L_3$, KL_3L_3) nach der Nomenklatur von [D. A. Knapp, P. Beiersdorfer, M. H. Chen, J. H. Scofield, and D. Schneider, 1995] eingeteilt. Bei den letzten beiden Bereichen hat das angeregte Elektron zwei verschiedene Abregungswege (aus $L_{3/2}$ und $L_{1/2}$ Schale), daher sind zwei Reihen horizontaler Resonanzen übereinander. Dabei steht L für die Schale (Hauptquantenzahl=2) und der Indize (1/2 oder 3/2) für den Drehimpuls J . Unterhalb einiger starker Resonanzen sind Falllinien (Droplines) zu sehen, was auf Zwei-Photonen-Prozesse zurückzuführen ist. Die unteren Skizzen zeigen die Rekombinations- und Abregungswege der obigen Bereiche mit gleicher Reihenfolge, dabei sind unskaliert die Energieniveaus des Ions zu sehen. Von oben rekombiniert ein freies Elektron in eine L-Schale und regt ein gebundenes Elektron aus der K-Schale an. Der Zustand zerfällt nach kurzer Zeit (lange bevor ein weiteres freies Elektron eintrifft [Crespo14]) und setzt ein Photon frei, dessen Energie der Differenz der Niveaus entspricht 7

3.1	Funktionsprinzip der Elektronenstrahl Ionenfalle [Martínez, 2005]. Die Kathode sendet ein Elektronenstrahl aus, der die Falle durchquert und im Kollektor eintrifft. Im Fallenbereich wird er durch ein Magnetfeld, erzeugt von einem (hier supraleitenden) Helmholtz Spulenpaar, komprimiert, um möglichst hohe Stromdichten zu erreichen. Die negative Raumladung hält die positive geladenen Ionen in axialer Richtung fest. In longitudinaler Richtung werden sie durch Driftröhren festgehalten, auf denen elektrische Spannung gelegt wird und Potentialverlauf derart beeinflussen, dass ein Potentialtopf entsteht. Die Ionen stammen von neutralen Atomen, die in die Falle initiiert und sequentiell durch Stoßprozesse mit den energiereichen Elektronen des Strahls ionisiert werden.	9
3.2	Axialer Potentialverlauf der Heidelberg-EBIT. Die obige Skizze zeigt die wichtigsten Konpotenten für den Elektronenstrahl. Sie erzeugen durch anlegen einer Spannung Potential, das sich mit der axialen Position ändert (unteres Diagtamm zeit Potentialverlauf rot). Suppressor- und Kollektorelektrode haben kein eigenes Netzteil. Die obige gestrichelte Linie zeigt das Potential der Elektronenkanonenplattform, die untere die der Driftröhren. Driftröhre 9 (DT9) entspricht der Driftröhre im Fallenbereich. Mit Hilfe der nebenstehenden Driftröhren (DT1-4 und DT5-8) kann ein Potentialtopf geformt werden, der die Ionen in axialer Richtung fängt. Der Extraktor hat ein etwas niedrigeres Potentialverlauf als die Kathode, somit lässt er keine Elektronen durch, Sie werden von der davorstehende Kollektorelektrode eingesammelt.	11
3.3	Schematischer Aufbau der Heidelberg-EBIT [Martínez, 2005]. Links befindet sich die Elektronenkanone, in der Mitte die Driftröhren (Fallenzentrum) und rechts der Kollektor.	13
3.4	Die Heidelberg-EBIT. Rechts ist der Faradaysche Käfig der Elektronenkanone zu sehen. Die gelb farbigen Bleiplatten umhüllen das Fallenzentrum der EBIT. Der beige Tank in der Mitte enthält flüssigen Stickstoff, der den Röntgendetektor, der zur Falle hin herausragt, kühlt.	14
3.5	Extraktionssystem der Heidelberg-EBIT. Die extrahierten Ionen schießen vom unteren Bildrand zum oberen und werden durch den Ablenk magneten (grünfarbig, nach links gebogen) abgelenkt und aufgefächert.	15
3.6	Schematischer Aufbau der Elektronenkanone [Martínez, 2005]. Die Kathode wird auf Temperatur gebracht, sodass thermische Elektronen austreten. Zwischen Kathode und Anode legt eine Spannung an die die Elektronen zur Anode beschleunigt. Mit der Fokuselektrode zwischen Anode und Kathode lässt sich durch anlegen bestimmter Spannungen der austretende Strom regulieren.	17

3.7	Rack der Elektronenkanone. Links sind Netzteile für Elektroden wie Anode, Extraktor, Kathode und um linken unteren Kasten das Netzteil für das Heizelement, das auf Kathodenspannung anliegt. Rechts ist die Halterung der Elektronenkanone.	18
3.8	schematisches Fallenpotential für Driftröhren; Das Elektron kann sich in der Mitte frei bewegen (Potentialtopf in axialer Richtung). Die Ionenwolke ist braun dargestellt.	18
3.9	Schematischer Aufbau der Driftröhren [Martínez, 2005]. Der Elektronenstrahl geht in Driftröhre 1 rein und kommt bei Driftröhre 8 raus. Driftröhre 9 ist die Fallenelektrode.	19
3.10	Schematischer Aufbau des Kollektors [Martínez, 2005]. Der Elektronenstrahl kommt von links. Auf dem Extraktor liegt eine Spannung, die eine axiale Potentialbarriere erzeugt, sodass die Elektronen nicht durchgelangen, abgebremst und von der Kollektorelektrode eingesammelt werden. In dieser Arbeit liegen an Suppressor- und Kollektorelektrode keine Spannung an, sondern sind über einen Messwiderstand, mit dem ihre Strom gemessen werden, mit der Elektronenkanonenplattform verbunden.	20
3.11	Röntgendetektor GLP Serie von <i>ORTEC</i> . Er ist direkt vor dem Berylliumfenster der HD-EBIT positioniert und mit Blei und Messing ummantelt. Der Tank enthält flüssigen Stickstoff, der den Detektor kühlt.	21
3.12	Abschirmungen des Röntgendetektors. Die Rohre bestehen aus Blei und Messing und werden beide über den Detektor gestülpt.	22
3.13	Berylliumfenster der HD-EBIT. Eine dünne Berylliumfolie trennt das Vakuum der Falle von der Atmosphäre, lässt aber Röntgenphotonen zu Beobachtungszwecke durch.	22
3.14	Kalibrationsquelle des Röntgendetektors, der rote Pfeil zeigt darauf. Material: Am ²⁴¹ , Aktivität: 3.7 kBq am 6.2.64, physikalische Halbwärtszeit: 432 Jahre, Aktivität Juli'14 ca. 3.4 kBq	23
4.1	Verschiedene Serverebenen mit Beispielen	27
4.2	vereinfachte Darstellung vom Labboxserver	31
4.3	vereinfachte Darstellung vom Deviceserver	32
4.4	Screenshot Graphischer Benutzeroberflächen für Historie diverser Ströme für etwa 20 min (links) und Elektronenkanonensteuerung (rechts) . . .	33
5.1	Schematische Darstellung der Datenaufnahme	34
5.2	Doppelfit zweier naheliegender Peaks aus Photonenenergie-Kalibrationsmessung D1,D2,D3 (alle aufaddiert). Die Fitergebnisse sind rechts oben zu sehen: Chiqs/NDF ist das Chi-Quadrat / Anzahl der Freiheitsgrade, Constant(i) die totale Peakfläche, mu(i) der Peakschwerpunkt, Sigma(i) die Standartabweichung , Background der konstante Hintergrund und (i) die Peaknummer (1 für linken, 2 für rechten Peak) . . .	38

5.3	Bekanntes Spektrum von Am241	39
5.4	aufgenommenen Am-Spektrum von Y-Kalibration D1-D3 (blau) mit Gaußfits (rot), Energie hat logarithmische Skala	40
5.5	Y-Kalibration von D1-D3, Kanäle gegen Energie aufgetragen, links: Wertepaare (schwarz) mit Fitfunktion (rot), rechts: Residuen (schwarz) mit 68% Vertrauensband (rot)	41
5.6	X-Kalibration Spektren von Nr. 7 vom Datenaufnahmesystem (links) und vom Loggingprogramm (rechts), rote Linie: Gaußfitfunktion, blau: Rohdaten, roter Pfeil: gefundener Peak (vom Auswertungsprogramm)	43
5.7	X-Kalibration von C7, Kanäle gegen Energie (noch nicht Raumladungskorrigiert, entspricht somit Beschleunigungsspannung) aufgetragen, links: Wertepaare (schwarz) mit Fitfunktion (rot), rechts: Residuen (schwarz) mit 68% Vertrauensband (rot)	44
5.8	Messung Nr. 9 für DR Vermessung bei einem Elektronenstrahlstrom von 230 mA. Die Peaks für die Raumladungsermittlung sind rot eingerahmt.	45
5.9	Peakschwerpunkte bei verschiedenen Strömen. Einige Messpunkte liegen nahe beieinander. Die Geraden sind lineare Fits dazu. Blau: Peak Nr. 32, Grün: Peak Nr. 28, Rot: Peak Nr. 23. Steigung und Achsenabschnitt mitteln sich zu $3.734(24) \times 10^{-4}$ keV/mA bzw. 47.4320(4) keV.	46
5.10	Differenz der Elektronenstrahlkalibrierung: unkorrigiert zu raumladungskorrigiert in Abhängigkeit der Elektronenstrahlenergie.	46
5.11	Absorbtionskurven für Wolfram und Tantal [NIST] in doppellogarithmischer Darstellung. Dabei ist die Photonenenergie gegen den Absorbtionskoeffizienten/Dichte aufgetragen. Die Absorptionskanten sind mit roten Pfeilen markiert.	48
5.12	Vermessung einzelner RR Linien: oberes Diagramm: Photonenenergie-Elektronenstrahlenergie-Diagramm. Zu sehen sind RR Linien als steigende Geraden. Die Absorptionskante (horizontale Linie) schwächt abrupt die Linien ab. Der vom Diagramm gezeigten Teil ausgeschnitten und auf die Elektronenstrahlenergieachse projiziert (unteres Diagramm). Abstufungen sind erkennbar und ein entsprechender Fit wird vollzogen.	49
5.13	Radiative Rekombination vom J=1/2 - Band, abgeblendet durch eine Wolframfolie (Messungen von Nr. 6 und 7 aufaddiert). Im oberen Diagramm ist Elektronenstrahlenergie gegen Photonenenergie gebinnt (mit Faktor 8) aufgetragen und ein Ausschnittsrahmen (rot) zu sehen. Im unteren Diagramm ist die Projektion der Ereignisse (ungebinnt) im Rahmen auf die Elektronenstrahlenergie zu sehen (blau) mit Fitfunktion (rot).Der Fit wurde an den ungebinnten Daten vollzogen.	51

5.14	Radiative Rekombination vom $J=3/2$ - Band, abgeblendet durch eine Tantalfolie (Messung Nr. 8). Im oberen Diagramm ist Elektronenstrahlenergie gegen Photonenenergie gebinnt (mit Faktor 8) aufgetragen und ein Ausschnittsrahmen (rot) zu sehen. Im unteren Diagramm ist die Projektion der Ereignisse (ungebinnt) im Rahmen auf die Elektronenstrahlenergie zu sehen (blau) mit Fitfunktion (rot). Der Fit wurde an den ungebinnten Daten vollzogen.	52
5.15	Radiative Rekombination vom $J=3/2$ - Band, abgeblendet durch eine Tantalfolie (Messungen von Nr. 12 und 13 aufaddiert). Im oberen Diagramm ist Elektronenstrahlenergie gegen Photonenenergie gebinnt (mit Faktor 8) aufgetragen und ein Ausschnittsrahmen (rot) zu sehen. Im unteren Diagramm ist die Projektion der Ereignisse (ungebinnt) im Rahmen auf die Elektronenstrahlenergie zu sehen (blau) mit Fitfunktion (rot). Der Fit wurde an den ungebinnten Daten vollzogen.	53
5.16	Oberes Diagramm: Vergleich Fano-Gauß-Faltungs-Fit (rot) von DR-Resonanz Nr. 14, projiziert auf die Elektronenstrahlachse, mit dazugehörigen Residuen (unteres Diagramm) zu Gaußfit (grün) mit Fit-ergebnissen (rechts oben) zum Fano-Gauß-Faltungs-Fit: χ^2/NDF ist das Chi-Quadrat / Anzahl der Freiheitsgrade, $A1$ die totale Peakfläche, $\mu1$ der Peakschwerpunkt, $FWHM(\text{exp,nat})1$ die volle Halbwärtsbreite (exp: Apparatebreite, nat: natürliche Linienbreite), background der konstante Hintergrund und fano1 der Fano-Parameter.	55
5.17	Absorptionskurve für Aluminium [NIST] in doppellogarithmischer Darstellung. Dabei ist die Photonenenergie gegen den Absorptionskoeffizienten/Dichte aufgetragen.	56
5.18	Kalibriertes Histogramm, Elektronenstrahlenergie ist gegen Photonenenergie gebinnt (Faktor 8) aufgetragen, mit ROIs (rot umrahmt) von DR-Messung Nr. 9	57
5.19	Projektionen (gebinnt, Faktor 8) der ROIs von DR-Messung Nr. 9 auf die Elektronenstrahlachse. Einige Peaks sind mit entsprechenden Ladungszuständen markiert (Element-artig).	58
5.20	DR Nummerierung der Resonanzen für $KL_{1/2}L_{1/2}$ Bereich von Messung Nr. 9 (gebinnt, Faktor 8) mit ROI Rahmen (rot)	59
5.21	DR Nummerierung der Resonanzen für $KL_{1/2}L_3$ Bereich von Messung Nr. 9 (gebinnt, Faktor 8) mit ROI Rahmen (rot)	59
5.22	DR Nummerierung der Resonanzen für KL_3L_3 Bereich von Messung Nr. 9 (gebinnt, Faktor 8) mit ROI Rahmen (rot)	60

5.23	ROI, Projektionen und Fit einer DR Resonanz, ungebinnt (links) und gebinnt (Faktor 8, rechts) von Resonanz Nr. 14 aus Messung Nr. 9. In den obigen Diagrammen ist Elektronenstrahlenergie gegen Photonenenergie mit den Ausschnittsgrenzen (roter Rahmen) aufgetragen, in den mittleren die Projektion der kompletten Ausschnitte gegen die Photonenenergie (blau) mit Gaußfit (rot) und in den unteren die Projektion der rot umrahmten Ausschnitts gegen die Elektronenstrahlenergie mit Fitfunktion (Faltung aus Fano- und Gaußprofil plus Konstante). Der Fit wurde immer am ungebinnten Diagramm vollzogen, wo auch die Fitergebnisse zu sehen sind (rechtes oberes Kästchen). Chiqs/NDF ist das Chi-Quadrat / Anzahl der Freiheitsgrade, A1 die totale Peakfläche, mu1 der Peakschwerpunkt, FWHM(exp,nat)1 die volle Halbwärtsbreite (exp: Apparatebreite, nat: natürliche Linienbreite), background der konstante Hintergrund und fano1 der Fano-Parameter.	61
5.24	Differenz der experimentellen zu den theoretischen Resonanzen der Elektronenstrahlenergie mit Fehlerbalken. Die zugeordneten Resonanzen sind farbig entsprechend den Ladungszuständen (rot, grün, blau, gelb, rosa, hellblau, dunkelgrün entsprechen He-, Li-, Be, B-, C-, N-, O-artigen Resonanzen, schwarz: keine Zuordnung) markiert. Zu sehen ist dass alle theoretischen Werte kleiner als erwartet sind.	62

C.2 Tabellenverzeichnis

2.1	Diverse Stoßprozesse [H. F. Beyer, H.-J. Kluge, V. P. Shevelko, 1997] (X: Atomkern, q: Ladung, e: freies Elektron, γ : Photon)	5
3.1	Verwendete Geräte der Elektronenkanone	16
3.2	Verwendete Geräte der Driftröhren	19
3.3	Verwendete Geräte für Detektor	21
4.1	Einige Attribute	26
4.2	Karten und Laborboxen	26
4.3	Servereigene Attribute	29
4.4	Server diverser Ebenen	30
4.5	Client-Skripte	30
4.6	Graphische Benutzeroberflächen, Dateiname (1. Spalte) mit Beschreibung (2. Spalte)	32

5.1	Parameter der Messungen. Nr: allgemeine Mess-Nummer, Beginn/Ende: Datum und Uhrzeit vom Start/Stop der Messung, t: Gesamtmesszeit, N: Anzahl der Einzelmessungen, die aufaddiert werden, Messziel: DR: für DR Messung, Kante: für RR Messungen, Strom: für Raumladungsmessung (Verschiebung des Peakschwerpunktes gegen den Strom), Abbruch: Art des Abbruches der Messung: Programmabbruch: Messprogramm hat selbst abgebrochen (Absturz), Manuell: Abbruch durch Laborant, Interlock: Interlock wurde ausgelöst, nachfolgende Messungen bleiben unbeachtet, bis Problem behoben wurde, Folie: Folie vor dem Detektor: Aluminium, Wolfram oder Tantal, X-Kali: Nummer der Kalibration für Beschleunigungsspannung, Y.Kali: Nummer der Kalibration für Phtotonenenergie	36
5.2	EGUN Parameter der Messungen. Nr: allgemeine Mess-Nummer, Icoll: Kollektorstrom, ($U_{eb,ee}$: minimale/maximale Spannung der Elektronenkanonenplattform, U_c : Kathodenspannung, U_a : Anodenspannung, (U_{ex} : Extraktorspannung (der Elektronenkanone), SMIN/SMAX: minimale/maximale Beschleunigungsspannung für Datenaufnahmesystem	37
5.3	Parameter der Kantenmessungen. Nr.: Nummer die Kantenmessung (1-3), Icoll: Elektornenstrahlstrom, Bez.: Bezeichnung der Absorptionskante in [R. D. Deslattes et al., 2003], K: Absorptionskante Wert mit Fehler in runde Klammer, Nrs: aufaddierte Messungen (entspricht einer Kantenmessung)	50
5.4	Parameter Photonenenergie-Kalibration. Nr.: Nummer der Photonenenergie-Kalibration, Beginn/Ende: Datum und Uhrzeit vom Start/Stop der Messung, t: Messzeit	57
5.5	Photonenenergie-Kalibration Funktionen. Nr.: Nummer der Photonenenergie-Kalibration, Funktion: Formel für die Umrechnung von der Kanalnummer zum Energiewert.	60
5.6	Parameter Beschleunigungsspannung-Kalibration. Nr.: Nummer der Beschleunigungsspannung-Kalibration, Beginn/Ende: Datum und Uhrzeit vom Start/Stop der Messung,t: Messzeit, $U_{eb,ee}$: minimale/maximale Spannung der Elektronenkanonenplattform, δU : Abstände der Kalibrationsspannungen, U_c : Kathodenspannung, SMIN/SMAX: minimale/Maximale Beschleunigungsspannung für Datenaufnahmesystem	63
5.7	Elektronenstrahl-Kalibration Funktionen (ohne Raumladungskorrektur). Nr.: Nummer der Elektronenstrahl-Kalibration, Funktion: Formel für die Umrechnung von der Kanalnummer zum Energiewert. Energiewert entspricht Beschleunigungsspannung mal Elementarladung.	64

- 5.8 Ionisationspotentiale der Kantenmessungen. Nr.: Nummer der Kantenmessung: 1: mit Wolframfolie, 2 und 3 mit Tantalfolie, ChSt: Ladungszustand des Ions vor der Rekombination: Element-artig, Ip: Ionisationspotential: 3. Spalte: von dieser Arbeit mit runde Klammern: (statistischer) oder (systematischer)(statistischer) Fehler, die systematische Verschiebung gegenüber den theoretischen He-artigen Resonanzen wurde dabei nicht mit einbezogen, 4. Spalte: Werte von [NIST], Fehler in Runden Klammern, 5. Spalte: Werte von [Scofield03] 64
- 5.9 Anregungsenergie der DRs vom $KL_{1/2}L_{1/2}$ Bereich. Peak-Nr.: Bezeichnungsnummer der Resonanz in dieser Arbeit, 2. Spalte: theo: theoretische Elektronenstrahlenergie, exp: gemessene Elektronenstrahlenergie, 3. Spalte:ChSt J P: Ladungszustand (Element-artig) mit Drehimpuls J und Parität P, μ : Peakschwerpunkt, Γ : natürliche Halbwärtsbreite, Q: Fanoparameter, Fehler in runden Klammern: (systematischer)(statistischer) oder nur (statistischer) 65
- 5.10 Photonenenergie der DRs vom $KL_{1/2}L_{1/2}$ Bereich. Peak-Nr.: Bezeichnungsnummer der Resonanz in dieser Arbeit, μ : gemessener Peakschwerpunkt, FWHM: gemessene volle Halbwärtsbreite, Fehler in runden Klammern: (systematischer)(statistischer) oder nur (statistischer) . . 65
- 5.11 Anregungsenergie der DRs vom $KL_{1/2}L_3$ Bereich. Peak-Nr.: Bezeichnungsnummer der Resonanz in dieser Arbeit, 2. Spalte: theo: theoretische Elektronenstrahlenergie, exp: gemessene Elektronenstrahlenergie, 3. Spalte:ChSt J P: Ladungszustand (Element-artig) mit Drehimpuls J und Parität P, μ : Peakschwerpunkt, Γ : natürliche Halbwärtsbreite, Q: Fanoparameter, Fehler in runden Klammern: (systematischer)(statistischer) oder nur (statistischer) 66
- 5.12 Photonenenergie der DRs vom $KL_{1/2}L_3$ Bereich. Peak-Nr.: Bezeichnungsnummer der Resonanz in dieser Arbeit, μ : gemessener Peakschwerpunkt, FWHM: gemessene volle Halbwärtsbreite, Fehler in runden Klammern: (systematischer)(statistischer) 67
- 5.13 Anregungsenergie der DRs vom KL_3L_3 Bereich. Peak-Nr.: Bezeichnungsnummer der Resonanz in dieser Arbeit, 2. Spalte: theo: theoretische Elektronenstrahlenergie, exp: gemessene Elektronenstrahlenergie, 3. Spalte:ChSt J P: Ladungszustand (Element-artig) mit Drehimpuls J und Parität P, μ : Peakschwerpunkt, Γ : natürliche Halbwärtsbreite, Q: Fanoparameter, Fehler in runden Klammern: (systematischer)(statistischer) oder nur (statistischer) 68
- 5.14 Photonenenergie der DRs vom KL_3L_3 Bereich. Peak-Nr.: Bezeichnungsnummer der Resonanz in dieser Arbeit, μ : gemessener Peakschwerpunkt, FWHM: gemessene volle Halbwärtsbreite, Fehler in runden Klammern: (systematischer)(statistischer) 69

5.15	Anregungsenergie der DRs vom KL_3L_3 Bereich. Peak-Nr.: Bezeichnungsnummer der Resonanz in dieser Arbeit, 2. Spalte: theo: theoretische Elektronenstrahlenergie, exp: gemessene Elektronenstrahlenergie, 3. Spalte: ChSt J P: Ladungszustand (Element-artig) mit Drehimpuls J und Parität P, μ : Peakschwerpunkt, Γ : natürliche Halbwärtsbreite, Fehler in runden Klammern: (systematischer)(statistischer) oder nur (statistischer)	69
5.16	Photonenenergie der DRs vom KL_3L_3 Bereich. Peak-Nr.: Bezeichnungsnummer der Resonanz in dieser Arbeit, μ : gemessener Peakschwerpunkt, FWHM: gemessene volle Halbwärtsbreite, Fehler in runden Klammern: (systematischer)(statistischer)	70
A.1	Sonstige verwendete Geräte der HD-EBIT	73
A.2	Kalibrationslinien der Am241-Quelle (siehe z.B. [Nuc14])	73
A.3	Abschlussarbeiten mittels der HD-EBIT bis 2007	74
A.4	Abschlussarbeiten mittels der HD-EBIT von 2008 bis 2014	75

D Literaturverzeichnis

S. Bernitt. Optimierung der Ladungszustandsverteilung in einer EBIT durch resonante Photorekombination. Master's thesis, Ruprecht-Karls-Universität Heidelberg, Deutschland, 2009.

Crespo14. persönliches Gespräch mit J.R. Crespo López-Urrutia, 2014.

D. A. Knapp, P. Beiersdorfer, M. H. Chen, J. H. Scofield, and D. Schneider. Observation of Interference between Dielectronic Recombination and Radiative Recombination in Highly Charged Uranium Ions. *PHYSICAL REVIEW LETTERS*, *74*, *54*, 1995.

EPICS. URL <http://www.aps.anl.gov/epics/>.

EPICSRecord. URL https://wiki-ext.aps.anl.gov/epics/index.php/RRM_3-14.

H. F. Beyer, H.-J. Kluge, V. P. Shevelko. *X-Ray Radiation of Highly Charged Ions*. Springer-Verlag Berlin Heidelberg, 1997.

D. Hollain. Reproduzierbarkeitsstudie zur Bestimmung der Wellenlänge der $2S_{1/2}$ $2P_{1/2}$, $3/2$ Übergänge des Li-artigen Eisenions, 2012.

I. V. Hertel, C.-P. Schulz. *Atome, Moleküle und optische Physik 1*. Springer-Verlag Berlin Heidelberg, 2008.

A. J. González Martínez. *Quantum interference in the dielectronic recombination of heavy highly charged ions*. PhD thesis, Ruperto-Carola University of Heidelberg, Germany, 2005.

V. Mäckel. Spektroskopische Untersuchung dielektronischer Resonanzen von hochgeladenen Ionen. Master's thesis, Ruprecht-Karls-Universität Heidelberg, Deutschland, 2006.

NI. URL <http://germany.ni.com/>.

NIST. URL <http://www.nist.gov/>.

Nuc14, 2014. URL <http://nucleardata.nuclear.lu.se/>.

PCASPy. URL <https://code.google.com/p/pcaspy/>.

PyEPICS. URL <http://cars9.uchicago.edu/software/python/pyepics3/>.

PyVISA. URL <http://pyvisa.readthedocs.org/en/1.5-docs/>.

R. D. Deslattes et al. X-ray transition energies: new approach to a comprehensive evaluation. *Reviews of modern physics*, Vol. 75, januray 2003.

ROOT. URL <http://root.cern.ch/drupal/>.

Scofield03. J. H. Scofield, private Kommunikation, 2003.

Erklärung:

Ich versichere, dass ich diese Arbeit selbstständig verfasst und keine anderen als die angegebenen Quellen und Hilfsmittel benutzt habe.

Heidelberg, den 25.09.2014

.....